



การควบคุมความเร็วของเครื่องกระแสตรงและแรงดันเครื่องгенเนอเรเตอร์กระแสสลับด้วย  
เครื่องควบคุมแบบฟูซซี่ สำหรับชุดมอเตอร์-เจนเนอเรเตอร์

A Control of DC Motor Speed and AC Generator Voltage using  
Fuzzy Logic for a Motor-Generator Set

วชิรพงศ์ ราชพงษ์

Watcharapong Ratchapong

Order Key JA481  
BIB Key 168.563

เลขที่ TK2681 262 2542 ๙.๒  
เลขที่บันยัน  
๕.๗.๒๕๔๒

วิทยานิพนธ์วิศวกรรมศาสตรมหาบัณฑิต สาขาวิชาจุลทรรศน์  
มหาวิทยาลัยสงขลานครินทร์

Master of Engineering Thesis in Electrical Engineering

Prince of Songkla University

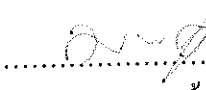
2542

ชื่อวิทยานิพนธ์ การควบคุมความเร็วของเครื่องกระแสตรงและแรงดันเครื่องเงินเนอเรเตอร์  
 กระเสถลับด้วยเครื่องควบคุมแบบฟื้ซซี่ สำหรับชุดมอเตอร์เงินเนอเรเตอร์  
 ผู้เขียน นาย วัชรพงศ์ ราชพงศ์  
 สาขาวิชา วิศวกรรมไฟฟ้า

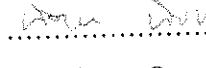
คณะกรรมการที่ปรึกษา

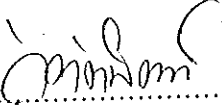
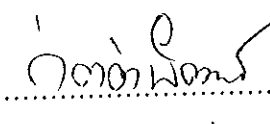
คณะกรรมการสอบ

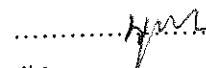
 ประธานกรรมการ  
(อาจารย์มนัส เกื้อกูลกิจการ)

 ประธานกรรมการ  
(อาจารย์มนัส เกื้อกูลกิจการ)

 กรรมการ  
(ดร.นิตยา นินทรกิจ)

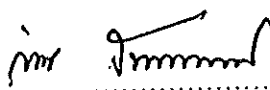
 กรรมการ  
(ดร.นิตยา นินทรกิจ)

 กรรมการ  
(ผู้ช่วยศาสตราจารย์ ดร.กิตติพัฒน์ ตันตะรุ่งโรจน์)  
 กรรมการ  
(ผู้ช่วยศาสตราจารย์ ดร.กิตติพัฒน์ ตันตะรุ่งโรจน์)

 กรรมการ  
(ผู้ช่วยศาสตราจารย์ นิยมเจริญ วงศ์กิตติศักดิ์)

 กรรมการ  
(อาจารย์ ไนยม นวนิล)

บัณฑิตวิทยาลัย มหาวิทยาลัยสงขลานครินทร์ อนุมัติให้นับวิทยานิพนธ์กับบันนี้เป็นส่วนหนึ่งของ  
การศึกษา ตามหลักสูตรวิศวกรรมศาสตรมหาบัณฑิต สาขาวิชาวิศวกรรมไฟฟ้า

  
(รองศาสตราจารย์ ดร.ก้าน จันทร์พรหมมา)  
คณบดีบัณฑิตวิทยาลัย

ชื่อวิทยานิพนธ์	การควบคุมความเร็วนอเตอร์กระແສຕຽງและแรงค์เครื่อง Jenenne เอเตอร์กระແສตั้นค์วายเครื่องควบคุมแบบพีซี สำหรับชุดมอเตอร์ Jenenne เอเตอร์
ผู้เขียน	นาย วัชรพงศ์ ราชพงษ์
สาขาวิชา	วิศวกรรมไฟฟ้า
ปีการศึกษา	2542

### บทคัดย่อ

วิทยานิพนธ์ฉบับนี้เป็นการนำเสนอการควบคุมการผลิตพลังงานไฟฟ้าโดยวิธีการควบคุมแบบพีซีที่ถูกจัดระบบควบคุมทั้งหมดเป็นซอฟต์แวร์ที่ทำงานบนเครื่องคอมพิวเตอร์พีซี ซึ่งจะควบคุมมอเตอร์กระແສຕຽงขนาด 4.1 กิโลวัตต์ และเครื่อง Jenenne เอเตอร์กระແສตั้นค์ขนาด 4 กิโลโวัตต์แอมป์เบร์ โดยจะควบคุมมอเตอร์กระແສຕຽงที่ใช้ในการขับเครื่อง Jenenne เอเตอร์กระແສตั้นค์ให้ได้ความเร็วซึ่งโกรนต์เท่ากัน 1,500 รอบ/นาที เพื่อให้ไฟฟ้าที่ผลิตได้มีความถี่เท่ากัน 50 เฮิรตซ์ ในขณะเดียวกันก็ต้องควบคุมขนาดกระແສตุนของเครื่อง Jenenne เอเตอร์กระແສตั้นค์เพื่อให้ได้แรงดันไฟฟ้าที่ผลิตออกมามีขนาด 220 โวลต์ จากผลการทดลองแสดงให้เห็นว่าระบบนี้สามารถควบคุมเครื่องจักรกลไฟฟ้าชุดนี้ให้มีเสถียรภาพการทำงานตามที่ต้องการ เช่น เมื่อยื่นในสภาวะไร้ภาระทางไฟฟ้าแล้วทำการเพิ่มกระแสสูงสุดในทันที พบว่าระบบใช้เวลาในการเข้าสู่ค่าความถี่และแรงดันอ้างอิงประมาณ 3 วินาที และเมื่อยื่นในสภาวะที่มีกระแสสูงสุดแล้วทำการปิดภาระทั้งหมดในทันที พบว่าระบบใช้เวลาในการเข้าสู่ค่าความถี่และแรงดันอ้างอิงประมาณ 3 วินาที เช่นกัน ค่าความผิดพลาดของความถี่และแรงดันของไฟฟ้าที่ผลิตได้อยู่ในช่วง  $\pm 0.5$  เฮิรตซ์ และ  $\pm 2.0$  โวลต์ ตามลำดับ ซึ่งลักษณะของซอฟต์แวร์ระบบควบคุมดังกล่าวมีความสามารถทำงานได้หลายอย่างในเวลาเดียวกัน นอกเหนือนี้ยังสามารถเปลี่ยนแปลงค่าพารามิเตอร์ต่างๆ ได้ เช่น โยงกับผู้ใช้ได้ง่าย มีประสิทธิภาพ และมีลักษณะการควบคุมในเวลาจริง

**Thesis Title** A Control of DC Motor Speed and AC Generator Voltage using  
Fuzzy Logic for a Motor-Generator Set

**Author** Mr. Watcharapong Ratchapong

**Major Program** Electrical Engineering

**Academic Year** 1999

### **Abstract**

This thesis presents the use of Fuzzy Logic Control for Controlling an Electrical Power Generation System. The controller uses software that runs on a PC to control a 4.1 kW DC motor and a 4 kVA AC generator. It fixes the synchronous speed of the DC motor at 1500 rpm and simultaneously controls the field current excitation of the AC generator to retain the quality of power generated at 220 V and 50 Hz. In the experiment ,the Fuzzy Logic Control successfully controls the system into desired performance in a stable manner. The response time to the reference voltage and frequency after a sudden increase in load ( from no load to full load ) is about 3 seconds. The response time to the reference voltage and frequency after a sudden decrease in load ( from full load to no load ) is also about 3 seconds. The error in frequency and voltage of the generated power are  $\pm 0.5$  Hz and  $\pm 2.0$  V respectively. The software is able to operated in multi-tasking operation,providing real-time control while at the same time allowing the user to change parameters and review results.

## กิตติกรรมประกาศ

ขอขอบพระคุณ อาจารย์ นันส์ เกื้อ廓กิจการ ประธานกรรมการที่ปรึกษาที่ได้ให้คำแนะนำ  
นำในงานวิจัยเป็นอย่างดี รวมทั้งให้กำลังใจตลอดมา ประคุณเนื่องบินด้วยของข้าพเจ้าเอง ตลอดจน  
กรุณาช่วยตรวจสอบแก่ไขวิทยานิพนธ์คำนินไปอย่างสมบูรณ์

ขอขอบพระคุณ ผู้ช่วยศาสตราจารย์ บุญเรือง วงศ์กิตติศักดิ์ และ ผู้ช่วยศาสตราจารย์ ดร.  
กิตติพัฒน์ ศันคระรุ่งโรจน์ ใน การให้คำปรึกษาและความช่วยเหลือที่สำคัญต่องานวิจัย ตลอดจน  
กรุณาช่วยตรวจสอบแก่ไขวิทยานิพนธ์ฉบับนี้ จนทำให้วิทยานิพนธ์คำนินไปอย่างสมบูรณ์

ขอขอบพระคุณ ดร. นิพชา นินทรกิจ ที่ให้คำปรึกษาและกรุณาช่วยตรวจสอบแก่ไขวิทยานิพนธ์  
ฉบับนี้ จนทำให้วิทยานิพนธ์คำนินไปอย่างสมบูรณ์

ขอขอบพระคุณอาจารย์ ไพบูลย์ นวลนิล ที่กรุณาช่วยตรวจสอบแก่ไขวิทยานิพนธ์ฉบับนี้ จน  
กระทั่งบรรลุวัตถุประสงค์

ขอขอบพระคุณ มหาวิทยาลัยสงขลานครินทร์ที่ให้ทุนการศึกษาสำหรับนักศึกษาระดับ  
บัณฑิตศึกษาประเภทผลการเรียนดีเด่น เพื่อเป็นทุนการศึกษา

ขอขอบพระคุณบัณฑิตวิทยาลัมมหาวิทยาลัยสงขลานครินทร์ที่สนับสนุนทุนอุดหนุน  
การวิจัย

ขอขอบพระคุณคณาจารย์ และเจ้าหน้าที่ในภาควิชาวิศวกรรมไฟฟ้าทุกท่าน โดยเฉพาะ ดร.  
นิพช์ กงทอง ต่อการให้คำปรึกษาและความช่วยเหลือที่สำคัญ จนกระทั่งงานสำเร็จถ้วน

สุดท้ายนี้ข้าพเจ้าขอն้อมระลึกถึงพระคุณ บิดา นารดา ที่ตั้งเสริม ชี้แนะ เป็นกำลังใจและ  
อุปถัมภ์ทางด้านการศึกษามาโดยตลอดจนประสบความสำเร็จ

วัชรพงศ์ ราชพงศ์

## สารบัญ

	หน้า
บทคัดย่อ.....	(3)
Abstract.....	(4)
กิตติกรรมประกาศ.....	(5)
สารบัญ.....	(6)
รายการตาราง.....	(9)
รายการภาพประกอบ.....	(11)
ตัวย่อและสัญลักษณ์.....	(15)
<b>บทที่</b>	
<b>1 บทนำ.....</b>	<b>1</b>
1.1 บทนำต้นเรื่อง.....	1
1.2 การตรวจเอกสาร.....	3
1.3 วัตถุประสงค์.....	5
<b>2 ทฤษฎีและหลักการควบคุมโดยใช้ฟื้ชซีลอดจิก.....</b>	<b>6</b>
2.1 แนวคิดพื้นฐานของฟื้ชซีลอดจิก.....	6
2.2 ทฤษฎีการควบคุมแบบฟื้ชซีลอดจิก .....	7
<b>3 เครื่องจักรกล ไฟฟ้าและหลักการควบคุม.....</b>	<b>12</b>
3.1 เครื่องจักรกล ไฟฟ้ากระแสตรง.....	12
3.1.1 โครงสร้างของเครื่องจักรกล ไฟฟ้ากระแสตรง.....	13
3.1.2 หลักการทำงานของเครื่องจักรกล ไฟฟ้ากระแสตรง.....	13
3.1.3 เครื่องจักร ไฟฟ้ากระแสตรงแบบแยกคลอดสร้างสนามแม่เหล็ก.....	14
3.1.4 การควบคุมความเร็วรอบของมอเตอร์กระแสตรงแบบแยก.....	15
ขาด漉ดสร้างสนามแม่เหล็ก	
3.2 เครื่องเจนเนอเรเตอร์กระแสสลับ.....	16
3.2.1 โครงสร้างการทำงานของเจนเนอเรเตอร์ .....	16
3.2.2 หลักการทำงานของเจนเนอเรเตอร์.....	17
3.2.3 การควบคุมแรงดันของเครื่องเจนเนอเรเตอร์.....	18

3.3	ลักษณะการควบคุมเครื่องจักรกลไฟฟ้า.....	19
3.4	ชุดมอเตอร์เงินเนอเรเตอร์ที่ใช้ในการควบคุม.....	21
4	การออกแบบตัวควบคุมไฟฟ้าชีลอดจิก.....	22
4.1	ขั้นตอนการออกแบบตัวควบคุมความเร็วของมอเตอร์กระแสตรงโดยอาศัย.....	22
	ทฤษฎีไฟฟ้าชีลอดจิก	
4.2	ขั้นตอนการออกแบบตัวควบคุมแรงดันของเครื่องเงินเนอเรเตอร์กระแสสัม�ันธ์.....	31
	โดยอาศัยทฤษฎีไฟฟ้าชีลอดจิก	
5	ระบบควบคุมชุดมอเตอร์เงินเนอเรเตอร์.....	41
5.1	ส่วนการรับสัญญาณอินพุต .....	43
5.2	ส่วนการแปลงสัญญาณอนาลอกเป็นดิจิตอล.....	44
5.3	ส่วนตัวควบคุมระบบแบบไฟฟ้าชีลอดจิก .....	45
5.4	ส่วนการแปลงสัญญาณดิจิตอลเป็นอนาลอก .....	51
5.5	ส่วนการส่งสัญญาณเอาต์พุต.....	53
	5.5.1 ส่วนสัญญาณก่อนเข้าตัวแยกทางแสง.....	55
	5.5.2 ส่วนสัญญาณที่ออกจากตัวแยกทางแสง.....	57
6	ผลและการอภิปรายการทดลอง.....	64
6.1	การทดลองครั้งที่ 1.....	65
6.2	การทดลองครั้งที่ 2.....	69
6.3	การทดลองครั้งที่ 3.....	71
6.4	การทดลองครั้งที่ 4.....	73
6.5	การทดลองครั้งที่ 5.....	76
6.6	การทดลองครั้งที่ 6.....	78
6.7	การทดลองครั้งที่ 7.....	80
7	บทวิจารณ์และสรุป.....	83
	บรรณานุกรม.....	85
	ภาคผนวก ภาคผนวก ก คุณสมบัติและรายละเอียดของไอจีบีที.....	87

ภาคผนวก ข คุณสมบัติและรายละเอียดของตัวแยกทางแสง.....	93
ภาคผนวก ข1 พื้นฐานตัวแยกทางแสง.....	93
ภาคผนวก ข2 คุณสมบัติต่างๆ ที่น่าสนใจ.....	94
ภาคผนวก ค คุณสมบัติและรายละเอียดของเครื่อง Lab-PC-1200.....	98
ประวัติผู้เขียน.....	104

## รายการตาราง

ตาราง	หน้า
4.1 แสดงค่าความไว้ที่ของ E และ Ech ของระบบควบคุมความเร็ว	23
4.2 แสดงค่าจุดศูนย์ต่อ (Assigned Value) ของเอาต์พุตฟิล์ช์ในระบบควบคุมความเร็ว	24
4.3 แสดงเงื่อนไขที่กำหนดขึ้นของเอาต์พุตฟิล์ช์ในระบบควบคุมความเร็วเมื่ออินพุตมีการเปลี่ยนแปลง	26
4.4 แสดงค่าเอาต์พุตทั้งหมดของทุกรถลีที่เกิดขึ้นในระบบควบคุมความเร็วซึ่งได้จากการคำนวณโดยกฎฟิล์ช์	28
4.5 แสดงค่าความสัมพันธ์ของเอาต์พุต กับ ค่าการเปลี่ยนแปลงของคิวตี้ใช้เกิดของระบบควบคุมความเร็ว	30
4.6 การแสดงค่าความไว้ที่ของ E และ Ech ของระบบควบคุมแรงดัน	32
4.7 แสดงค่าจุดศูนย์ต่อ (Assigned Value) ของเอาต์พุตฟิล์ช์ในระบบควบคุมแรงดัน	33
4.8 แสดงเงื่อนไขที่กำหนดขึ้นของเอาต์พุตฟิล์ช์ในระบบควบคุมแรงดันเมื่ออินพุตมีการเปลี่ยนแปลง	35
4.9 แสดงค่าเอาต์พุตทั้งหมดของทุกรถลีที่เกิดขึ้นในระบบควบคุมแรงดันซึ่งได้จากการคำนวณโดยกฎฟิล์ช์	37
4.10 แสดงค่าความสัมพันธ์ของเอาต์พุต กับ ค่าการเปลี่ยนแปลงของคิวตี้ใช้เกิดของระบบควบคุมแรงดัน	39
6.1 แสดงเงื่อนไขที่กำหนดขึ้นของเอาต์พุตฟิล์ช์ของการควบคุมความเร็วบนเตอร์กระแสตรงในการทดลองครั้งที่ 1	65
6.2 แสดงค่าความสัมพันธ์ของเอาต์พุต กับ ค่าการเปลี่ยนแปลงของคิวตี้ใช้เกิดของระบบควบคุมความเร็วบนเตอร์กระแสตรงในการทดลองครั้งที่ 1	66
6.3 แสดงเงื่อนไขที่กำหนดขึ้นของเอาต์พุตฟิล์ช์ของการควบคุมแรงดันบนเนอเตอร์ใน การทดลองครั้งที่ 1	67
6.4 แสดงค่าความสัมพันธ์ของเอาต์พุต กับ ค่าการเปลี่ยนแปลงของคิวตี้ใช้เกิดของระบบควบคุมแรงดันบนเนอเตอร์ในการทดลองครั้งที่ 1	68
6.5 แสดงค่าความสัมพันธ์ของเอาต์พุต กับ ค่าการเปลี่ยนแปลงของคิวตี้ใช้เกิดของระบบควบคุมความเร็วบนเตอร์กระแสตรงในการทดลองครั้งที่ 2	69

6.6	แสดงเงื่อนไขที่กำหนดขึ้นของเอตพุตฟิชซีของการควบคุมความเร็วณเตอร์ กระแสตรงในการทดลองครั้งที่ 3	71
6.7	แสดงเงื่อนไขที่กำหนดขึ้นของเอตพุตฟิชซีของการควบคุมความเร็วณเตอร์ กระแสตรงในการทดลองครั้งที่ 4	74
6.8	แสดงเงื่อนไขที่กำหนดขึ้นของเอตพุตฟิชซีของการควบคุมแรงดันเจนเนอเตอร์ ในการทดลองครั้งที่ 4	75
6.9	แสดงเงื่อนไขที่กำหนดขึ้นของเอตพุตฟิชซีของการควบคุมความเร็ว ณเตอร์กระแสตรงในการทดลองครั้งที่ 5	76
6.10	แสดงเงื่อนไขที่กำหนดขึ้นของเอตพุตฟิชซีของการควบคุมความเร็ว ณเตอร์กระแสตรงในการทดลองครั้งที่ 7	80
6.11	แสดงเงื่อนไขที่กำหนดขึ้นของเอตพุตฟิชซีของการควบคุมแรงดัน เจนเนอเตอร์กระแสตรงในการทดลองครั้งที่ 7	81
ก1	คุณสมบัติของตัวแยกทางแสงเบอร์ 4N26	97

## รายการภาพประกอบ

ภาพประกอบ	หน้า
2.1 แสดงถักยนต์คริซซ์ปเทตและพิชชี่เพตของอุณหภูมิที่รู้สึกว่าอุ่น	7
2.2 แสดงแผนผังการทำงานของทฤษฎีพิชชี่ล็อกจิก	8
2.3 โครงสร้างการทำงานของตัวควบคุมแบบพิชชี่ล็อกจิกในการควบคุม ความเร็วของเตอร์กระแสตรง	10
2.4 โครงสร้างการทำงานของตัวควบคุมแบบพิชชี่ล็อกจิกในการควบคุม แรงดันเครื่องเงินเนอเรเตอร์กระแสสลับ	10
3.1 แสดงเครื่องจักร ไฟฟ้ากระแสตรงแบบแยกคลาดสร้างสนามแม่เหล็ก	14
3.2 แสดงวงจรเส้นอนของนอเตอร์ไฟฟ้ากระแสตรงแบบแยกคลาดสร้างสนามแม่เหล็ก	15
3.3 แสดงระบบควบคุมการทำงานของเงินเนอเรเตอร์โดยใช้ AVR	18
3.4 แสดงวงจรสมบู合ของเครื่องเงินเนอเรเตอร์	18
3.5 แผนภูมิแสดงการควบคุมความเร็วของนอเตอร์กระแสตรง	20
3.6 แผนภูมิแสดงการควบคุมแรงดันของเครื่องเงินเนอเรเตอร์กระแสสลับ	20
3.7 แสดงระบบในการควบคุมการผลิตกระแสไฟฟ้า	20
4.1 แสดงฟังก์ชันการเป็นสมาชิกของอินพุตที่ 1 : Error Frequency ( E ) ในระบบควบคุมความเร็ว	24
4.2 แสดงฟังก์ชันการเป็นสมาชิกของอินพุตที่ 2 : Error Change Frequency ( Ech ) ในระบบควบคุมความเร็ว	25
4.3 แสดงฟังก์ชันการเป็นสมาชิกของเอาต์พุตพิชชี่ในระบบควบคุมความเร็ว	25
4.4 แสดง ฟังก์ชันการเป็นสมาชิกของอินพุตที่ 1 : Error Voltage ( E ) ในระบบควบคุมแรงดัน	33
4.5 แสดงฟังก์ชันการเป็นสมาชิกของอินพุตที่ 2 : Error Change Voltage ( Ech ) ในระบบควบคุมแรงดัน	34
4.6 แสดงฟังก์ชันการเป็นสมาชิกของเอาต์พุตพิชชี่ในระบบควบคุมแรงดัน	34
5.1 แสดงระบบควบคุมความเร็วของนอเตอร์กระแสตรง	41
5.2 แสดงระบบควบคุมแรงดันของเงินเนอเรเตอร์	41
5.3 แสดงการทำงานของระบบการควบคุมความเร็วของนอเตอร์กระแสสลับ โดยการควบคุมแบบพิชชี่ล็อกจิกที่ทำงานบนคอมพิวเตอร์	42

5.4	แสดงส่วนการรับสัญญาณอินพุต โดยผ่านหน้าจอแสดงผล	43
5.5	แสดงการรับสัญญาณอินพุตไปยังการ์ด Lab PC 1200	44
5.6	แสดงความเร็วในการสุ่มและจำนวนจุดที่ใช้ในการสุ่มแต่ละครั้ง โดยใช้โปรแกรม Labview	45
5.7	แสดงค่าแรงดันและความถี่ที่เงินเนอเรเตอร์ผลิตได้ โดยคำนวณจากสัญญาณที่ได้จากการแปลงอนalog เป็นดิจิตอล	46
5.8	แสดงค่าแรงดันและความถี่ที่สูงกว่าค่าอ้างอิง (220 โวลต์, 50 เฮิรตซ์)	46
5.9	แสดงค่าแรงดันต่ำกว่าค่าอ้างอิงแต่ความถี่ที่สูงกว่าค่าอ้างอิง	47
5.10	แสดงค่าแรงดันสูงกว่าค่าอ้างอิงแต่ความถี่ที่ต่ำกว่าค่าอ้างอิง	47
5.11	แสดงค่าแรงดันและความถี่ที่ต่ำกว่าค่าอ้างอิง	47
5.12	แสดงค่าแรงดันและความถี่ที่ใกล้เคียงค่าอ้างอิง	48
5.13	แสดงขั้นตอนการควบคุมความเร็วของมอเตอร์กระแสตรง	49
5.14	แสดงขั้นตอนการควบคุมแรงดันของเครื่องเงินเนอเรเตอร์	50
5.15	แสดงการส่งสัญญาณออกขา 10 และ 11 ของการ์ด Lab PC 1200	51
5.16	แสดงความเร็วในการส่งและจำนวนจุดที่ใช้ในการส่งแต่ละครั้ง โดยใช้โปรแกรม Labview	52
5.17	แสดงการส่งสัญญาณที่มีค่าคิวต์ไซเคิล 50 เมอร์เซ่นต์	52
5.18	แสดงการส่งสัญญาณที่มีค่าคิวต์ไซเคิล 75 เมอร์เซ่นต์	53
5.19	แสดงส่วนการส่งสัญญาณไปควบคุมความเร็วนอกเหนือรักระยะตรง	53
5.20	แสดงส่วนการส่งสัญญาณไปควบคุมแรงดันเงินเนอเรเตอร์	54
5.21	แสดงสัญญาณที่เข้าและออกจากตัวแยกทางแสง	54
5.22	แสดงส่วนสัญญาณก่อนเข้าตัวแยกทางแสงที่รับมาจาก การ์ด Lab PC 1200	55
5.23	แสดงค่าคิวต์ไซเคิลของสัญญาณที่ส่งออกจากการ์ด Lab PC 1200	55
5.24	แสดงภาพสัญญาณก่อนเข้าตัวแยกทางแสงที่มีค่าคิวต์ไซเคิล 10 %	56
5.25	แสดงภาพสัญญาณก่อนเข้าตัวแยกทางแสงที่มีค่าคิวต์ไซเคิล 25 %	56
5.26	แสดงภาพสัญญาณก่อนเข้าตัวแยกทางแสงที่มีค่าคิวต์ไซเคิล 50 %	56
5.27	แสดงภาพสัญญาณก่อนเข้าตัวแยกทางแสงที่มีค่าคิวต์ไซเคิล 75 %	57
5.28	แสดงภาพสัญญาณก่อนเข้าตัวแยกทางแสงที่มีค่าคิวต์ไซเคิล 90 %	57
5.29	แสดงส่วนการทำงานของวงจรซ้อนเปลี่ยนโดยใช้อิจีบีที	57
5.30	แสดงภาพสัญญาณที่ออกจากตัวแยกทางแสงที่มีค่าคิวต์ไซเคิล 10 %	58

5.31	แสดงภาพสัญญาณที่ออกจากตัวแยกทางแสงที่มีค่าคิวต์ไซเดล 25 %	58
5.32	แสดงภาพสัญญาณที่ออกจากตัวแยกทางแสงที่มีค่าคิวต์ไซเดล 50 %	58
5.33	แสดงภาพสัญญาณที่ออกจากตัวแยกทางแสงที่มีค่าคิวต์ไซเดล 75 %	59
5.34	แสดงภาพสัญญาณที่ออกจากตัวแยกทางแสงที่มีค่าคิวต์ไซเดล 90 %	59
5.35	แสดงความเร็วในการสุ่มและจำนวนจุดที่ใช้ในการสุ่มแต่ละครั้ง โดยใช้โปรแกรม Labview	60
5.36	แสดงค่าแรงดันที่ขึ้นของเงนเนอเรเตอร์	60
5.37	แสดงความเร็วในการส่งและจำนวนจุดที่ใช้ในการส่งแต่ละครั้ง ซึ่งมีความถี่ในการส่ง 250 เฮิรตซ์	61
5.38	แสดงสัญญาณก่อนเข้าตัวแยกทางแสงขณะ ไร้การซึ่งมีค่าคิวต์ไซเดล 58 %	62
5.39	แสดงสัญญาณก่อนเข้าตัวแยกทางแสงขณะ ไร้การซึ่งมีค่าคิวต์ไซเดลเพิ่มขึ้นเป็น 62 %	62
5.40	แสดงสัญญาณเข้าหากอบขณะ ไร้การซึ่งมีค่าคิวต์ไซเดล 58 %	62
5.41	แสดงสัญญาณเข้าหากอบขณะมีการซึ่งมีค่าคิวต์ไซเดลเพิ่มขึ้นเป็น 62 %	63
6.1	แสดงระบบการควบคุมการผลิตไฟฟ้า	64
6.2	แสดงผลตอบสนองต่อการควบคุมความถี่ในการทดลองครั้งที่ 1	66
6.3	แสดงผลตอบสนองต่อการควบคุมแรงดันในการทดลองครั้งที่ 1	68
6.4	แสดงผลตอบสนองต่อการควบคุมความถี่ในการทดลองครั้งที่ 2	70
6.5	แสดงผลตอบสนองต่อการควบคุมแรงดันในการทดลองครั้งที่ 2	70
6.6	แสดงผลตอบสนองต่อการควบคุมความถี่ในการทดลองครั้งที่ 3	72
6.7	แสดงผลตอบสนองต่อการควบคุมแรงดันในการทดลองครั้งที่ 3	73
6.8	แสดงผลตอบสนองต่อการควบคุมความถี่ในการทดลองครั้งที่ 4	74
6.9	แสดงผลตอบสนองต่อการควบคุมแรงดันในการทดลองครั้งที่ 4	75
6.10	แสดงผลตอบสนองต่อการควบคุมความถี่ในการทดลองครั้งที่ 5	77
6.11	แสดงผลตอบสนองต่อการควบคุมแรงดันในการทดลองครั้งที่ 5	78
6.12	แสดงผลตอบสนองต่อการควบคุมความถี่ในการทดลองครั้งที่ 6	79
6.13	แสดงผลตอบสนองต่อการควบคุมแรงดันในการทดลองครั้งที่ 6	79
6.14	แสดงผลตอบสนองต่อการควบคุมความถี่ในการทดลองครั้งที่ 7	81
6.15	แสดงผลตอบสนองต่อการควบคุมแรงดันในการทดลองครั้งที่ 7	82
ก1	แสดงแรงดันตกครั้งของขณะนำกระแสของไอิจีบีลดลงเมื่อเปรียบเทียบกับ มาตรฐานไฟฟ้าในพิกัดเดียวกัน	87

ก2	ขนาดพื้นที่ชิปชิลิตอนของไอจีบีทีลดลงเมื่อเปรียบเทียบกับมอสเฟต ในพิกัดเดียวกัน	88
ก3	ขนาดพื้นที่ของตัวถังไอจีบีทีลดลงเมื่อเปรียบเทียบกับมอสเฟต ในพิกัดเดียวกัน	88
ก4	ภาพตัดขวางและวงจรไฟฟ้าภายในของมอสเฟต 1 เซลล์	89
ก5	ภาพตัดขวางและวงจรไฟฟ้าภายในของไอจีบีที 1 เซลล์	90
ก6	แสดง wang รสมูลและสัญลักษณ์มาตรฐานของไอจีบีที	90
ข1-ก	แสดงตัวแยกทางแสงที่เอาต์พุตเป็นไฟได้กรานซิสเทอร์	94
ข1-ข	แสดงตัวแยกทางแสงที่เอาต์พุตเป็นไฟได้คาร์บิงตัน	94
ข1-ค	แสดงตัวแยกทางแสงที่เอาต์พุตเป็นสวิตร์สองทิศทางหรือ ໄคแอก	94
ข1-ง	แสดงตัวแยกทางแสงที่เอาต์พุตเป็น SCR	94
ข2	แสดงตัวเปลี่ยนพุคของตัวแยกทางแสงซึ่งส่วนใหญ่เป็นໄค ไอด เปลี่ยนแสงอินฟราเรดทำมาจากสารแกลเลี่ยมอาร์เซไนด์	95
ค1	แสดงคำแนะนำของขั้วต่อบนการ์ด Lab-PC-1200	98

## ຕັຫຍ່ອແລະສັງຄັກນີ້

$\Omega$	=	ohm
%	=	percent
$\pm$	=	plus or minus
+	=	positive of, or plus
$\mu s$	=	micro seconds
A	=	amperes
ACH <0..7>	=	analog channel 0 through 7 signals
ADC	=	analog-to-digital converter
AGND	=	analog ground signal
AI	=	analog input
AISENSE/AIGND	=	analog input sense/analog input ground signal
AVR	=	automatic voltage regulator
CH	=	channel
dB	=	decibels
DC	=	direct current
DGND	=	digital ground signal
EXTCONV	=	external convert signal
EXTTRIG	=	external trigger signal
Hz	=	hertz
I/O	=	input/output
kVA	=	kilo volt-amperes
kW	=	kilo Watt
LSB	=	least significant bit
mA	=	milli amperes
N	=	North
PID	=	proportional integral derivative
PD	=	proportional derivative
p.u.	=	per unit

rpm	=	round per minute
S	=	South
s	=	seconds
V	=	volts
VDC	=	volt direct current

## บทที่ 1

### บทนำ

#### 1.1 บทนำต้นเรื่อง

ในความเป็นจริง ระบบที่เราต้องการควบคุมโดยส่วนใหญ่นั้นจะเป็นระบบพลวัต ซึ่งมีลักษณะความไม่แน่นอนสูง และยากต่อการสร้างแบบจำลองทางคณิตศาสตร์เพื่อใช้ในการตัดสินใจของระบบ ซึ่งระบบเหล่านี้อาจเป็นระบบที่ไม่เชิงเส้น หรือเป็นระบบที่เปลี่ยนความเวลา หรือมีจำนวนอินพุต/เอาต์พุตที่ซับซ้อนมาก จึงได้มีการคิดค้นทฤษฎีระบบควบคุม สมัยใหม่ในลักษณะต่างๆเกิดขึ้นอยู่เสมอๆ โดยเฉพาะทฤษฎีระบบควบคุมที่เกิดขึ้นในระยะหลังนี้ มักมีแนวโน้มให้ระบบมีความสามารถในการเรียนรู้(learning) ปรับตัวเอง(adaptive) ทำนายผล(prediction) หรือมีความสามารถในการหาเงื่อนไขที่มีความเหมาะสม(optimum)ในการควบคุมระบบได้ ในบางกรณีอาจมีลักษณะของระบบผู้เชี่ยวชาญร่วมอยู่ด้วยกัน อย่างไรก็ตามทฤษฎีระบบควบคุมแต่ละวิธีนั้นจะมีข้อจำกัดในด้านนักออกแบบและมีความเหมาะสมกับระบบที่มีลักษณะเฉพาะตามแนวทางของแต่ละทฤษฎีเท่านั้น จนกระทั่งหลังจากมีการพัฒนาในโครงไปรษณีย์ในช่วงก.ศ. 1965 ได้มีการนำเอาหลักการของฟิชชี่โลจิก (Fuzzy Logic) มาใช้กับระบบควบคุมแบบอนาคตอุตสาหกรรม เพื่อแก้ไขปัญหาความไม่ชัดเจนของปริมาณต่างๆ เช่น อุณหภูมิ น้ำหนัก ความเร็ว แรงดัน โดยสามารถที่จะระบุเป็นค่าที่ແเนื่องันได้ เป็นตัวเลขที่ชัดเจนได้ว่า อุณหภูมิกี่องศา น้ำหนักกี่กิโลกรัม แต่ถ้าหากเป็นความรู้สึก เช่น หนาว ค่อนข้างหนาว หนาวมาก การวัดปริมาณเหล่านี้ให้เป็นค่าที่ชัดเจนทำได้ยากมาก และยิ่งเมื่อนำไปเกี่ยวข้องกับคอมพิวเตอร์ เพื่อให้ทำการวิเคราะห์และประมวลผล เป็นสิ่งที่เป็นไปได้ยากหรือทำไม่ได้เลย เนื่องจากคอมพิวเตอร์จะทำงานกับข้อมูลที่มีความแตกต่างชัดเจน เช่น “0” กับ “1” แต่ในความรู้สึกที่เป็น 2.0, 0.35, 0.4, 0.7 ปริมาณเหล่านี้จะใช้วิธีการคณิตศาสตร์แบบเดิม เพื่อให้คอมพิวเตอร์รับรู้ไม่ได้แล้ว จึงได้มีการคิดค้นฟิชชี่โลจิกขึ้นมา เพื่อแก้ไขปัญหาดังกล่าว โดยความไม่ชัดเจนของระบบถูกสามารถทำให้ชัดเจนได้ การควบคุมระบบยังสามารถทำได้ละเอียดอ่อนกว่าเดิม เช่น จากระยะห่างนี้ ร้อนกันเย็น ถ้าสามารถปรับได้เป็นร้อนมาก ร้อนน้อย ค่อนข้างร้อน อุ่น ค่อนข้างอุ่น เมื่อ ค่อนข้างเย็น เป็นต้น จะเห็นว่าการควบคุมโดยใช้ในโครงไปรษณีย์ สามารถควบคุมผลของการบันทึกในระบบต่างๆ ความไม่เป็นเชิงเส้น ของระบบและการเปลี่ยนแปลงที่พารามิเตอร์ของเครื่องจักรต่างๆ ได้เป็นอย่างดี ตัวควบคุมที่ใช้หลักการของในโครงไปรษณีย์สามารถเก็บข้อมูลเก่าๆ และทำงานแทนการฟื้นฟูข้อมูลที่เกิดขึ้นในเวลา ข้างหน้าเมื่อรู้ค่าของอินพุตของระบบในปัจจุบัน

นายล็อตฟี่ ชาเดห์ (Lotfi Zadeh) แห่งมหาวิทยาลัยแคลิฟอร์เนีย เป็นผู้คิดค้นทฤษฎีฟuzzi ให้ในปี 1965 ได้ให้ข้อสังเกตว่า “ระบบควบคุมที่มีความซับซ้อนมากจึง ความต้องการค่าที่แน่นอนนั้นแทบจะไม่จำเป็น” และสิ่งที่ขาดส่วนตัวมาไว้ได้กลยุทธ์เป็นข้อกำหนดของระบบและกฎการควบคุมอัตโนมัติท่อนา

การสร้างฟuzzi ล็อตฟี่เป็นต้องอาศัยประสบการณ์เพื่อสามารถเรียนรู้กฎการตัดสินใจต่อสถานการณ์นั้น โดยใช้เพียงคณิตศาสตร์ง่ายๆ และไม่ได้ใช้สมการที่ซับซ้อนแต่อย่างใด คอมพิวเตอร์สามารถศึกษาความกฎเหล่านี้ได้โดยตรงและไม่พบปัญหาความยุ่งยากในการคำนวณ (นานะ ลักษมนิชพันธ์, 2540)

ทฤษฎีฟuzzi ล็อตฟี่ให้เปรียบเหมือนระบบล็อกแบบที่ว่าไปอยู่ 3 ประการคือ

1. เผด็จของฟuzzi ล็อตฟี่ สามารถให้คำจำกัดความของคุณภาพทางภาษาได้ดีกว่า เช่น คำว่า ค่อนข้างหรือเกือบจะ ซึ่งนำไปใช้ประกอบคำแสดงคุณลักษณะทั่วๆ ไป เช่น สูง เตี้ย ตื้น ร้อน และอื่นๆ และยังสามารถให้คำความสำคัญของแต่ละสมาชิกในฟuzzi ได้ ซึ่งจะมีค่าตั้งแต่ 0 ถึง 1

2. เอกลักษณ์ที่ได้จากระบบฟuzzi ล็อกจะมีการเปลี่ยนแปลงแบบค่อยเป็นค่อยไปอย่างต่อเนื่องถึงแม้ว่าอินพุตของระบบจะเปลี่ยนไปอย่างทันทีทันใดก็ตาม

3. อาศัยประสบการณ์การควบคุมของมนุษย์มาเป็นพื้นฐานของระบบ โดยใช้คณิตศาสตร์ง่ายๆ และไม่ได้ใช้สมการที่ซับซ้อนแต่อย่างใด หมายความว่าระบบที่ซับซ้อนยุ่งยาก หรือทำให้เกิดความซับซ้อนได้ยาก

ฟuzzi ล็อกสามารถออกแบบเพื่อเลียนแบบความรู้สึกมนุษย์ ไม่ว่าจะเป็น ความร้อน ความเย็น ระยะใกล้หรือไกล ที่ผ่านมาเร็วนาน หรือ ผ่านนานนานแล้ว เป็นต้น ซึ่งสิ่งเหล่านี้จะวัดออกมามีน้ำหนักหรือความรู้สึกมากกว่าจะแสดงออกมาเป็นตัวเลขที่นิยม ทั้งนี้และทั้งนี้ก็เพื่อจะลดปัญหาของระบบที่ซับซ้อนมาเป็นการจัดการทางเชิงเรียงก่อ ฟuzzi ล็อก

ฟuzzi ล็อกมีพื้นฐานอยู่บนทฤษฎีฟuzzi (fuzzy Set) ซึ่งจะช่วยให้อธิบายการปฏิบัติการและกฎการควบคุมของระบบเป็นคำพูดได้อย่างชัดเจนขึ้น ถึงแม้จะมีลักษณะที่ไม่ใกล้เคียงพอ แต่ มันก็ง่ายกว่าการคำนวณทางคณิตศาสตร์ หลักการสำคัญของทฤษฎีฟuzzi คือ ยอมรับสมาชิกที่มีลักษณะตามเซตเพียงบางส่วนเท่านามาเป็นสมาชิกโดยมีการจัดค่าดำเนินของการเป็นสมาชิกซึ่งแตกต่างจากทฤษฎีเซตตั้งเดิม ซึ่งการควบคุมแบบฟuzzi ล็อกสามารถทำให้ได้ผลลัพธ์ใกล้เคียงกับผลลัพธ์ที่เกิดจากการตัดสินใจของมนุษย์ ทำให้ลดลงของการควบคุมของมนุษย์ที่น่าพอใจอย่างยิ่ง

เนื่องจากความก้าวหน้าทางอิเล็กทรอนิกส์และเทคโนโลยีทางด้านคอมพิวเตอร์ ทำให้ในระยะสั้นเป็นที่ผ่านมา ราคาของอุปกรณ์อิเล็กทรอนิกส์และเครื่องคอมพิวเตอร์ลดลงอย่างรวดเร็ว แต่ กลับมีคุณภาพเพิ่มขึ้นอย่างมาก ทำให้ได้มีการนำระบบคอมพิวเตอร์มาใช้ในกระบวนการ

อุตสาหกรรมอย่างกว้างขวางมากขึ้นเป็นลำดับโดยเฉพาะในโรงงานอุตสาหกรรมที่มีขนาดใหญ่ และต้องการผลการควบคุมที่มีความน่าเชื่อถือสูง เนื่องจากการใช้เครื่องคอมพิวเตอร์ควบคุมกระบวนการทางอุตสาหกรรมจะทำให้ประสิทธิภาพในการควบคุมดีขึ้นและสามารถลดค่าใช้จ่ายต่างๆ ที่ใช้ในการควบคุมการผลิตและบำรุงรักษาเครื่องจักรกลต่างๆ ให้น้อยลง โดยเมื่อนำเครื่องคอมพิวเตอร์มาใช้ในระบบควบคุมและเบรียบเทียนผลกันการควบคุมเดิมแล้ว ถูกเนื่องกว่าประสิทธิภาพและความสามารถของเครื่องคอมพิวเตอร์แบบไม่มีขีดจำกัด สามารถสร้างวงจรควบคุมที่ซับซ้อนได้อย่างง่ายดาย และจากที่ได้กล่าวมาแล้วในข้างต้น ระบบที่ใช้ในการควบคุมเครื่องจักรกลไฟฟ้าก็เป็นอีกระบบที่มีความน่าเชื่อถือสูง เช่นในลักษณะของมอเตอร์โดยทั่วไป เมื่อได้รับกระแสเพิ่มขึ้นแล้ว จะทำให้ความเร็วของมอเตอร์ลดลงไป ซึ่งในงานบางประเภทไม่ต้องการให้เกิดเหตุการณ์แบบนี้ ดังนั้นจึงต้องมีการหาวิธีที่จะควบคุมความเร็วของมอเตอร์ให้มีค่าคงที่อยู่ตลอดเวลา ไม่ว่ากระแสจะเปลี่ยนไปมากน้อยก็ตาม หรือการควบคุมแรงดันของเครื่องгенเนอเรเตอร์กระแสสลับซึ่งแต่ก่อนจะใช้งานไฟฟ้าที่เกี่ยวข้องกับทางด้านยาร์คแวร์ล้วนๆ ซึ่งยากในการเปลี่ยนแปลงค่าพารามิเตอร์ต่างๆ ได้ จึงมีการนำเอาการควบคุมทางด้านซอฟต์แวร์มาใช้ในการแก้ปัญหาเหล่านี้ จากสิ่งที่ได้กล่าวมาข้างต้นนี้จึงเป็นแนวคิดที่จะประยุกต์โดยการนำเอาคอมพิวเตอร์มาประยุกต์ใช้ในการควบคุมเครื่องจักรกลไฟฟ้า โดยใช้ทฤษฎีของฟิชช์ลอดจิก

## 1.2 การตรวจสอบ

1.2.1 การควบคุมการผลิตผลิตภัณฑ์งานไฟฟ้าโดยใช้ฟิชช์ลอดจิกที่เรียนรู้ได้ด้วยตัวเอง ( ภาครัตน์นิยานนิช และคณะ, 2539 : CT 26-31 ) งานวิจัยนี้เป็นการนำเสนอการควบคุมการผลิตผลิตภัณฑ์งานไฟฟ้าโดยใช้เครื่องควบคุมฟิชช์ลอดจิกที่สามารถเรียนรู้ได้ด้วยตัวเองในการออกแบบระบบควบคุมเพื่อประสิทธิภาพที่ดีกว่าซึ่งแบ่งการควบคุมออกเป็นระดับหนาและละเอียด แล้วเปลี่ยนโครงสร้างระบบควบคุมจาก Fuzzy PID Controller มาเป็น Fuzzy PD Controller เพื่อลดเวลาที่ใช้ในการประมวลผล ระบบควบคุมทั้งหมดนี้เป็นซอฟต์แวร์ทำงานบนเครื่องคอมพิวเตอร์ ใช้ในการควบคุมมอเตอร์กระแสตรงให้ได้ความเร็วอบที่พิสูจน์เพื่อให้ได้ไฟฟ้าที่ผลิตให้มีความถี่เท่ากับ 50 เฮิรตซ์ และเครื่องgenเนอเรเตอร์กระแสสลับให้ได้แรงดันคงที่ที่ 220 โวลต์ จากการทดสอบแสดงให้เห็นว่าระบบควบคุมที่นำเสนอได้สามารถเรียนรู้ได้ระดับหนึ่ง โดยประสิทธิภาพของระบบที่ควบคุมแรงดันเป็นที่น่าพอใจทั้งในด้านผลตอบสนองต่อสัญญาณอ้างอิงและผลตอบสนองต่อการรับกวนจากภายนอก แต่ประสิทธิภาพของระบบที่ควบคุมความถี่ไม่เป็นที่น่าพอใจ เนื่องจากมีปัญหาในทางวงจรตรวจขับความถี่ และปัญหาทางด้านการทำงานหลายอย่างในเวลาเดียวกัน

1.2.2 การใช้เครื่องควบคุมแบบฟิชช์ล็อกิกในหน่วยผลิตไฟฟ้า (Kristjansson, et al., 1995: 329-335) งานวิจัยนี้เป็นการประยุกต์ใช้เครื่องควบคุมแบบฟิชช์ล็อกิกมาเพิ่มเติมยังภาคของระบบไฟฟ้ากำลัง โดยมีการใช้ฟิชช์ล็อกิกไปควบคุมแรงดัน 120 โวลต์และความถี่ 60 เฮิรตซ์ของเครื่องгенเนอเรเตอร์กระแสลับให้คงที่ โดยในระบบจะประกอบด้วย มอเตอร์กระแสตรง ซึ่งใช้เป็นตัวขับ (Prime mover) ของ Hampden DM-100 DC เครื่องгенเนอเรเตอร์กระแสลับ (AC-generator) ของ Hampden SM-100-3 เครื่องควบคุมแบบฟิชช์ล็อกิก (Fuzzy Logic Controller , FLC) ซึ่งเป็นหัวใจหลักของระบบ โดยใช้ภาษาซีในการเขียน เป็นตัวตัดสินใจโดยจะมีการรับตัวแปรเข้าสองตัวผ่านวงจรเปล่งสัญญาณอนาคตอกรีบดิจิตอล คือความถี่และแรงดัน แล้วทำการประมวลผลแบบฟิชช์ล็อกิกเพื่อนำไปหาตัวแปรอุดต้องตัว คือ แรงดันที่ตกลงร่วมของคลาดstanan และกระแส shunt แล้วส่งผ่านวงจรเปล่งดิจิตอลเป็นอนาคตอกรีบยังมอเตอร์กระแสตรงและเครื่องгенเนอเรเตอร์กระแสลับ ซึ่งในการทดลองได้มีการรับกวนระบบ โดยมีการเพิ่มภาระให้แก่เครื่องgenneoเรเตอร์กระแสลับ แล้วมีการเปรียบเทียบความละเอียดของวงจรเปล่งอนาคตอกรีบดิจิตอล และดิจิตอลเป็นอนาคตอกรีบ ซึ่งมีขนาด 8 บิต และ 12 บิต ตามลำดับ จากผลที่ได้จะเห็นว่ามีการเปลี่ยนแปลงทั้งความถี่และแรงดัน ณ สถานะคงตัว ที่ความละเอียด 12 บิต จะน้อยกว่าการเปลี่ยนแปลงที่ความละเอียด 8 บิต ผู้จัดได้สรุปว่าการประยุกต์ใช้ฟิชช์ล็อกิกในหน่วยผลิตไฟฟ้าของระบบไฟฟ้ากำลังมีประสิทธิภาพสูง

1.2.3 เครื่องควบคุมแบบฟิชช์ล็อกิกสำหรับเครื่องгенเนอเรเตอร์ ( อรวรรณ จิราลัย, 2540) งานวิจัยนี้เกี่ยวข้องกับการออกแบบและการสร้างเครื่องควบคุมแบบฟิชช์ล็อกิกเพื่อควบคุมแรงดันของเครื่องgenneoเรเตอร์ให้คงที่ เครื่องgenneoเรเตอร์ที่ใช้ในการทดลองมีกำลังผลิต 2 กิโลโวลต์ แอมป์ร์ ซึ่งสามารถปรับแรงดันอ้างอิงได้ตั้งแต่ 220 - 230 โวลต์ โดยในส่วนของเครื่อง genneo เรเตอร์ แรงดันจะอยู่ที่ 220 โวลต์ แรงดันจะปรับตัวตามความต้องการของวงจรเปล่งสัญญาณอนาคตอกรีบดิจิตอล วงจรเปล่งสัญญาณดิจิตอลเป็นอนาคตอกรีบ วงจรสร้างสัญญาณทริกเกอร์ซีอาร์ วงจรสวิตซ์ชิ่งอัลติจิอาร์ และจอยแสดงผลแอลซีดี ส่วนซอฟท์แวร์จะเป็นโปรแกรมประมวลผลแบบฟิชช์ล็อกิกที่เขียนด้วยโปรแกรมภาษาซี โดยมีการรักษาแรงดันแรงตันให้มีค่าอนุญาตว่าหรือเท่ากับ  $\pm 10$  เมอร์เซ่นต์

สำหรับงานวิจัยนี้มีหลักการทำงานคล้ายกับหลักการทำงานของเอกสาร 1.2.1 และ 1.2.2 กล่าวคือ ใช้อุปกรณ์ที่มีอยู่ที่ทำงานบนคอมพิวเตอร์ ควบคุมชุดคอมมูนิเคชันกระแสตรงและเครื่องgenneoเรเตอร์กระแสลับด้วยตัวควบคุมแบบฟิชช์ล็อกิกเพื่อให้ไฟฟ้าที่ผลิตได้มีค่าความถี่และแรงดันตามที่ต้องการ แต่มีข้อแตกต่างจากเอกสาร 1.2.1 คือ

1. ใช้ทฤษฎีฟิชช์ล็อกิกที่ไม่ได้ใช้ฟิชช์ล็อกิกที่เรียนรู้ได้ด้วยตัวเอง
2. แก้ไขปัญหาในการรักษาความถี่

ส่วนข้อแตกต่างจากเอกสาร 1.2.2 คือการมีป้าหมายให้ค่าความถี่และแรงดันเข้าสู่ค่าอ้างอิง เร็วที่สุด แต่ไม่ได้ต้องการเปรียบเทียบว่าความละเอียดของชาร์เปลงอนาคตเป็นดิจิตอลและ ดิจิตอลเป็นอนาคตมีผลต่อความถี่และแรงดันของไฟฟ้าที่ผลิตอย่างไร

และ มีความแตกต่างจากเอกสาร 1.2.3 คือ

1.ใช้ซอฟท์แวร์ทำงานบนคอมพิวเตอร์ ไม่ได้ใช้ในโทรศัพท์มือถือ

2. นอกเหนือจากการควบคุมแรงดันแล้วซึ่งควบคุมความถี่คัวม

### 1.3 วัตถุประสงค์

1.3.1 ควบคุมมอเตอร์กระแสตรงและเครื่องгенเนอเรเตอร์กระแสสลับด้วยวิธีฟิล์เตอร์

1.3.2 เพื่อศึกษาและพัฒนาโปรแกรมคอมพิวเตอร์สำหรับการควบคุมเครื่องจักรกลไฟฟ้าที่ทำ งานหลายอย่างในเวลาเดียวกันได้( multi-tasking Operation) นอกจากนี้ยังสามารถเปลี่ยนแปลงค่า พารามิเตอร์ต่างๆ ได้ เช่น โถงกับผู้ใช้ได้ง่าย มีประสิทธิภาพ และมีลักษณะการควบคุมในเวลา จริง(real-time processing)

1.3.3 เพื่อส่งเสริมให้มีการศึกษาและนำไปใช้ลอกิกไปประยุกต์ใช้ในงานอื่น

## บทที่ 2

### ทฤษฎีและหลักการความคุณโดยใช้ฟังช์ล็อกิก

#### 2.1 แนวคิดพื้นฐานของฟังช์ล็อกิก

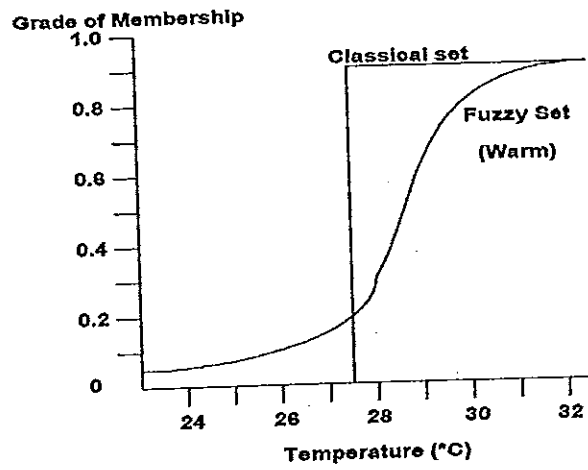
เมื่อปีค.ศ. 1965 นายล็อตฟี ชาเดห์ (Lotfi Zadeh) แห่งมหาวิทยาลัยแคลิฟอร์เนีย เบิร์กเล่ย์ ได้เสนอแนวความคิดเกี่ยวกับตรรกศาสตร์รูปแบบใหม่ที่มีลักษณะสอดคล้องกับการให้เหตุผลของมนุษย์ที่มีลักษณะคุณเครื่องในเชิงปริมาณ(quantitative) เช่น หากมีคำถานว่า “รู้สึกอ่อนหรือหนา” คำตอนที่อยากตอบอาจเป็นร้อนไม่มาก หรือกำลังดี หรือคำถานที่ว่า “สีที่เห็นเป็นสีอะไร (สมนูญว่าเป็นสีเทา) เป็นสีขาวหรือดำ คำตอบที่อยากตอบอาจไม่ใช่ทั้งขาวและดำ เพราะจะเป็นคำตอบที่ซัดเจน ก็ต้องไปดึงนั้นจะเห็นได้ว่า ในหลายกรณี มนุษย์เรามีลักษณะการใช้ตรรกศาสตร์แบบนี้นำหน้า คือ มีการให้ระดับความเป็นไปได้ของตระกร ว่ามีลักษณะเข่นนั้นมาก ปานกลางหรือน้อย ซึ่งยกแก่การที่จะกำหนดให้ซัดเจนว่ามีกระดับ ทั้งนี้เนื่องจาก การประเมินความรู้สึกของมนุษย์เราเป็นไปในเชิงคุณภาพ(qualitative) ทำให้มีความคุณเครื่องมีอ่านมาพิจารณาในเชิงปริมาณ ซึ่งตรรกศาสตร์ที่เราคุ้นเคยนั้นนี้เพียง 2 คำตอบเท่านั้น คือ จริง-เท็จ, คำ-ขาว, 0-1 หรือในลักษณะเดียวกันนี้ โดยที่จะคิดตอนมีลักษณะเป็นคริซปเซต(Crisp Set) ทำให้การนำตรรกศาสตร์แบบดั้งเดิมมาประยุกต์ใช้คุณวิธี จึงจำต้องซ้อมควร ดังนั้นแนวคิดตรรกศาสตร์รูปใหม่ที่นำเสนอันนี้ จึงเปิดโอกาสให้คำตอบของตรรกมีนำหน้ากอยู่ในระดับใดก็ได้ ระหว่าง 2 คำตอบของตรรกศาสตร์เดิม เช่นของสมาชิกในตรรกศาสตร์รูปใหม่นี้ จึงเป็นเขตของจำนวนจริงที่มีค่าอยู่ในช่วง[0,1] เป็นฟังช์เซต แทนที่จะมีสมาชิกเพียง 2 ตัวคือ 0 กับ 1 ดังเช่นตรรกศาสตร์ที่เราคุ้นเคยกัน ดังตัวอย่างในภาพประกอบ 2.1 เรียกตรรกศาสตร์รูปใหม่นี้ว่า ฟังช์ล็อกิก โดยนิยามค่าระดับหรือนำหนักระดับความเป็นไปได้นี้ว่า ระดับ การเป็นสมาชิก และเรียกฟังก์ชันเชิงตรรกที่กำหนดค่าระดับการเป็นสมาชิกของตัวแปรหนึ่งๆว่า พังก์ชันการเป็นสมาชิก(membership Function) โดยฟังก์ชันการเป็นสมาชิกของฟังช์เซต A แทนด้วยตัวลักษณ์ที่อยู่ภายใต้ชื่อ X มีค่าทางคณิตศาสตร์อยู่ภายในช่วงตั้งแต่ 0 ถึง 1 เรียกว่ารูปแบบได้ดังนี้

$$m_A(x) : x \rightarrow [0,1]$$

หมายความว่า ระดับการเป็นสมาชิกของ x ในฟังช์เซต A อยู่ในช่วงทั้งหมดจาก 0 ถึง 1

โดย 0 หมายถึง ไม่เป็นสมาชิกเลย

1 หมายถึง เป็นสมาชิกอย่างสมบูรณ์



ภาพประกอบ 2.1 แสดงลักษณะที่ชี้บ่งชัดและพิชชีชี้ขาดของอุณหภูมิที่รู้สึกว่าอุ่น

จุดประสงค์หลักของพิชชีล็อกิก คือ การกำหนดเงื่อนไขและรูปแบบการคำนวณของระบบรวมทั้งเทคนิคของการหาคำตอบซึ่งจะเป็นค่าประมาณมากกว่าค่าที่ถูกต้องแม่นยำ

ซึ่งสิ่งหนึ่งที่ต้องดูคือการใช้ทฤษฎีพิชชีชี้ขาดแทนทฤษฎีชี้ขาดแบบเดิมคือ นิพจน์เชิงคุณภาพ(Qualitative Expression) เช่น เด็กมาก, ค่อนข้างใหญ่ มีลักษณะคุณค่ารือคุณภาพของมนุษย์ (มนase สัทธิวนิชพันธ์, 2540)

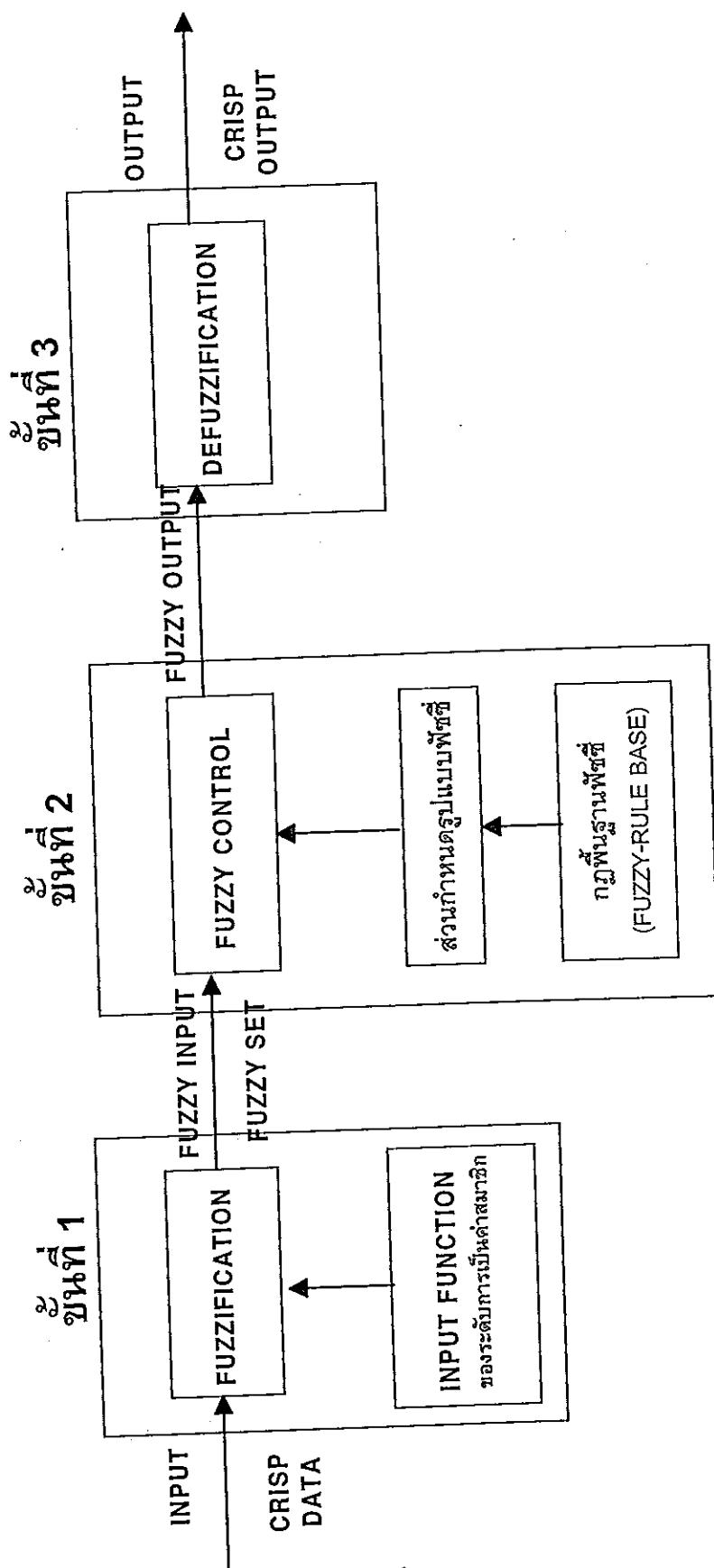
นอกจากนี้การคำนวณการเชิงตรรกของพิชชีล็อกิกมีลักษณะเช่นเดียวกับในทฤษฎีชี้ขาดแบบเดิม โดยการคำนวณการพิชชานี้ เราให้นมเป็นอย่างไร ได้แก่ ยูเนียน(union), อินเตอร์เซกชัน(intersection) และคอมพลีเมนต์(complement)

## 2.2 ทฤษฎีการควบคุมแบบพิชชีล็อกิก

ระบบควบคุมแบบพิชชีล็อกิก (Fuzzy Logic Control System) คือ ระบบกฎพื้นฐานอันเป็นกฎพิชชี(Fuzzy rules) ที่สามารถแทนส่วนที่ใช้แทนการตัดสินใจทางกล (human mechanical) เพื่อให้ได้คำตอบที่แน่นอนของระบบ จุดประสงค์หลักของระบบควบคุมแบบพิชชีล็อกิกคือ ใช้แทนส่วนปฏิบัติการทำงานมนุษย์ (human operator) ด้วยกฎพื้นฐานของพิชชี (Fuzzy Rule-Based System)

โดยทั่วไประบบควบคุมพิชชีล็อกิกจะมีส่วนประกอบ 3 ส่วน ดังภาพประกอบ 2.2 คือ

- ส่วนที่ 1 เรียกว่า พิชชิฟิเคชัน (Fuzzification) ทำหน้าที่แปลงข้อมูลที่รับเข้ามาจากระบบควบคุมซึ่งเป็นค่าข้อมูลอินพุต(มักจะเรียกว่า ข้อมูลคริชป์ :Crisp Data) ให้เป็นอินพุตของระบบควบคุมแบบพิชชี (Fuzzy Input) คือมีความหมายเดียวกับระบบพิชชี ซึ่งจะอยู่ในรูปแบบของค่าความเป็นสมาชิก (grade of membership) ในรูปของพิชชีชี้ขาด (Fuzzy set)



กระบวนการ控制กลไกที่ 2.2 เมื่อผู้ใช้งานต้องการให้ประมวลผลโดย

- ส่วนที่ 2 ในพิชชีเซตเมื่อข้อมูลอินพุตผ่านส่วนที่ 1 แล้วจะเข้าสู่ส่วนของการประมวลผล ซึ่งจะมีการตีความและวิเคราะห์อินพุตตามเงื่อนไขที่ได้มีการกำหนดไว้ หรือเข้าสู่กฎพื้นฐานของพิชชี (Fuzzy-Rule Base) ระบบความคุณแบบพิชชีจะเป็นตามแบบของการป้อนกลับ ด้วยเหตุนี้ การป้อนกลับในระบบพิชชีจะเกิดขึ้นในส่วนกฎพื้นฐานนี้เอง

- ส่วนที่ 3 เป็นส่วนสุดท้าย เรียกว่า ดิฟซซิฟิเคชัน (Defuzzification) โดยผลของการเข้ากฎพื้นฐานพิชชี จะถูกแปลงกลับไปเป็นค่าเอต์พุตจริงหรือข้อมูลคริทิปซี ซึ่งเป็นขั้นตอนที่ทำการเปรียบเทียบเอต์พุตพิชชี (Fuzzy Output) ทั้งหมดเข้ากับผลลัพธ์รวม ปัจจุบันนิยมใช้วิธีหาศูนย์กลางพื้นที่ (Center Of Area :COA) เช่น วิธีการหาจุด重心(Centroid, Center of Gravity) เพราะสามารถถ่วงน้ำหนักของเอต์พุตพิชชีของแต่ละกฎได้อย่างทั่วถึง ได้ค่าเอต์พุตอันเป็นค่าโดยประมาณของระบบการทำงานจริง

สิ่งที่ได้กล่าวข้างต้นคือทฤษฎีการความคุณแบบพิชชีลอกิจ การสร้างความสัมพันธ์แบบพิชชี(Fuzzy Relations) เป็นไปในลักษณะ IF.....THEN ประกอบด้วยส่วนสำคัญ 2 ส่วนคือ ส่วนที่เกิดขึ้นก่อน (Antecedent, If part) และผลที่ตามมา(Consequent, then part) หรือทั้งนี้มีฟังก์ชันการเป็นสมาชิก(Membership Function) ของแต่ละส่วน ผลที่ตามมาของแต่ละกฎจะถูกรวบกันด้วยวิธีการทางคณิตศาสตร์ เช่น บูตเนียน และการหาจุด重心หรือ Centroid เพื่อให้ได้ค่าเอต์พุตจริงเพียงค่าเดียว (ค่าตระรकศาสตร์ในช่วงตั้งแต่ 0 ถึง 1 ) ภายในการครอบการทำงานของระบบผู้เข้ากระบวนการฯ จะมีการสร้างกฎแต่ละข้อ ซึ่งได้มาจากการรู้และประสบการณ์ของการปฏิบัติการทำงานนุ่มนวล เช่น

“ IF the temperature is Hot

THEN decrease the Current to a Medium level ”

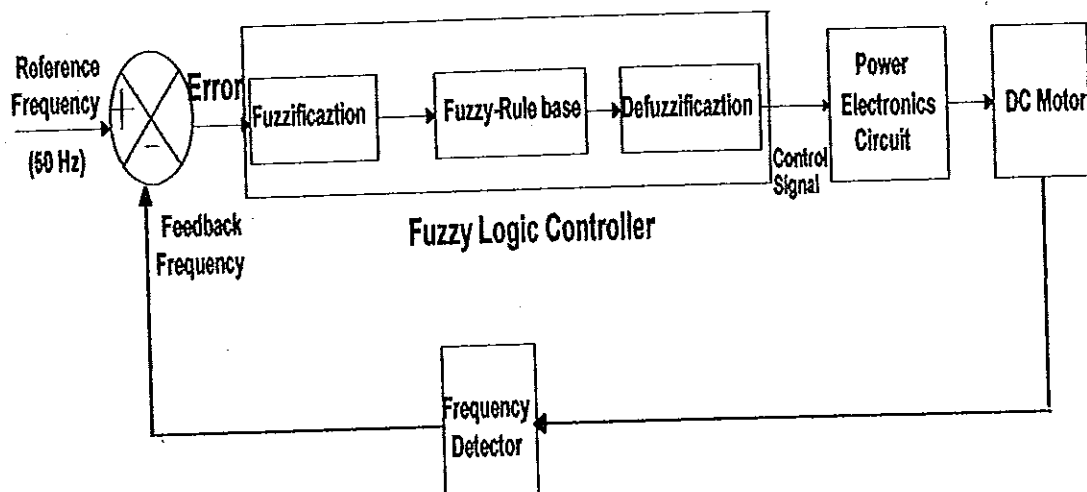
จากกฎข้อนี้ Hot และ Medium เป็นตัวแปรพิชชี สามารถที่จะเปลี่ยนภาษา成มุนย์ ให้อยู่ในรูปแบบภาษาคอมพิวเตอร์ ได้แก่คือ

“ IF ( A is A1 and B is B1 and C is C1 and D is D1 )

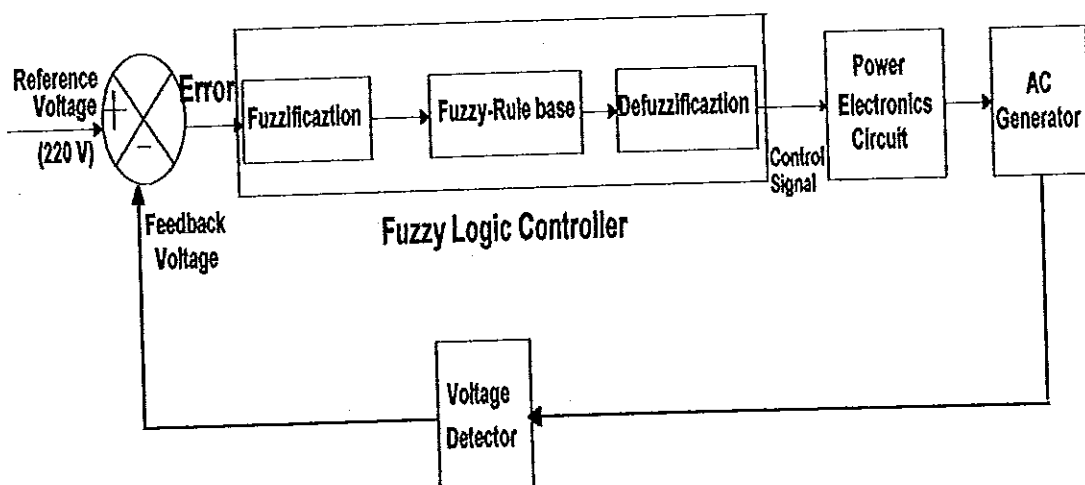
THEN ( E is E1 and F is F1 )

จากหลักการทฤษฎีการความคุณแบบพิชชีลอกิจที่กล่าวมาข้างต้น ได้นำมาประยุกต์ใช้ในงานวิจัยนี้ โดยทำการความคุณทั้งหมดของไฟฟ้ากระแสตรงซึ่งทำหน้าที่เป็นตัวขับ(Prime mover) และความคุณเครื่องจักรซิง โครนัส ซึ่งทำหน้าที่เป็นเครื่อง Jenenne เอเตอร์กระแสสลับ(AC Generator) โดยจะต้องความคุณของเอเตอร์กระแสตรงให้ได้ความเร็วที่ซิง โครนัส ที่ 1500 รอบ/นาที เพื่อให้ไฟฟ้าที่ผลิตได้เท่ากับ 50 เฮิรตซ์ ในขณะเดียวกันก็ต้องความคุณขนาดของกระแสกระแสตื้นของเครื่อง

เงินเน昂เรเตอร์กระແສສลັນເພື່ອໃກ້ແຮງດັນໄຟຟ້າທີ່ຜົດໄດ້ມີບຸນາດເທິງກັບ 220 ໂວລຕ໌ ດັ່ງແສດງຄາມການປະກອບ 2.3 ແລະ 2.4 ຕາມລຳດັບ



ກາບປະກອບ 2.3 ໂຄງສ້າງການທຳງານຂອງຕົວຄວນຄຸນແບບພຶ້ມ່ວນຈີກໃນການ  
ຄວນຄຸນຄວາມເຮັດວຽກຂອງເຫຼືອຮ່ວມກະສົງ



ກາບປະກອບ 2.4 ໂຄງສ້າງການທຳງານຂອງຕົວຄວນຄຸນແບບພຶ້ມ່ວນຈີກໃນການຄວນຄຸນ  
ແຮງດັນຄຣີອງເງັນເນອເຫຼືອຮ່ວມກະສົງ

ຈາກກາບປະກອບ 2.3 ແລະ 2.4 ມີການຮັບຄໍາຄວາມຄືແລະແຮງດັນຂອງໄຟຟ້າທີ່ຜົດໄດ້ ພັດຈາກ  
ນັ້ນກີ່ເຂົ້າສູ່ຖານຍົກເລີກຄວນຄຸນແບບພຶ້ມ່ວນຈີກ ຜົ່ງແມ່ງເປັນ 3 ສ່ວນດັ່ງນີ້

1. ການພຶ້ມ່ວນຈີກເຄື່ອນໄຫວ ທາອິນພຸດພຶ້ມ່ວນຈີກທີ່ຄື່ອງຄໍາຄວາມຜົດພາດ(Error) ໂດຍຫາໄດ້ຈາກຄວາມຄືແລະ  
ແຮງດັນຂອງໄຟຟ້າທີ່ຜົດນາເບີຍເທິງກັນຄໍາຄວາມຄື ແລະແຮງດັນຫ້າງອີງ

2. การเข้าสู่กฎหมายของพืชซึ่ง เป็นหัวใจหลักของการควบคุม เปรียบเสมือนการตัดสินใจของมนุษย์ ซึ่งจะมีการตีความและวิเคราะห์อินพุตตามเงื่อนไขที่ได้มีการทำหนดไว้

3. การตีพิพารณ์ เนื่องจากในแต่ละอินพุตจะได้คำເອົາຕໍ່ພູດພື້ນທີ່ອອກมาหากายคໍາ เราจึงต้องหาคໍາที่ແມ່ນตรงເພີຍຄໍາເຄີຍເພື່ອໃຫ້ໄດ້ຄໍາຂອງເອົາຕໍ່ພູດທີ່ແທ້ງຮັງຂອງຕົວຄວບຄຸມພື້ນທີ່ລົດຈິກ ซึ่งจะໃຊ້ກຽມວິທີການหาຄໍາສູນຍົກລາງເພື່ອหาຄໍາເຫັນທຣອຍ໌ ເມື່ອໄດ້ຄໍາເອົາຕໍ່ພູດຮົງແລ້ວ นำຄໍາທີ່ໄດ້ໄປພິຈາລະຫາຄໍາສັງຄູາຄວບຄຸມທີ່ເໜາະສົມເພື່ອໃຫ້ໄພ້ພຳທີ່ພລິຕົມຄໍາຄວາມຄືແລະແຮງດັນເຂົ້າສູ່ຄໍາອ້າງອີງ

## บทที่ 3

### เครื่องจักรกลไฟฟ้าและหลักการควบคุม

ระบบควบคุมที่ใช้ในงานวิจัยนี้เป็นระบบการควบคุมการผลิตไฟฟ้า โดยทำการควบคุมที่สั่ง命令 เนื่องจากกระแสตรงซึ่งทำหน้าที่เป็นตัวขับ(prime mover) และควบคุมเครื่องจักรซิง โครงน้ำซึ่งทำหน้าที่เป็นเครื่องгенเนอเรเตอร์กระแสสลับ(AC Generator) โดยจะต้องควบคุมมอเตอร์กระแสตรงให้ได้ความเร็วที่ซิง โครงน้ำ ที่ 1500 รอบ/นาที เพื่อให้ไฟฟ้าที่ผลิตได้เท่ากับ 50 เฮิรตซ์ ในขณะเดียวกันก็ต้องควบคุมขนาดของกระแสกระแสตู้นุของเครื่องгенเนอเรเตอร์เพื่อให้แรงดันไฟฟ้าที่ผลิตได้มีขนาดเท่ากับ 220 โวลต์ ลังนั้นในบทนี้จะประกอบด้วยเนื้อหาที่เกี่ยวกับเครื่องจักรกลไฟฟ้าที่ใช้ในงานวิจัยนี้ และหลักการควบคุม

#### 3.1 เครื่องจักรกลไฟฟ้ากระแสตรง

เครื่องจักรกลไฟฟ้ากระแสตรงเป็นเครื่องจักรที่ทำหน้าที่แปลงรูปพลังงานระหว่างพัดลมไฟฟ้ากระแสตรงกับพัดลมงานกล โดยที่เครื่องจักรทำงานโดยการหมุนตัวหมุน เมื่อเครื่องจักรแปลงรูปพลังงานกลเป็นพัดลมงานไฟฟ้ากระแสตรงเรียกว่า เครื่องกำเนิดไฟฟ้ากระแสตรง (DC Generator) และถ้าเครื่องจักรแปลงพัดลมงานไฟฟ้ากระแสตรงเป็นพัดลมงานกล เรียกว่า มอเตอร์ไฟฟ้ากระแสตรง (DC Motor)

เครื่องจักรไฟฟ้ากระแสตรงมีชิ้นตอนมิวเตเตอร์ (Commutator) กับแปรงถ่าน (Carbon brush) ทำหน้าที่ในการจัดเรียงกระแสจากไฟฟ้ากระแสสลับในชุดลวดอาร์เมจเจอร์ (Armature coil) ให้เป็นไฟฟ้ากระแสตรงของจากตัวเครื่องจักรซึ่งเป็นแหล่งกำไรไฟกระแสตรง แต่เมื่อศักดาไฟฟ้าที่ขึ้นมาค่าสูงกว่าศักดาไฟฟ้าที่เกิดขึ้นภายในจะทำให้กระแสไฟ流จากภายนอกเข้าสู่ตัวเครื่องจักรซึ่งชิ้นตอนมิวเตเตอร์จะทำหน้าที่จัดเรียงกระแสที่อยู่ภายในให้ขึ้นมาแล้วเหลือที่แตกต่างกันก็จะมีกระแสไหลตรงข้ามทำให้เกิดแรงบิดเสริมกัน ซึ่งเห็นได้ว่าเครื่องจักรไฟฟ้ากระแสตรงตัวหนึ่งสามารถดำเนินการได้

ถูกค้นของเครื่องจักรกลไฟฟ้ากระแสตรงคือการทำงานอยู่ในตำแหน่งบูรณาการที่ต้องการ ให้เหล็กจากขึ้นมาแล้วเหล็ก กับสนามแม่เหล็กจากอาร์เมจเจอร์ทำงานกัน 90 องศา ซึ่งเครื่องจักรไฟฟ้ากระแสสลับโดยทั่วไปไม่สามารถทำงานที่ตำแหน่งนี้ได้ และมอเตอร์ไฟฟ้ากระแสตรงจะมีแรงบิดคงที่เริ่มน้อยลง

### 3.1.1 โครงสร้างของเครื่องจักรกลไฟฟ้ากระแสตรง

เครื่องจักรกลไฟฟ้ากระแสตรงประกอบไปด้วยส่วนสำคัญต่างๆ ดังนี้

- **เปลือกนอก(Yoke frame)** เป็นตัวบีบข้ามแม่เหล็กของตัวท่อญี่ปุ่นที่ พร้อมทั้งเป็นวงจรแม่เหล็กซึ่อมต่อระหว่างข้ามแม่เหล็ก นอกจากนี้เปลือกนอกยังทำหน้าที่เป็นตัวยึดสำหรับติดตั้งเครื่องจักร รวมถึงเป็นเปลือกฐาน(bearing) สำหรับเพลาตัวหมุน การทำเปลือกนอกทำได้โดยการใช้เหล็กหล่อหรือวิธีม้วนเหล็กแผ่นแล้วห่อมเป็นวง

- **ข้ามแม่เหล็ก(Pole)** เป็นส่วนที่ใช้สร้างสนามแม่เหล็กเพื่อทำให้เกิดการเหนี่ยวนำไฟฟ้า เมื่อหมุนตัวหมุน หรือเกิดแรงบิดเมื่อมีกระแสไฟ流ในอาร์เมเนเจอร์ โดยที่ข้ามแม่เหล็กประกอบไปด้วยแกนข้ามแม่เหล็ก(pole core) และ ชุดค่าสร้างสนามแม่เหล็ก (field winding)

- **อาร์เมเนเจอร์ (Armature)** เป็นส่วนที่เกิดการเหนี่ยวนำไฟฟ้า และเกิดแรงบิดจากสนามแม่เหล็ก โดยประกอบไปด้วยแกนอาร์เมเนเจอร์(armature core) เป็นแผ่นเหล็กบางๆ วางเรียงซ้อนกันเพื่อผลการเกิดกระแสไฟลุวน(eddy current) บนแกนของอาร์เมเนเจอร์จะมีร่องไว้สำหรับการพันชุดลวดเรียกว่าร่องสล็อต (slot) โดยร่องนี้จะไว้สำหรับพันชุดค่าอาร์เมเนเจอร์

- **คอมมิวเตเตอร์ (Commutator)** เป็นแท่งตัวนำ โดยปกติใช้เทงทองแดงวางแผนเรียงกันและมีชั้นกั้นกลางเพื่อป้องกันการลัดวงจรระหว่างแท่งทองแดง ตัวคอมมิวเตเตอร์จะใช้เป็นชุดต่อระหว่างชุดค่าอาร์เมเนเจอร์ และมีประแจต้านนาคบนคอมมิวเตเตอร์ เพื่อป้องไฟฟ้าเข้าไปในอาร์เมเนเจอร์ หรือจ่ายไฟออกมายังอาร์เมเนเจอร์ ดังนั้นคุณสมบัติของอุปกรณ์ที่นำมาทำเช่นคอมมิวเตเตอร์ต้องเป็นตัวนำที่ดี มีสัมประสิทธิ์ความเสียทานต่ำ เป็นตัวนำความร้อน และมีความสึกกร่อนต่อการเสียดสีน้อย หรือไม่สึกกร่อนเลยยิ่งดี

- **แปรงถ่าน (Carbon brush)** เป็นตัวนำไฟฟ้าที่ใช้ทำหน้าที่ต่อวงจรระหว่างชุดที่หยุดนิ่ง กับส่วนที่หมุนกีดีต่องส่วนที่เป็นชุดคอมมิวเตเตอร์ ตัวแปรงถ่านจะมีส่วนที่เป็นกราไฟท์(Graphite) และส่วนที่เป็นถ่านที่ต้องต่อตัวกันระหว่างไฟฟ้าได้ ช่องยึดแปรงถ่าน(brush holder) เป็นตัวยึดแปรงถ่านให้อยู่ในตำแหน่งที่ต้องการ คุณสมบัติของแปรงถ่านต้องเป็นตัวนำที่ดี มีสัมประสิทธิ์ความเสียทานต่ำ และต้องไม่แข็งจนเกินไปจนทำให้เกิดความเสียหายที่ชุดคอมมิวเตเตอร์

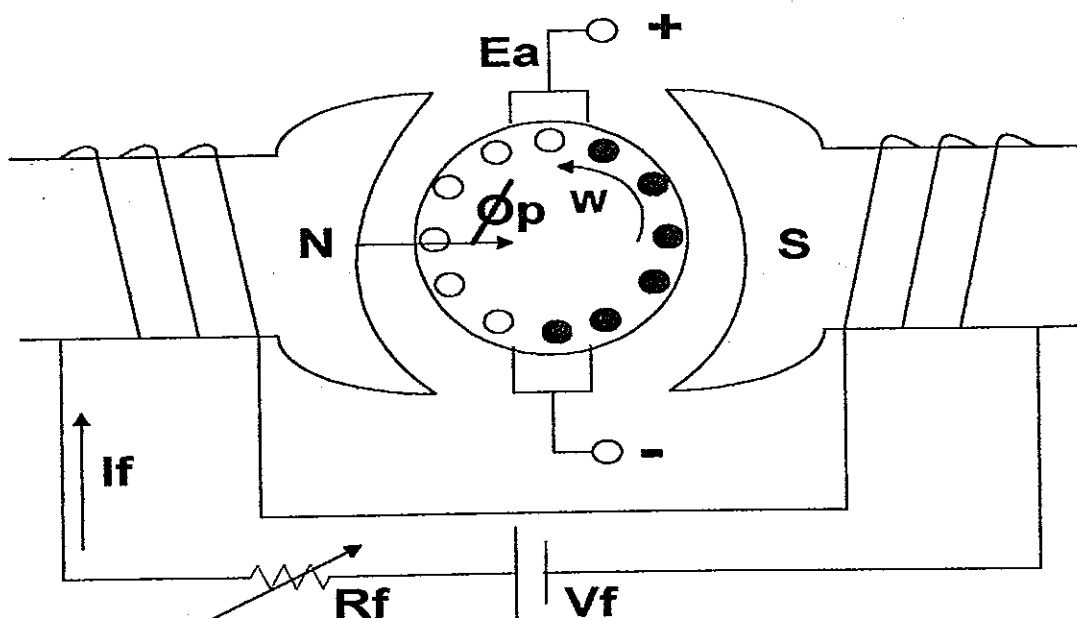
### 3.1.2 หลักการทำงานของเครื่องจักรกลไฟฟ้ากระแสตรง

เมื่อนำเครื่องจักรไฟฟ้ากระแสตรงมาทำหน้าที่เป็นเครื่องกำนันดไฟฟ้า โดยปกติแล้วการเหนี่ยวนำศักดาไฟฟ้านั้นขาด漉ที่อยู่บนตัวหมุน ซึ่งจะเกิดศักดาไฟฟ้าออกมานៅนลักษณะของไฟฟ้ากระแสสลับ โดยที่ต้องมีสนามแม่เหล็กอกรากข้ามแม่เหล็ก และแท่งตัวนำมีอคติอนที่ติดกับสนามแม่เหล็ก เนื่องจากแท่งตัวนำมีอคติอนที่ผ่านเข้า N จะมีทิศทางหนึ่งและมีอคติอนที่ผ่านเข้า S สนาม

แม่เหล็กจะกลับทิศทาง ดังนั้นขดลวดที่ใช้ในการพันในเครื่องจักรไฟฟ้าต้องมีด้านทิ้ง 2 ด้านอยู่ภายใต้ข้อแม่เหล็กตรงข้ามกัน เพื่อสักดาไฟฟ้าที่เกิดขึ้นในแต่ละด้านของขดลวดจะได้มีทิศเสริมกัน เมื่อนำมาปаяของขดลวดมาต่อเข้ากับวงแหวนคริจซิกของแต่ละด้าน แล้วนำแปรรูปตามกระบวนการ วงแหวนเพื่อต่อสักดาไฟฟ้ามาใช้งาน ปรากฏว่าสัญญาณที่ได้จะเหมือนผ่านวงจรเรียงกระแสแบบบริจจ์ (bridge rectifier) โดยเป็นกระแสตรง ดังนั้นเมื่อได้มีการพัฒนาระบบวงแหวนคริจซิกมาเป็นชีค่อนมิวเตอเรอร์แทน ส่วนที่เป็นชีค่อนมิวเตอเรอร์กับแปรรูปถูกเรียกว่าตัวเรียงกระแสทางกล(mechanical rectifier)

### 3.1.3 เครื่องจักรไฟฟ้ากระแสตรงแบบแยกขดลวดสร้างสนามแม่เหล็ก

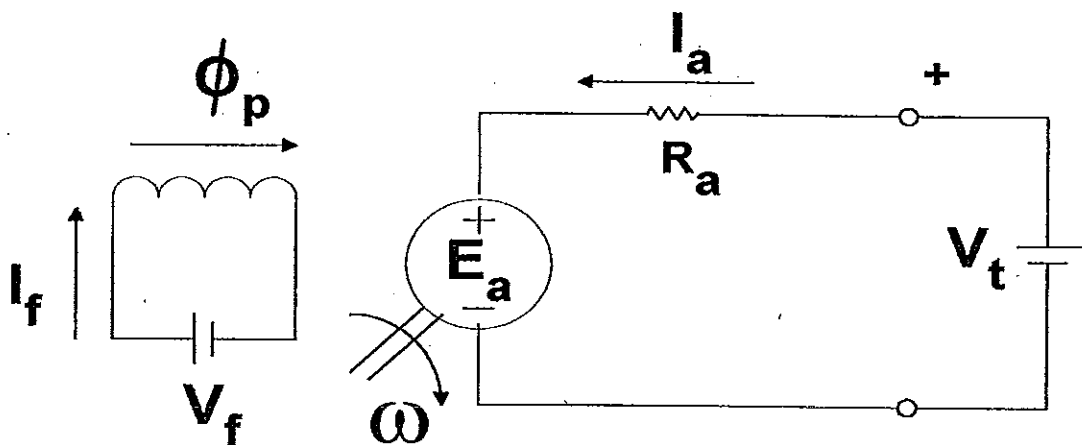
เครื่องจักรไฟฟ้ากระแสตรงที่มีวงจรของส่วนที่สร้างสนามแม่เหล็กแยกจากวงจรอาร์เมเจอร์ สามารถควบคุมกระแสของขดลวดสร้างสนามแม่เหล็กได้อย่างอิสระ ซึ่งจะมีผลถึงค่าเดินเร่งแม่เหล็กห่อข้อ (Φ<sub>p</sub>) โดยความสัมพันธ์ระหว่างกระแส(I<sub>f</sub>)กับเดินเร่งแม่เหล็กห่อข้อจะเป็นอยู่กับจำนวนรอบของขดลวดสร้างสนามแม่เหล็กกับความต้านทานของวงจรแม่เหล็ก ในการปรับค่ากระแส (I<sub>f</sub>) ทำได้โดยการปรับค่าความต้านทานที่ต่ออนุกรมเรียกว่า รีฟ์โอสเตต (thermostat) หรือปรับค่าสักดาไฟฟ้าป้อนเข้าขดลวดสร้างสนามแม่เหล็กโดยตรง ดังแสดงตามภาพประกอบ 3.1



ภาพประกอบ 3.1 แสดงเครื่องจักรไฟฟ้ากระแสตรงแบบแยกขดลวดสร้างสนามแม่เหล็ก

### 3.1.4 การควบคุมความเร็วของมอเตอร์กระแสตรงแบบแยกคลอดสวิทช์สำหรับสานามแม่เหล็ก

เมื่อนำเครื่องจักรกลไฟฟ้ากระแสตรงแบบแยกคลอดสวิทช์สำหรับสานามแม่เหล็กมาใช้งานในลักษณะของการเปลี่ยนรูปพลังงานไฟฟ้ากระแสตรงเป็นพลังงานกัด เราเรียกเครื่องจักรนี้ว่า มอเตอร์ไฟฟ้ากระแสตรงแบบแยกคลอดสวิทช์สำหรับสานามแม่เหล็ก ดังแสดงในภาพประกอบ 3.2



ภาพประกอบ 3.2 แสดงวงจรเรนีอนของมอเตอร์ไฟฟ้ากระแสตรงแบบแยกคลอดสวิทช์สำหรับสานามแม่เหล็ก

ขณะที่ทำงานเป็นมอเตอร์ ตัวค่าไฟฟ้าที่ข้าว(V)จะมีค่ามากกว่าแรงเดือนไฟฟ้าแม่เหล็กเห็นได้ชัด(E<sub>a</sub>) ดังนั้นพลังงานไฟฟ้าจะจ่ายออกมานานาจําลังจํายไฟฟ้าเข้าสู่คลอดอาร์เมเนเจอร์ โดยสามารถเขียนเป็นสมการได้ดังนี้

$$V_t = E_a + I_a R_a \quad \dots(3.1)$$

$$E_a = K_t \Phi_p \omega \quad \dots(3.2)$$

$$\text{ดังนั้น} \quad \omega = (V_t - I_a R_a) / (K_t \Phi_p) \quad \dots(3.3)$$

$K_t$  : เป็นค่าคงที่ของมอเตอร์

$I_a$  : กระแสที่ไหลในคลอดอาร์เมเนเจอร์

$R_a$  : ค่าความต้านทานของคลอดอาร์เมเนเจอร์

จะพบว่าความเร็วชิงมุน ( $\omega$ ) จะเปลี่ยนแปลงตามกระแส โดยมีอีกการมากขึ้น ค่ากระแสที่ไหลในคลอดอาร์เมเนเจอร์จะมากขึ้นทำให้ความเร็วของมอเตอร์ลดลง และในการควบคุมมอเตอร์

ไฟฟ้ากระแสตรงไม่ให้เดี่ยหานเนื่องจากกระแสเกินค่าที่พิกัดจึงจำเป็นต้องควบคุมให้กระแสที่ไฟล์เข้าข่ายความเร็ว เนื่องจากความเร็วต้องไม่เกินค่ากระแสที่พิกัด

มอเตอร์กระแสตรงแบบแยกคลาดสร้างสนามแม่เหล็กเป็นมอเตอร์ที่นิยมใช้งานในการขับเคลื่อนในอุตสาหกรรมและง่ายต่อการควบคุม ( พิชิต ถ่ายอัจ, 2540 ) รวมไปถึงช่วงในการควบคุมความเร็วจะกว้าง คือ เริ่มต้นแต่ความเร็วเฉลี่ยที่ศูนย์จนถึงความเร็วเฉลี่ยที่พิกัด ( $\omega_R = 1.0 \text{ p.u.}$ ) ซึ่งเรียกช่วงนี้ว่า ย่านแรงบิดคงที่ (constant torque) ส่วนอีกช่วงเริ่มต้นแต่ความเร็วเฉลี่ยที่พิกัด ( $\omega_R = 1.0 \text{ p.u.}$ ) จนถึงสองเท่าความเร็วเฉลี่ย ( $\omega_R = 2.0 \text{ p.u.}$ ) ซึ่งเรียกช่วงนี้ว่า ย่านกำลังคงที่ (constant power)

การควบคุมในงานวิจัยนี้ทำการควบคุมในย่านกำลังคงที่ เนื่องจาก การควบคุมความเร็วในย่านแรงบิดคงที่ ต้องป้อนกระแสเข้าข่ายความเร็วของสร้างสนามแม่เหล็กเป็นค่าที่พิกัด ซึ่งมีผลทำให้ค่าเดินแรงแม่เหล็กต่อข้าว ( $\Phi_p$ ) เป็นค่าที่พิกัดและมีค่าคงที่ตลอดการควบคุม โดยการเพิ่มหรือลดความเร็ว ทำได้โดยการเพิ่มหรือลดศักดาไฟฟ้าที่ป้อนเข้าข้าวาร์เมเนอร์ ( $V$ ) ซึ่งกระแสที่ไฟล์เข้าข้าวาร์เมเนอร์ เมื่อรับกระแสเพิ่มที่มีค่าประมาณ 20 แอมป์ ทำให้หากต่อการหาอุปกรณ์ที่สามารถทนกระแสไฟได้มาก ราคาสูง และง่ายต่อการเกิดความเสียหาย ดังนั้นจึงเลือกการควบคุมในย่านกำลังคงที่ กล่าวคือ การควบคุมความเร็วของมอเตอร์ไฟฟ้ากระแสตรงแบบแยกคลาดสร้างสนามแม่เหล็กจะมีค่ากระแสคงที่ไฟฟ้าที่ป้อนเข้าข่ายความเร็วของสร้างสนามแม่เหล็ก ทำให้เกิดการเพิ่มหรือลดเดินแรงแม่เหล็กต่อข้าว ( $\Phi_p$ ) โดยป้อนแรงดันเข้าข้าวาร์เมเนอร์ค่าคงที่ที่พิกัด

สรุปได้ว่าการควบคุมความเร็วของมอเตอร์กระแสตรง สามารถทำได้โดยการควบคุมศักดาไฟฟ้าที่ป้อนเข้าข่ายความเร็วของสร้างสนามแม่เหล็ก

### 3.2 เครื่อง Jenenne เอเตอร์กระแสสัม�ันธ์

เครื่อง Jenenne เอเตอร์ที่นำมาทดลองเป็นประเภทซิงโกรนัส (Synchronous Generator) ซึ่งใช้กันอย่างกว้างขวางในงานอุตสาหกรรม

#### 3.2.1 โครงสร้างการทำงานของ Jenenne เอเตอร์

Jenenne เอเตอร์ที่ใช้โดยทั่วไปเป็นแบบไม่มีแปรงถ่าน (Brushless) โดยจะมีส่วนประกอบใหญ่ๆ แบ่งออกเป็น 4 ส่วน คือ

##### 1. ส่วนกระตุ้น (Exciter) จะประกอบด้วย

- Exciter Field Winding ซึ่งเป็นชุดคลาดที่ทำให้เกิดสนามแม่เหล็กเหนี่ยวนำเมื่อถูกกระแสคุ้นคัวกระแสไฟฟ้าตรงโดยจะติดอยู่กับส่วนที่อยู่กับที่

- Exciter Armature Winding ซึ่งเป็นชุดขดลวดที่ทำให้เกิดกระแสไฟฟ้าเหนี่ยวนำเข้า โดยเป็นส่วนที่ติดกับเพลา และหมุนไปพร้อมกับเพลา กระแสไฟฟ้าที่เกิดขึ้นใน Exciter Armature Winding จะเป็นกระแสไฟฟ้าสลับ 3 เฟส

2. Rotating Rectifier เป็นชุดที่ติดกับเพลาจึงหมุนไปตามเพลา มีหน้าที่แปลงกระแสไฟฟ้า สลับที่เกิดจาก Exciter Armature Winding ให้เป็นกระแสไฟฟ้าตรง เพื่อที่ป้อนให้กับ Field Winding ของ Generator ต่อไป

3. Main Generator กือ ส่วนที่เป็นตัวผลิตกระแสไฟฟ้าออกมานั้น เพื่อนำไปใช้งานจริง ซึ่งจะประกอบด้วย

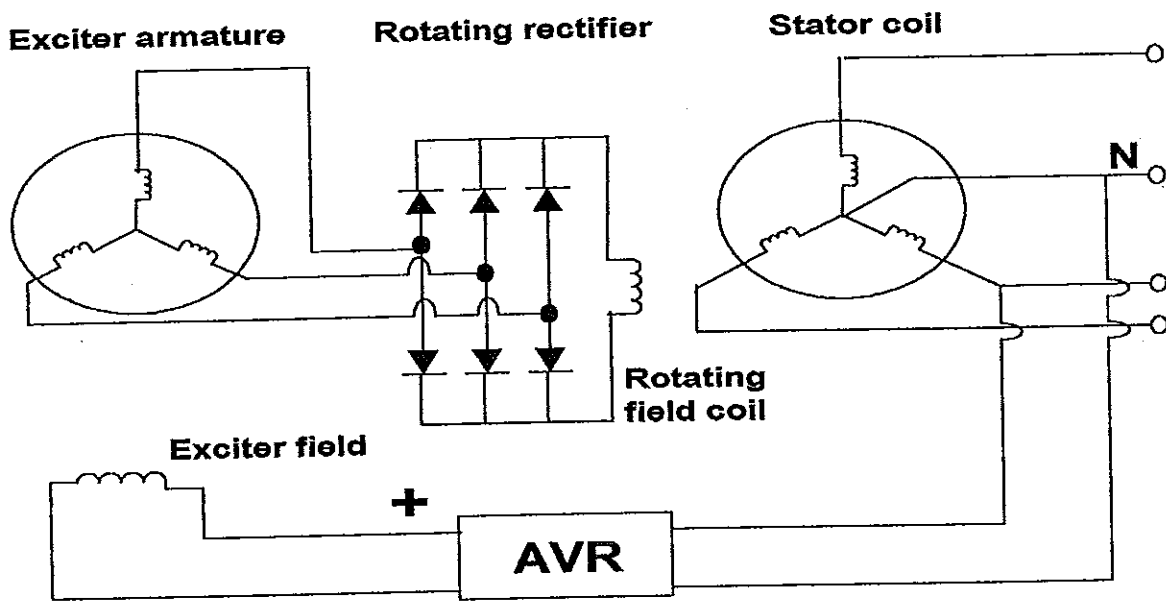
- Rotating Field Winding เป็นชุดขดลวดที่พันด้าน rotor รอบแกนเหล็กที่ติดเพลา ทำให้เหล็กถูกขยายเป็นแม่เหล็กไฟฟ้าเหนี่ยวนำ กระแสไฟฟ้าที่ป้อนเข้าที่ขดลวดนี้จะเป็นกระแสตรงที่มาจาก Rotating Rectifier

- Stator Armature Winding เป็นชุดขดลวดซึ่งพันกระจายลงในร่องค้านในของสเตเตอร์ ทำให้เกิดกระแสไฟฟ้าเหนี่ยวนำเข้า และจะนำกระแสไฟฟ้าออกไปใช้งาน

4. Voltage Regulator ( Voltage Control Unit ) เป็นชุดควบคุมแรงดันให้คงที่ จะทำงานโดยการนำเอากระแสสลับที่เกิดขึ้นจาก Stator Winding มาแปลงเป็นกระแสไฟฟ้าตรงแล้วจ่ายให้กับ Exciter Field Winding โดยปริมาณกระแสไฟฟ้าตรงนี้จะถูกบังคับให้มีปริมาณมากหรือน้อยขึ้นกับกระแสไฟฟ้าที่มาจากการ Stator Winding ชุดควบคุมแรงดันนี้มีส่วนสำคัญมากที่จะกำหนดกระแสไฟฟ้าให้ได้ตามคุณสมบัติของยูปกรณ์ไฟฟ้าที่ต้องการใช้งาน

### 3.2.2 หลักการทำงานของ Jenenne เอเรเตอร์

เมื่อทำให้โรเตอร์ของ Jenenne เอเรเตอร์หมุน โดยอาศัยตัวตันกำลังในการขับจะทำให้ Exciter Field Winding ตัดกับสนามแม่เหล็กที่เหลืออยู่ (residual flux) ดังนั้นจะเกิดการเหนี่ยวนำเข้าที่ Exciter Armature Winding มีกระแสไฟฟ้าสลับไหลและจะถูกเปลี่ยนให้เป็นกระแสไฟฟ้าตรงโดย Rotating Rectifier กระแสไฟฟ้าตรงจะไหลเข้า field winding ของ Main Generator และจะสร้างสนามแม่เหล็กขึ้น ประกอบกับการหมุนของโรเตอร์ ซึ่งจะตัดกับชุดขดลวด Armature ของ Main Generator เกิดการเหนี่ยวนำทำให้เกิดแรงดันไฟฟ้าขึ้น และแรงดันไฟฟ้านี้จะส่งผ่านไปยังวงจร AVR ( Automatic Voltage Regulator ) ซึ่งทำหน้าที่ควบคุมปริมาณกระแสไฟฟ้าที่จะป้อนให้ชุดขดลวด Exciter Field Winding ต่อไป ดังแสดงความภาพประกอบ 3.3



ภาพประกอบ 3.3 แสดงระบบควบคุมการทำงานของเกนเนอเรเตอร์โดยใช้ AVR

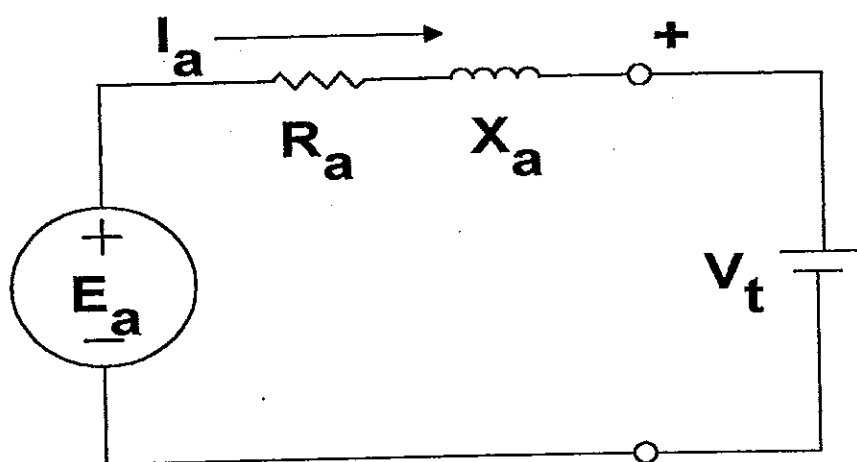
### 3.2.3 การควบคุมแรงดันของเครื่องเกนเนอเรเตอร์

สำหรับในการควบคุมแรงดันของเครื่องเกนเนอเรเตอร์นั้นเราสามารถทำได้โดยการควบคุมขนาดแรงดันที่ขึ้นชี้พิจารณาจากสมการแรงดันที่ข้าง

$$V_t = E_a - I_a(R_a + jX_a) \quad \dots(3.4)$$

$R_a$  : ค่าความต้านทานของขดลวดอาเมเจอร์

$X_a$  : ค่าความเหนี่ยวนำของขดลวดอาเมเจอร์



ภาพประกอบ 3.4 แสดงวงจรสมมูลของเครื่องเกนเนอเรเตอร์

จะเห็นว่าขนาดแรงดันที่ขึ้น ( $V_t$ ) จะมีค่าเปรียบเท่าแรงดันกำเนิด ( $E_s$ ) และกระแสอาร์เมเนอร์ ( $I_s$ ) ซึ่งกระแสอาร์เมเนอร์จะมีค่าเปรียบเท่าแรงดันกำเนิด ( $E_s$ ) ดังนั้นหากต้องการควบคุมแรงดันที่ขึ้นให้ทำได้โดยการควบคุมแรงดันกำเนิด

นอกจากนี้แรงดันกำเนิดจะมีค่าเปรียบเท่าความเร็วรอบของโรเตอร์ ( $\omega$ ) และกระแสกระแสตุ้น ( $I_f$ ) ดังสมการ

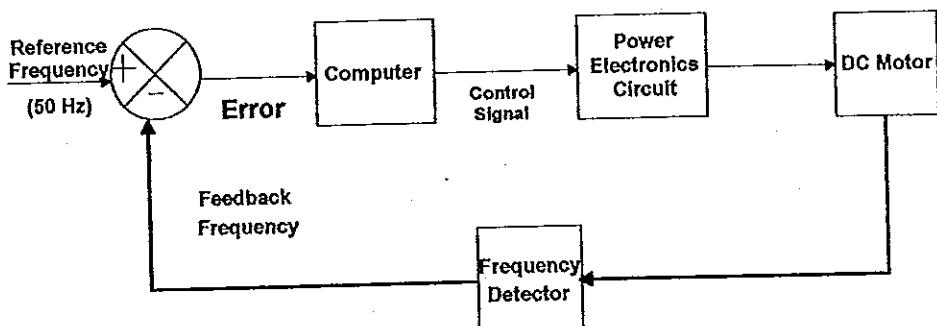
$$E_s = K I_f \omega \quad \dots(3.5)$$

หากควบคุมให้โรเตอร์หมุนด้วยความเร็วคงที่ (กีดีอี) การควบคุมความเร็วรอบของมอเตอร์กระแสตรงให้คงที่นั่นเอง) ขนาดแรงดันกำเนิดจะมีค่าเปรียบเท่ากระแสตุ้นเท่านั้น

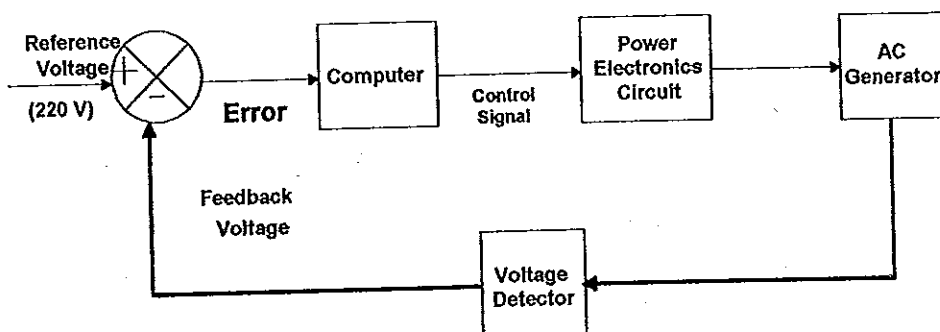
ในงานวิจัยนี้ได้นำหลักการซ้างศัสนนาใช้ กล่าวคือ แรงดันที่ขึ้นจะมีค่าเปรียบเท่าแรงดันกำเนิด ซึ่งแรงดันกำเนิดจะมีค่าเปรียบเท่ากระแสตุ้นเท่านั้น ดังนั้นหากต้องการควบคุมแรงดันที่ขึ้นของเจนแนอเรเตอร์ ทำได้โดยการควบคุมกระแสตุ้นของ Exciter Field Winding

### 3.3 สักษณะการควบคุมแกรี่องจกรกลไฟฟ้า

ในงานวิจัยนี้เป็นการควบคุมการผลิตกระแสไฟฟ้า โดยทำการควบคุมทั้งมอเตอร์ไฟฟ้ากระแสตรง และเครื่องเจนแนอเรเตอร์กระแสตัวนำ โดยจะต้องควบคุมมอเตอร์กระแสตรงให้ได้ความเร็วคงที่ 1500 รอบ/นาที เพื่อให้กระแสไฟฟ้าที่ผลิตได้เท่ากับ 50 เฮิรตซ์ ในขณะเดียวกันก็ต้องควบคุมขนาดของกระแสตุ้นของเครื่องเจนแนอเรเตอร์เพื่อให้แรงดันไฟฟ้าที่ผลิตได้มีขนาดเท่ากับ 220 โวลต์ โดยการควบคุมความเร็วรอบของมอเตอร์กระแสตรงและการควบคุมแรงดันของเครื่องเจนแนอเรเตอร์กระแสตัวนำโดยใช้คอมพิวเตอร์ในการควบคุม ซึ่งใช้วิธีการที่เรียกว่า การควบคุมแบบดิจิตอลโดยตรง (DDC, Direct Digital Control) โดยเครื่องคอมพิวเตอร์จะทำหน้าที่เปรียบเทียบค่าของสัญญาณเอาต์พุตที่ได้จากชุดมอเตอร์เจนแนอเรเตอร์กับค่าอ้างอิงที่กำหนดไว้ (220 โวลต์ 50 เฮิรตซ์) และนำผลลัพธ์ที่ได้จากการเปรียบเทียบมาคำนวณค่าสัญญาณควบคุมที่เหมาะสมเพื่อปรับให้ค่าความเร็วและแรงดันเข้าสู่ค่าอ้างอิง ดังแสดงภาพประกอบ 3.5 และ 3.6 ตามลำดับ

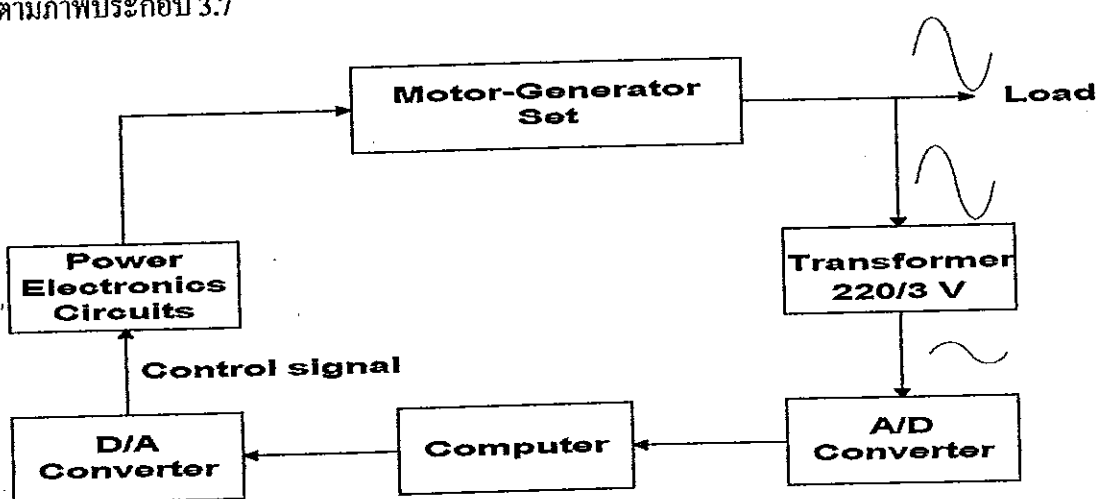


ภาพประกอบ 3.5 แผนภูมิแสดงการควบคุมความเร็วของมอเตอร์กระแสตรง



ภาพประกอบ 3.6 แผนภูมิแสดงการควบคุมแรงดันของเครื่องจ่ายเนอเรเตอร์กระแสสัมบูรณ์

จากที่ได้กล่าวมาแล้วในข้างต้น สามารถแสดงระบบในการควบคุมการผลิตกระแสไฟฟ้าตามภาพประกอบ 3.7



ภาพประกอบ 3.7 แสดงระบบในการควบคุมการผลิตกระแสไฟฟ้า

จากภาพประกอบ 3.7 ประกอบด้วยส่วนต่างๆ ดังนี้

1. ชุดมอเตอร์-เจนเนอเรเตอร์ (Motor-Generator Set) เป็นชุดในการผลิตไฟฟ้าซึ่งเป็นสัญญาณไซน์
2. หม้อแปลง (Transformer) ทำหน้าที่แปลงแรงดันของไฟฟ้าที่ผลิต โดยมีอัตราส่วนการแปลงแรงดันจาก 220 โวลต์ เป็น 3 โวลต์
3. วงจรแปลงสัญญาณอนาลอกเป็นดิจิตอล(A/D Converter) ทำหน้าที่แปลงสัญญาโนนาลอก(สัญญาณไซน์)เป็นสัญญาณดิจิตอล เมื่อจากคอมพิวเตอร์รับได้เฉพาะสัญญาณดิจิตอล
4. คอมพิวเตอร์ (Computer) เป็นหัวใจหลักของระบบ ทำการรับสัญญาณดิจิตอลเพื่อหาค่าความถี่และแรงดันของไฟฟ้าที่ผลิตได้ แล้วประมวลผลแบบฟื้ซซ์logicเพื่อหาสัญญาณควบคุมที่เหมาะสม
5. วงจรแปลงสัญญาณดิจิตอลเป็นอนาลอก (D/A Converter) ทำการแปลงสัญญาณดิจิตอลเป็นสัญญาโนนาลอก เพื่อส่งไปยังวงจรควบคุมต่อไป
6. วงจรอิเล็กทรอนิกส์กำลัง (Power Electronics Circuit) ทำหน้าที่รับสัญญาโนนาลอกเพื่อที่จะนำไปควบคุมความเร็วของมอเตอร์กระแสตรงและแรงดันครื่องเจนเนอเรเตอร์กระแสสลับให้ได้ตามค่าอ้างอิง

### 3.4 ชุดมอเตอร์-เจนเนอเรเตอร์ที่ใช้ในการควบคุม

งานวิจัยนี้ทำการควบคุมชุดมอเตอร์-เจนเนอเรเตอร์ที่ต่อเข้าด้วยกัน โดยมีคุณสมบัติดังนี้

- 1) มอเตอร์ไฟฟ้ากระแสตรงแบบแยกคลัวตัวร้างสนามแม่เหล็ก ( Separately Excited-Field DC Motor) โดยมีคุณสมบัติดังนี้ 4.1 กิโลวัตต์, 1500 รอบ/นาที, 220 โวลต์, 21.8 แอมป์ (MAWDLEY'S)
- 2) เครื่องเจนเนอเรเตอร์กระแสสลับ ( AC Generator ) โดยมีคุณสมบัติดังนี้ 4 กิโล-โวลต์แอมป์, 50 เฮิรตซ์, 1500 รอบ/นาที, 380 โวลต์ (ต่อแบบสตาร์), 6.1 แอมป์ (MAWDLEY'S)

## บทที่ 4

### การออกแบบตัวควบคุมฟิล์เตอร์

ในบทนี้จะได้กล่าวถึงการออกแบบตัวควบคุมฟิล์เตอร์ที่ใช้สำหรับการควบคุมแรงดันเครื่องгенเนอเรเตอร์กระแสสลับและความเร็วของเตอร์กระแสตรงซึ่งเป็นจุดประสงค์หลัก การออกแบบแบ่งออกเป็น 2 ขั้นตอนหลัก คือ การออกแบบตัวควบคุมความเร็วของมอเตอร์กระแสตรง และ การออกแบบตัวควบคุมแรงดันเครื่องгенเนอเรเตอร์กระแสสลับ

#### 4.1 ขั้นตอนการออกแบบตัวควบคุมความเร็วของมอเตอร์กระแสตรงโดยอาศัยทฤษฎีฟิล์เตอร์

ขั้นที่ 1 การฟิล์เตอร์化ชันของอินพุต เป็นการหาอินพุตของระบบ หากว่าฟิล์เตอร์ของอินพุต และทำการสร้างระดับการเป็นสมาร์ติกที่เป็นไปได้

- กำหนดตัวแปรที่ใช้ในการควบคุมความเร็ว

$$\text{เนื่องจาก (Fitzgerald, 1992)} \quad N = 120f/P \quad \dots(4.1)$$

N : ความเร็วรอบ (รอบ/นาที)

f : ความถี่(เฮิรตซ์)

P : จำนวนโผลของมอเตอร์

จากสมการจะเห็นได้ว่าค่าความถี่จะเปรียบเทียบกับค่าความเร็วรอบของมอเตอร์ ซึ่งในงานวิจัยนี้ต้องการที่จะควบคุมความเร็วที่เพลิดเพลินให้คงที่ที่ 1500 รอบ/นาที เพื่อให้ความถี่ 50 เฮิรตซ์ คงนิ่นอินพุตที่ใช้ในการควบคุมความเร็วของเตอร์คือความถี่

ในที่นี้จะกำหนดให้มีอินพุตของระบบ 2 ตัว คือ

1. ค่าความผิดพลาด (Error, E) ซึ่งหาได้จากการแยกต่างระหว่างค่าความถี่ จากมอเตอร์กระแสตรง ( $f_g$ ) กับค่าความถี่อ้างอิงที่กำหนดไว้ ( $f_{ref} = 50 \text{ Hz}$ )

$$\text{Error (E)} = \text{Process Output} (f_g) - 50 \quad \dots(4.2)$$

2. ค่าการเปลี่ยนแปลงค่าความผิดพลาด (Error Change, Ech) ซึ่งหาได้จากการแยกต่างระหว่างค่าความผิดพลาดล่าสุด (Latest Error) กับค่าความผิดพลาดก่อนหน้านั้น (Previous Error)

$$\text{Error Change (Ech)} = \text{Latest Error (E_l)} - \text{previous Error (E_p)} \quad \dots(4.3)$$

โดยตัวแปรทางอินพุตทั้ง 2 ตัวนี้ ต้องนำมาผ่านขั้นตอนของการฟิลเตอร์เพื่อให้ได้รูปของ พืชชีส์ของอินพุต โดยการเทียบค่าตัวแปรทางอินพุตกับตาราง 4.1 ซึ่งเป็นค่าความไทย (Quantized) ที่กำหนดขึ้น ทำให้สามารถลดจำนวนของอินพุตที่จะนำมาทำฟิลเตอร์เพื่อให้ได้

ตาราง 4.1 แสดงค่าความไทยของ E และ Ech ของระบบความคุมความเร็ว

Error Frequency (E ,Hz)	Error Change Frequency (Ech,Hz)	Quantized Value
$E \geq 2.5$	$Ech \geq 2.5$	+5
$2 \leq E < 2.5$	$2 \leq Ech < 2.5$	+4
$1.5 \leq E < 2$	$1.5 \leq Ech < 2$	+3
$1 \leq E < 1.5$	$1 \leq Ech < 1.5$	+2
$0.5 \leq E < 1$	$0.5 \leq Ech < 1$	+1
$-0.5 < E \leq 0.5$	$-0.5 \leq Ech < 0.5$	0
$-1 < E \leq -0.5$	$-1 < Ech \leq -0.5$	-1
$-1.5 < E \leq -1$	$-1.5 < Ech \leq -1$	-2
$-2 < E \leq -1.5$	$-2 < Ech \leq -1.5$	-3
$-2.5 < E \leq -2$	$-2.5 < Ech \leq -2$	-4
$E \leq -2.5$	$Ech \leq -2.5$	-5

### ขั้นที่ 2 การกำหนดตัวแปรเอาต์พุตฟิลเตอร์ การสร้างระดับการเป็นสามาชิกที่เป็นไปได้ในแต่

ลงทะเบียน

เราจะกำหนด ตัวแปรทางเอาต์พุตฟิลเตอร์ 1 ตัวเพื่อที่จะนำไปหาค่าการเปลี่ยนแปลงคิวต์ไซเคิล (Duty Cycle Change, Dch ) ที่ใช้ในวงจรชอปปอร์(Chopper) เพื่อเปลี่ยนค่าแรงคันที่ไปตกคร่อง ขาด漉ดสร้างสนานแม่เหล็กเพื่อให้ความเร็วนอเหลอร์กระแซตรองมีค่าตามค่าความเร็วอ้างอิง(1500 รอบ/นาที) เพื่อให้ได้ความถี่ที่ผลิต 50 เฮิรตซ์ และมีการกำหนดค่าจุดศูนย์ต่อว่าง (Assigned Value) ของเอาต์พุตฟิลเตอร์เพื่อให้สามารถทำการดีฟิลเตอร์เพื่อให้ได้ ดังแสดงในตาราง 4.2

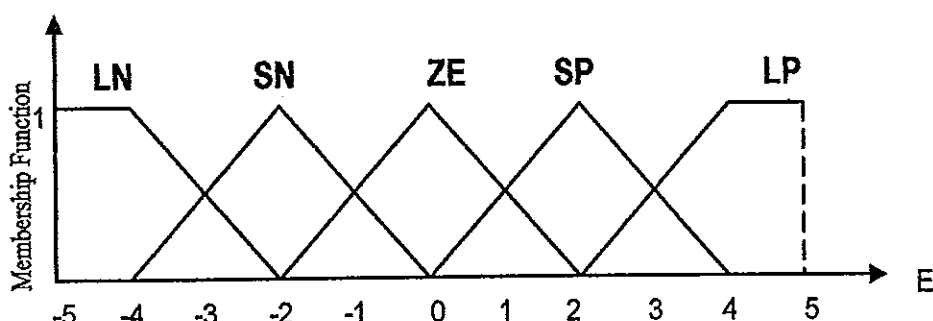
ตาราง 4.2 แสดงค่าจุดศูนย์ต่าง(Assigned Value) ของเอาต์พุตฟังช์ชันระบบความคุณความเร็ว

Output Status	Assigned Value
LN	-0.2
SN	-0.1
ZE	0
SP	0.1
LP	0.2

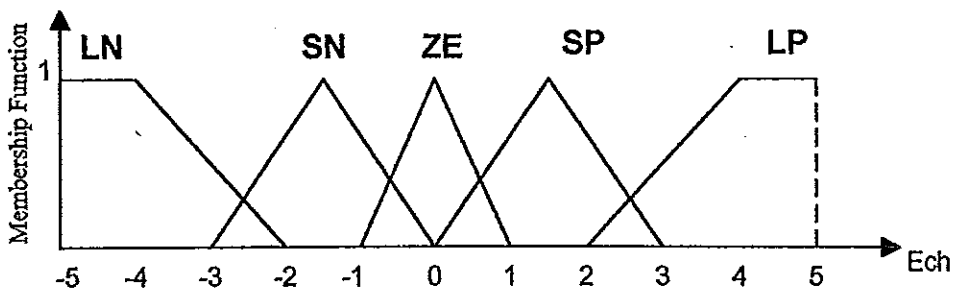
ขั้นที่ 3 การกำหนดขอบเขตเชิงภาษา (Fuzzy Linguistic) และ การกำหนดค่าความเป็นสมาชิก ( Grade of Membership Function ) ของ Fuzzy Subset ต่างๆ ที่ระดับการควบคุม ไฟซ์ที่แฉก ค่ากัน การกำหนดขอบเขตเชิงภาษา ซึ่งเป็นภาษาที่ใช้ในระบบการควบคุมแบบฟิวзыชล์อิจิกในที่นี้ เราจะแบ่งระดับของไฟซ์ที่ใช้กับตัวแปรอินพุตและเอาต์พุตได้ 5 ภาษา ดังนี้

- Large Positive (LP) : บวกมาก
- Small Positive (SP) : บวกน้อย
- Zero (ZE) : ศูนย์
- Small Negative (SN) : ลบน้อย
- Large Negative (LN) : ลบมาก

โดยจะกำหนดรูปร่างกราฟของไฟซ์ชันการเป็นสมาชิกของอินพุตทั้ง 2 ตัวดังนี้

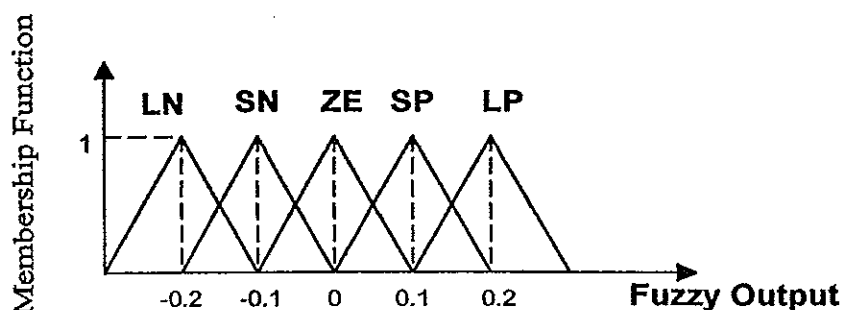


ภาพประกอบ 4.1 แสดงไฟซ์ชันการเป็นสมาชิกของอินพุตที่ 1 : Error Frequency ( E )  
ในระบบความคุณความเร็ว



ภาพประกอบ 4.2 แสดงฟังก์ชันการเป็นสมาชิกของอินพุตที่ 2 : Error Change Frequency ( Ech )  
ในระบบควบคุมความเร็ว

การกำหนดค่าปัจจุบันของฟังก์ชันการเป็นสมาชิกของเอาต์พุตฟิชชันนี้ทำได้โดยนำค่าอินพุตที่ได้รับมาคำนวณค่าคงที่ (Assigned Value) จากตาราง 4.2 มาบวกกับค่าคงที่ที่ได้กำหนดไว้ในภาพประกอบ 4.3



ภาพประกอบ 4.3 แสดงฟังก์ชันการเป็นสมาชิกของเอาต์พุตฟิชชันในระบบควบคุมความเร็ว

ขั้นที่ 4 การสร้างเพื่อนไขหรือกฎการควบคุม หรือ การหากฎเกณฑ์และเพื่อนไขที่สามารถนำค่าจากอินพุตประมวลผลออกໄປได้

เมื่อได้ทำขั้นตอนที่ 1 และ 2 แล้วก็จะเป็นการสร้างเพื่อนไขที่จะนำมาใช้ในการควบคุมของตัวควบคุมฟิชชันลอจิก เพื่อสามารถควบคุมความเร็วของเทอร์โกระແສຕรงได้ตามยุคปัจจุบัน ขั้นตอนนี้เป็นขั้นตอนที่มีความสำคัญมาก เพราะจะเป็นการจำลองพฤติกรรมของระบบที่เป็นໄไปได้หรือเป็นการกำหนดให้ตัวควบคุมฟิชชันลอจิกปฏิบัติการควบคุมเมื่อมีการเปลี่ยนแปลงความเร็วของเทอร์โกระແສຕรงนั่นเอง โดยค่าเอาต์พุตฟิชชันที่เพื่อนำไปหาค่าการเปลี่ยนแปลงดิวตี้ไซเคิล จะเป็นค่าเท่าไรนั้นก็จะขึ้นกับค่าอินพุตทั้ง 2 ตัวที่เปลี่ยนแปลงไปตามตาราง 4.3

ตาราง 4.3 แสดงเงื่อนไขที่กำหนดขึ้นของเอกสารพุทธิชี้ในระบบความคุณความเร็วเมื่ออินพุตมีการเปลี่ยนแปลง

Ech \ E	LN	SN	ZE	SP	LP
LN	LN	LN	LN	SN	SN
SN	LN	SN	SN	SN	ZE
ZE	SN	SN	ZE	ZE	SP
SP	ZE	ZE	SP	SP	LP
LP	SP	SP	LP	LP	LP

หรือสามารถเขียนให้อยู่ในรูปของ IF...THEN ได้ดังนี้

1. IF  $E = LN$  AND  $Ech = LN$  THEN Fuzzy Output = LN
2. IF  $E = LN$  AND  $Ech = SN$  THEN Fuzzy Output = LN
3. IF  $E = LN$  AND  $Ech = ZE$  THEN Fuzzy Output = LN
4. IF  $E = LN$  AND  $Ech = SP$  THEN Fuzzy Output = SN
5. IF  $E = LN$  AND  $Ech = LP$  THEN Fuzzy Output = SN
6. IF  $E = SN$  AND  $Ech = LN$  THEN Fuzzy Output = LN
7. IF  $E = SN$  AND  $Ech = SN$  THEN Fuzzy Output = SN
8. IF  $E = SN$  AND  $Ech = ZE$  THEN Fuzzy Output = SN
9. IF  $E = SN$  AND  $Ech = SP$  THEN Fuzzy Output = SN
10. IF  $E = SN$  AND  $Ech = LP$  THEN Fuzzy Output = ZE
11. IF  $E = ZE$  AND  $Ech = LN$  THEN Fuzzy Output = SN
12. IF  $E = ZE$  AND  $Ech = SN$  THEN Fuzzy Output = SN
13. IF  $E = ZE$  AND  $Ech = ZE$  THEN Fuzzy Output = ZE
14. IF  $E = ZE$  AND  $Ech = SP$  THEN Fuzzy Output = ZE
15. IF  $E = ZE$  AND  $Ech = LP$  THEN Fuzzy Output = SP
16. IF  $E = SP$  AND  $Ech = LN$  THEN Fuzzy Output = ZE
17. IF  $E = SP$  AND  $Ech = SN$  THEN Fuzzy Output = ZE

18. IF E = SP AND Ech = ZE THEN Fuzzy Output = SP
19. IF E = SP AND Ech = SP THEN Fuzzy Output = SP
20. IF E = SP AND Ech = LP THEN Fuzzy Output = LP
21. IF E = LP AND Ech = LN THEN Fuzzy Output = SP
22. IF E = LP AND Ech = SN THEN Fuzzy Output = SP
23. IF E = LP AND Ech = ZE THEN Fuzzy Output = LP
24. IF E = LP AND Ech = SP THEN Fuzzy Output = LP
25. IF E = LP AND Ech = LP THEN Fuzzy Output = LP

ในที่นี่ใช้ตัวดำเนินการ 'AND' โดยใช้ค่าต่ำสุด(minimum) ของตัวแปรเงื่อนไข(condition) ในการคำนวณผลลัพธ์รวมของฟิชซ์ ซึ่งการเลือกค่าต่ำสุดจะทำให้ความแข็งแกร่งของกฎที่ได้เลือกอยู่นั้นเข้มข้นกับค่าตัวแปรส่วนเงื่อนไข ที่มีค่าความเป็นสม�性น้อยที่สุด ( นานะ ลักษณิชพันธ์, 2540 )

เช่น กรณีที่ 1 : IF E = LN AND Ech = LN THEN Fuzzy Output = LN

มีความหมายว่า ถ้าความค่าผิดพลาด(E) มีค่าเป็นลบมาก( Large Negative ) คือมีค่าน้อยกว่าค่าแรงดันอ้างอิงมาก และ ค่าการเปลี่ยนแปลงค่าผิดพลาด(Ech) มีค่าเป็นลบมาก( Large Negative ) คือมีค่าเปลี่ยนแปลงแรงดันลดลงไปจากครั้งที่แล้วมาก แล้วค่าเอาต์พุตฟิชซ์มีค่าลบมาก ซึ่งจะทำให้ค่าคิวต์ใช้เกิดของแรงดันที่ไปตกคร่อมขดลวดสร้างสนามแม่เหล็กลดลงมากคือแรงดันที่ตกคร่อม ขดลวดสร้างสนามแม่เหล็กจะลดลง ซึ่งจะทำให้ความเร็วของอิเลคทรอนิกส์ลดลงนีค่าเพิ่มขึ้น

ข้อที่ 5 การตีฟิชซ์เพิ่มเข้าของเอาต์พุต และการกำหนดคิวต์การรวมผลของฟิชซ์ เพื่อให้ได้ค่าเอาต์พุตที่เป็นค่าจริงในรูปคิริช์เพท(MCrisp set)

จากเงื่อนไขในข้อตอนที่ 3 เมื่อพิจารณาความเป็นไปได้ของค่าเอาต์พุต จะเห็นว่าในแต่ละอินพุตจะได้ค่าเอาต์พุตฟิชซ์อ่อนมาหลายค่า เราจึงต้องหาค่าที่แม่นตรงเพียงค่าเดียวเพื่อให้ได้ค่าของเอาต์พุตที่แท้จริงของตัวควบคุมฟิชซ์ลوجิก ซึ่งจะใช้กระบวนการวิธีการหาค่าสูงสุดกลางเพื่อหาค่าเฉนทรอยด์ โดยหาได้จากสูตร

$$Y = \sum_{n=1}^n (\mu_n * Y_n) / \sum \mu_n \quad \dots(4.4)$$

เมื่อ  $Y$  = Crisp Output

$\mu$  = Membership Function

$n = \text{Number of Membership} = 1, 2, 3, \dots$

หลังจากที่ได้กำหนดชั้งแห่งขั้นตอนที่ 1 ถึงขั้นที่ 3 เมื่อพิจารณาดึงความเป็นไปได้ทุก ๆ กรณีที่สามารถเกิดขึ้นได้ จะได้ผลลัพธ์โดยสามารถเขียนเป็นตาราง 4.4 ซึ่งแสดงค่าเอาต์พุต

ตาราง 4.4 แสดงค่าเอาต์พุตทั้งหมดของทุกกรณีที่เกิดขึ้นในระบบควบคุมความเร็วซึ่งได้จาก การคำนวณโดยกฎพีชชี

Ech \ E	-5	-4	-3	-2	-1	0	1	2	3	4	5
-5	-0.2	-0.2	-0.2	-0.2	-0.2	-0.2	-0.1	-0.1	-0.1	-0.1	-0.1
-4	-0.2	-0.2	-0.2	-0.2	-0.2	-0.2	-0.1	-0.1	-0.1	-0.1	-0.1
-3	-0.2	-0.2	-0.2	-0.15	-0.15	-0.15	-0.1	-0.1	-0.05	-0.05	-0.05
-2	-0.2	-0.2	-0.2	-0.1	-0.1	-0.1	-0.1	-0.1	0	0	0
-1	-0.15	-0.15	-0.15	-0.1	-0.1	-0.05	-0.05	-0.05	0.05	0.05	0.05
0	-0.1	-0.1	-0.1	-0.1	-0.1	0	0	0	0.1	0.1	0.1
1	-0.05	-0.05	-0.05	-0.05	-0.05	0.05	0.05	0.05	0.15	0.15	0.15
2	0	0	0	0	0	0.1	0.1	0.1	0.2	0.2	0.2
3	0.05	0.05	0.05	0.05	0.05	0.15	0.15	0.15	0.2	0.2	0.2
4	0.1	0.1	0.1	0.1	0.1	0.2	0.2	0.2	0.2	0.2	0.2
5	0.1	0.1	0.1	0.1	0.1	0.2	0.2	0.2	0.2	0.2	0.2

ตัวอย่างการคำนวณค่าของเอาต์พุต ในตาราง 4.4

จากกรณีค่า  $E = -3$  อยู่ในพีชชีสับเซต LN มีค่า  $\mu_1(LN) = 0.5, \mu_2(SN) = 0.5$  และค่า  $Ech = -5$  มีค่า  $\mu(LN) = 1$  ซึ่งจากตาราง 4.3 พบว่าเอาต์พุตพีชชีสามารถเกิดได้ 2 กรณีคือ

- เมื่อนำ入กรณีที่ 1 คือ

IF  $E = LN$  AND  $Ech = LN$  THEN Fuzzy Output= LN

จากเงื่อนไขและตาราง 4.3 จะทราบว่าเอาต์พุตพีชชีอยู่ในพีชชีสับเซต LN โดยมีค่าเอาต์พุตพีชชี  $= -0.2$  และ  $\mu(\text{Fuzzy Output}_1) = 0.5$

$$\begin{aligned}
 \mu(\text{Fuzzy Output}_1) &= \min [\mu_1(E), \mu(Ech)] \\
 &= \min [\mu_1(LN), \mu(LN)] \\
 &= \min [0.5, 1] \\
 &= 0.5
 \end{aligned}$$

และเงื่อนไขกรณีที่ 6 คือ

IF  $E = SN$  AND  $Ech = LN$  THEN Fuzzy Output = LN

จากเงื่อนไขและตาราง 4.3 จะทราบว่า เอ้าต์พุตฟิชชี่อยู่ในฟิชชี่สับเซต LN โดยมีค่าเอ้าต์พุตฟิชชี่<sub>2</sub> = -0.2 และ  $\mu(\text{Fuzzy Output}_2)$  คือ

$$\begin{aligned}
 \mu(\text{Fuzzy Output}_2) &= \min [\mu_2(E), \mu(Ech)] \\
 &= \min [\mu_2(SN), \mu(LN)] \\
 &= \min [0.5, 1] \\
 &= 0.5
 \end{aligned}$$

จากค่าเอ้าต์พุตฟิชชี่ทั้ง 2 ตัว นำมาหาค่าของเอ้าต์พุตที่แท้จริง โดยใช้สูตรการหาค่าสูญเสียังจะได้

$$\begin{aligned}
 \text{เอ้าต์พุต} &= [\mu(\text{Fuzzy Output}_2) * \text{Fuzzy Output}_1 + \mu(\text{Fuzzy Output}_1) * \text{Fuzzy Output}_2] / \\
 &[\mu(\text{Fuzzy Output}_1) + \mu(\text{Fuzzy Output}_2)] \\
 &= [0.5 * (-0.2) + 0.5 * (-0.2)] / (0.5 + 0.5) \\
 &= -0.2 \quad \text{ซึ่งตรงกับค่าในตาราง 4.4}
 \end{aligned}$$

ขั้นที่ 6 การเปลี่ยนค่าเอ้าต์พุตที่หาได้จากตาราง 4.4 เป็นค่าการเปลี่ยนแปลงของคิวตี้ไปเคิลหลังจากที่ได้ทำคิวตี้พิเศษแล้ว ก็จะได้ผลลัพธ์ในการคำนวณในรูปเอ้าต์พุต ซึ่งค่าเอ้าต์พุตที่นี้ไม่สามารถนำไปใช้ในการควบคุมความเร็วของเตอร์กระแสงครองได้โดยตรง จึงต้องนำมานำเข้ากระบวนการที่จะทำการเปลี่ยนให้ค่าของเอ้าต์พุตนั้นสามารถควบคุมความเร็วของเตอร์กระแสงครองได้ ซึ่งวิธีการก็คือนำเอ้าต์พุตไปเปลี่ยนเทียบกับตารางเอ้าต์พุต(ดังตาราง 4.5) ซึ่งเป็นกระบวนการกลับกันของการหาค่าอินพุตของฟิชชี่ (วินัย ปิยวัฒน์เมธากุล, 2537) เพื่อหาค่าการเปลี่ยนแปลงของคิวตี้ไปเคิล เมื่อได้ทำการเปลี่ยนค่าเอ้าต์พุตเป็นค่าการเปลี่ยนแปลงของคิวตี้ไปเคิลแล้ว ก็จะสามารถนำค่าการเปลี่ยนแปลงของคิวตี้ไปเคิลไปควบคุมความเร็วของเตอร์กระแสงครองได้ต่อไป

**ตาราง 4.5 แสดงค่าความต่ำพันธุ์ของเอาต์พุต กับ ค่าการเปลี่ยนแปลงของคิวตี้ไซเคิลของระบบ  
ความคุณความเร็ว**

เอาต์พุต	ค่าการเปลี่ยนแปลงของคิวตี้ไซเคิล
[0.16,0.20]	2
[0.11,0.15]	1.5
[0.06,0.10]	1
[0.01,0.05]	0.5
0	0
[-0.05,-0.01]	-0.5
[-0.10,-0.06]	-1
[-0.15,-0.11]	-1.5
[-0.20,-0.16]	-2

เมื่อได้ค่าการเปลี่ยนแปลงคิวตี้ไซเคิล (Duty Cycle Change, Dch ) ก็สามารถนำค่าที่ได้ไปใช้ในวงจรชอปเปอร์(Chopper) เพื่อเปลี่ยนค่าแรงดันที่ไปทดครรั่นขดลวดสร้างสนามแม่เหล็กเพื่อให้ได้ความเร็วตามต้องการและคงค่าอ้างอิง

**ตัวอย่างการหาค่าการเปลี่ยนแปลงของคิวตี้ไซเคิลของตัวควบคุมฟังชั่นลอจิกจาก  
ตาราง 4.5**

ค่าการเปลี่ยนแปลงของคิวตี้ไซเคิลของตัวควบคุมฟังชั่นลอจิกที่ออกแบบไว้ ใช้เพื่อเพิ่มหรือลดค่าแรงดันที่ไปทดครรั่นขดลวดสร้างสนามแม่เหล็ก เพื่อให้ความเร็วตามต้องการและคงค่าอ้างอิง

เมื่อออยู่ในสภาวะไร้ภาระทางไฟฟ้าความถี่ผลิต 50 เฮิรตซ์ ที่คิวตี้ไซเคิล 58 แต่เมื่อมีภาระทางไฟฟ้าจะทำให้ความถี่ลดลงเหลือ 48 เฮิรตซ์ ดังนั้น

$$\text{ค่าความผิดพลาด}(Error,E) = 48 - 50 = -2$$

$$\text{ค่าการเปลี่ยนแปลงค่าความผิดพลาด}(Error Change,Ech) = -2 - 0 = -2$$

จากตารางกำหนดค่าควบคุมไฟฟ้าในตาราง 4.1 จะได้

$$\text{ค่าควบคุมไฟฟ้า } E = -4$$

$$\text{ค่าควบคุมไฟฟ้า } Ech = -4$$

เมื่อได้ค่าของอินพุตครบทั้ง 2 ตัว แล้วก็สามารถหาค่าของเอาต์พุตได้จากตาราง 4.4 ได้ (ดังตัวอย่างการคำนวณค่าของเอาต์พุต ในตาราง 4.4) คือ เอาต์พุต = -0.20

ซึ่งค่าเอาต์พุต = -0.20 นี้เมื่อนำไปหาค่าความสัมพันธ์ของเอาต์พุต กับ ค่าการเปลี่ยนแปลงของคิวตี้ไซเคิล ( ดังตาราง 4.5 ) จะได้ค่าการเปลี่ยนแปลงของคิวตี้ไซเคิล = -2 ดังนั้นค่าคิวตี้ไซเคิลจะมีค่าเท่ากับ  $58 - 2 = 56$  ซึ่งทำให้ค่าแรงดันที่ไปตกคร่องลดลงสร้างสนามแม่เหล็ก มีค่าลดลง ซึ่งทำให้ความเร็วของเรือร์กระแสงตรงมีค่านากขึ้น และเข้าใกล้ค่าความเร็วอ้างอิง(1500 รอบ/นาที) นั่นก็คือความถี่ที่ผลิตได้จะมีค่าเข้าใกล้ค่าความถี่อ้างอิง(50 เฮิรตซ์)

#### 4.2 ขั้นตอนการออกแบบตัวควบคุมแรงดันของเครื่อง Jenenne เ雷เตอร์กระแสงลับ โดยอาศัยทฤษฎีฟื้นฟูอิจิก

ขั้นที่1 การพัฒนาเฟชั่นของอินพุต เป็นการหาอินพุตของระบบ หากว่างพื้นที่ของอินพุต และทำการสร้างระดับการเป็นสมາชิกที่เป็นไปได้

- กำหนดตัวแปรที่ใช้ในการควบคุมแรงดัน

ในที่นี้จะกำหนดให้มีอินพุตของระบบ 2 ตัว คือ

1. ค่าความผิดพลาด ( Error , E ) ซึ่งหาได้จากการแยกต่างระหว่างค่าแรงดันจากเครื่อง Jenenne เ雷เตอร์กระแสงลับ ( $V_g$ ) กับแรงดันอ้างอิงที่กำหนดไว้ ( $V_{ref} = 220$ )

$$\text{Error (E)} = \text{Process Output (V}_g\text{)} - 220 \quad \dots(4.5)$$

2. ค่าการเปลี่ยนแปลงค่าความผิดพลาด ( Error Change,Ech ) ซึ่งหาได้จากการแยกต่างระหว่างค่าความผิดพลาดล่าสุด ( Lated Error ) กับค่าความผิดพลาดก่อนหน้านั้น ( Previous Error)

$$\text{Error Change (Ech)} = \text{lated Error (E}_l\text{)} - \text{previous Error (E}_p\text{)} \quad \dots(4.6)$$

โดยตัวแปรทางอินพุตทั้ง 2 ตัวนี้ ต้องนำมาผ่านขั้นตอนของการฟื้นฟูอิจิกในรูปของ พื้นที่ของอินพุต โดยการเพิ่มน้ำค่าตัวแปรทางอินพุตกับตาราง 4.6 ซึ่งเป็นค่าควบคุมไทร์ (Quantized) ที่กำหนดขึ้น ทำให้สามารถลดจำนวนของอินพุตที่จะนำมาทำให้ชิปเฟชั่นได้

ตาราง 4.6 การแสดงค่าความอนุทัยของ E และ Ech ของระบบควบคุมแรงดัน

Error Voltage ( E ,volt)	Error Change Voltage (Ech,volt)	Quantized Value
$E \geq 15$	$Ech \geq 15$	+5
$12 \leq E < 15$	$12 \leq Ech < 15$	+4
$8 \leq E < 12$	$8 \leq Ech < 12$	+3
$5 \leq E < 8$	$5 \leq Ech < 8$	+2
$2.5 \leq E < 5$	$2.5 \leq Ech < 5$	+1
$-2.5 < E \leq 2.5$	$-2.5 \leq Ech < 2.5$	0
$-5 < E \leq -2.5$	$-5 < Ech \leq -2.5$	-1
$-8 < E \leq -5$	$-8 < Ech \leq -5$	-2
$-12 < E \leq -8$	$-12 < Ech \leq -8$	-3
$-15 < E \leq -12$	$-15 < Ech \leq -12$	-4
$E \leq -15$	$Ech \leq -15$	-5

ขั้นที่ 2 การกำหนดตัวแปรเอาต์พุตฟื้นซ์ การสร้างระดับการเป็นสามาชิกที่เป็นไปได้ในแต่ละช่วง

เราจะกำหนดตัวแปรทางเอาต์พุตฟื้นซ์ 1 ตัว เพื่อที่จะนำไปหาค่าการเปลี่ยนแปลงคิวตี้-ไซเคิล (Duty Cycle Change, Dch) ที่ใช้ในวงจรชوبปีเพอร์(Chopper) เพื่อเปลี่ยนค่าแรงดันที่ไปตกกร่อง Exciter Field Winding เพื่อให้ได้แรงดันที่ขึ้นของเครื่องгенเนอเรเตอร์กระแสสลับตามค่าแรงดันอ้างอิง(220 โวลต์) และมีการกำหนดค่าจุดสูงย์ต่ำ( Assigned Value ) ของเอาต์พุตฟื้นซ์ เพื่อให้สามารถทำการดีฟิซิฟิเคชันได้ ดังแสดงในตาราง 4.7

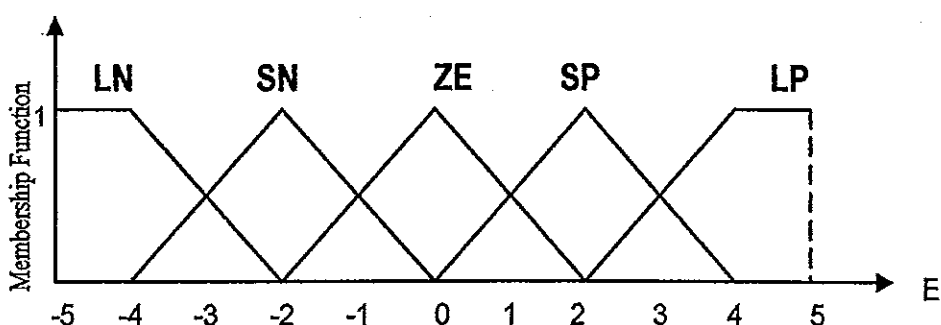
ตาราง 4.7 แสดงค่าจุดศูนย์ต่อว่าง(Assigned Value) ของเอาต์พุตฟื้นฟูในระบบควบคุมแรงดัน

Output Status	Assigned Value
LN	-0.2
SN	-0.1
ZE	0
SP	0.1
LP	0.2

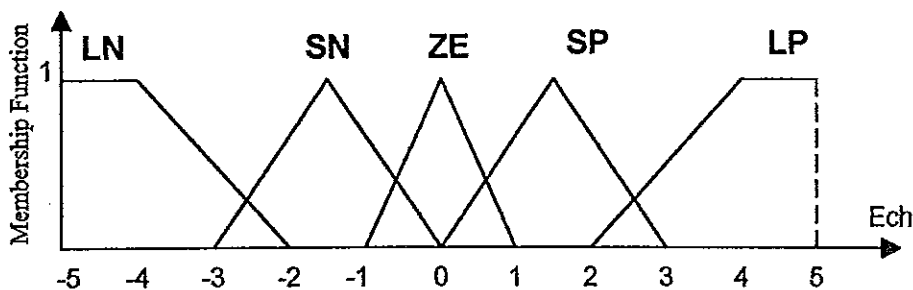
ขั้นที่ 3 การกำหนดขอบเขตเชิงภาษา (Fuzzy Linguistic) และ การกำหนดค่าความเป็นสมาชิก (Grade of Membership Function) ของ Fuzzy Subset ต่างๆ ที่ระดับการควบคุมไฟซึ่งแยกต่างกัน การกำหนดขอบเขตเชิงภาษา ซึ่งเป็นภาษาที่ใช้ในระบบการควบคุมแบบฟิชชีส์โลจิกในที่นี้เราจะแบ่งระดับของฟิชชีส์ที่ใช้กันคือแพรอินพุตและเอาต์พุตได้ 5 ภาษา ดังนี้

- Large Positive (LP) : บวกมาก
- Small Positive (SP) : บวกน้อย
- Zero (ZE) : ศูนย์
- Small Negative (SN) : ลบน้อย
- Large Negative (LN) : ลบมาก

โดยจะกำหนดรูป่างрафฟ์ของฟังก์ชันการเป็นสมาชิกของอินพุตทั้ง 2 ตัวดังนี้



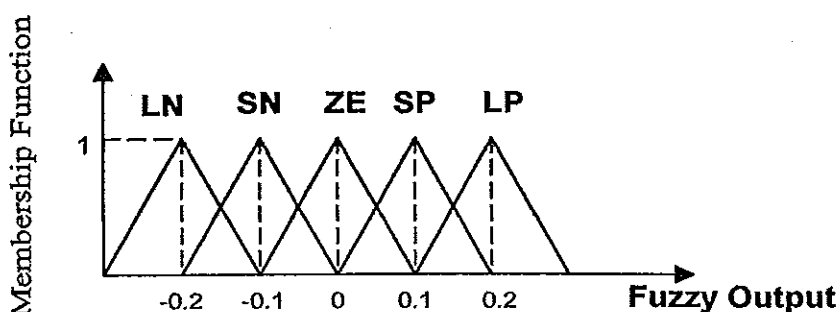
ภาพประกอบ 4.4 แสดง ฟังก์ชันการเป็นสมาชิกของอินพุตที่ 1 : Error Voltage ( E )  
ในระบบควบคุมแรงดัน



ภาพประกอบ 4.5 แสดงฟังก์ชันการเป็นสมาชิกของอินพุตที่ 2 : Error Change Voltage ( Ech )

ในระบบควบคุมแรงดัน

การกำหนดค่าปัจจุบันของกราฟของฟังก์ชันการเป็นสมาชิกของเอาต์พุตฟื้นตัวให้ได้โดยนำค่าจุดศูนย์ถ่วง (Assigned Value) จากตาราง 4.7 มาบัน养 ดังภาพประกอบ 4.6



ภาพประกอบ 4.6 แสดงฟังก์ชันการเป็นสมาชิกของเอาต์พุตฟื้นตัวในระบบควบคุมแรงดัน

ข้อที่ 4 การสร้างผื่นตอนใหม่หรือกฎการควบคุม หรือ การหากฎเกณฑ์และผื่นตอนใหม่ที่สามารถนำค่าอินพุตประมวลผลออกไปได้

เมื่อได้ทำขั้นตอนที่ 1 และ 2 แล้วก็จะเป็นการสร้างผื่นตอนใหม่ที่จะนำมาใช้ในการควบคุมของตัวควบคุมฟื้นตัว สำหรับความต้องการของเครื่อง Jenenne เทอร์สเตตส์ ตามที่ได้กำหนดไว้ ค่าต่อไปนี้เป็นขั้นตอนที่มีความสำคัญมาก เพราะจะเป็นการจำลองพฤติกรรมของระบบที่เป็นไปได้หรือเป็นการกำหนดให้ตัวควบคุมฟื้นตัวกับปฏิบัติการควบคุมเมื่อมีการเปลี่ยนแปลงแรงดันของเครื่อง Jenenne เทอร์สเตตส์ นั่นเอง โดยค่าเอาต์พุตฟื้นตัวที่เพื่อนำไปหาค่าการเปลี่ยนแปลงคิวต์ไซเคิล จะเป็นค่าเท่าไรนั้นก็จะขึ้นกับค่าอินพุตที่ 2 ตัวที่เปลี่ยนแปลงไปตามตาราง 4.8

ตาราง 4.8 แสดงเงื่อนไขที่กำหนดขึ้นของเอาต์พุตฟืชซึ่งในระบบควบคุมแรงดันเมื่ออิฐ  
มีการเปลี่ยนแปลง

Ech \ E	LN	SN	ZE	SP	LP
LN	LP	LP	LP	SP	SP
SN	LP	SP	SP	SP	ZE
ZE	SP	SP	ZE	ZE	SN
SP	ZE	ZE	SN	SN	LN
LP	SN	SN	LN	LN	LN

หรือสามารถเขียนให้อ่านได้ดังนี้

1. IF E = LN AND Ech = LN THEN Fuzzy Output = LP
2. IF E = LN AND Ech = SN THEN Fuzzy Output = LP
3. IF E = LN AND Ech = ZE THEN Fuzzy Output = LP
4. IF E = LN AND Ech = SP THEN Fuzzy Output = SP
5. IF E = LN AND Ech = LP THEN Fuzzy Output = SP
6. IF E = SN AND Ech = LN THEN Fuzzy Output = LP
7. IF E = SN AND Ech = SN THEN Fuzzy Output = SP
8. IF E = SN AND Ech = ZE THEN Fuzzy Output = SP
9. IF E = SN AND Ech = SP THEN Fuzzy Output = SP
10. IF E = SN AND Ech = LP THEN Fuzzy Output = ZE
11. IF E = ZE AND Ech = LN THEN Fuzzy Output = SP
12. IF E = ZE AND Ech = SN THEN Fuzzy Output = SP
13. IF E = ZE AND Ech = ZE THEN Fuzzy Output = ZE
14. IF E = ZE AND Ech = SP THEN Fuzzy Output = ZE
15. IF E = ZE AND Ech = LP THEN Fuzzy Output = SN
16. IF E = SP AND Ech = LN THEN Fuzzy Output = ZE
17. IF E = SP AND Ech = SN THEN Fuzzy Output = ZE
18. IF E = SP AND Ech = ZE THEN Fuzzy Output = SN

19. IF E = SP AND Ech = SP THEN Fuzzy Output = SN
20. IF E = SP AND Ech = LP THEN Fuzzy Output = LN
21. IF E = LP AND Ech = LN THEN Fuzzy Output = SN
22. IF E = LP AND Ech = SN THEN Fuzzy Output = SN
23. IF E = LP AND Ech = ZE THEN Fuzzy Output = LN
24. IF E = LP AND Ech = SP THEN Fuzzy Output = LN
25. IF E = LP AND Ech = LP THEN Fuzzy Output = LN

ในที่นี้ใช้ตัวดำเนินการ 'AND' โดยใช้ค่าต่ำสุด(minimum) ของตัวแปรเงื่อนไข(condition) ในการคำนวณผลลัพธ์รวมของฟิชชี่ ซึ่งการเลือกค่าต่ำสุดจะทำให้ความแข็งแกร่งของกฎที่ได้เลือกอยู่นั้นเข้มข้นกับค่าตัวแปรส่วนเงื่อนไข ที่มีความเป็นสมาชิกน้อยที่สุด

เงื่อน กรณีที่ 1 : IF E = LN AND Ech = LN THEN Fuzzy Output = LP

มีความหมายว่า ถ้าความค่าผิดพลาด(E) มีค่าเป็นลบมาก( Large Negative ) คือมีค่าน้อยกว่าค่าแรงดันอ้างอิงมาก และ ถ้าการเปลี่ยนแปลงค่าผิดพลาด(Ech) มีค่าเป็นลบมาก( Large Negative ) คือมีค่าเปลี่ยนแปลงแรงดันลดลงไปจากครั้งที่แล้วมาก แล้วค่าเออเต็มพุตฟิชชี่มีค่าบวกมาก ซึ่งจะทำให้ค่าดิวตี้ไซเคิลของแรงดันที่ไปตอกคร่อง Exciter Field Winding เพิ่มขึ้นมากคือแรงดันที่ตอกคร่อง Exciter Field Winding จะเพิ่มขึ้น ซึ่งจะทำให้แรงดันของเครื่องกำเนิดไฟฟ้ากระแสสลับมีค่าเพิ่มขึ้นด้วย

**ขั้นที่ 5 การคัดฟิชชี่เดือนของเออเต็มพุต และการกำหนดวิธีการรวมผลของฟิชชี่ เพื่อให้ได้ค่าเออเต็มพุตที่เป็นค่าจริงในรูปคริสต์ปั๊บท(Crisp set)**

จากเงื่อนไขในขั้นตอนที่ 3 เมื่อพิจารณาความเป็นไปได้ของค่าเออเต็มพุต จะเห็นว่าในแต่ละอินพุตจะได้ค่าเออเต็มพุตฟิชชี่ของมหาศาลค่า เราจึงต้องหาค่าที่แม่นตรงเพียงค่าเดียวเท่านั้นให้ได้ค่าของ เออเต็มพุตที่แท้จริงของตัวควบคุมฟิชชี่ดิจิติก ซึ่งจะใช้กรรมวิธีการหาค่าสูนย์กลาง เพื่อหาค่าเซนทรอยด์ โดยหาได้จากสูตรที่ 4.4

หลังจากที่ได้ทำการตั้งแต่ขั้นตอนที่ 1 ถึงขั้นที่ 3 เมื่อพิจารณาดึงความเป็นไปได้ทุก ๆ กรณี ที่สามารถเกิดขึ้นได้ จะได้ผลลัพธ์โดยสารรถเขียนเป็นตาราง 4.9 ซึ่งแสดงค่าเออเต็มพุต

ตาราง 4.9 แสดงค่าเอาต์พุตทั้งหมดของทุกกรณีที่เกิดขึ้นในระบบควบคุมแรงดันซึ่งได้จากการคำนวณโดยกฎพีชชี

E	-5	-4	-3	-2	-1	0	1	2	3	4	5
Ech	0.2	0.2	0.2	0.2	0.2	0.2	0.1	0.1	0.1	0.1	0.1
-5	0.2	0.2	0.2	0.2	0.2	0.2	0.1	0.1	0.1	0.1	0.1
-4	0.2	0.2	0.2	0.2	0.2	0.2	0.1	0.1	0.1	0.1	0.1
-3	0.2	0.2	0.2	0.15	0.15	0.15	0.1	0.1	0.05	0.05	0.05
-2	0.2	0.2	0.2	0.1	0.1	0.1	0.1	0.1	0	0	0
-1	0.15	0.15	0.15	0.1	0.1	0.05	0.05	0.05	-0.05	-0.05	-0.05
0	0.1	0.1	0.1	0.1	0.1	0	0	0	-0.1	-0.1	-0.1
1	0.05	0.05	0.05	0.05	0.05	-0.05	-0.05	-0.05	-0.15	-0.15	-0.15
2	0	0	0	0	0	-0.1	-0.1	-0.1	-0.2	-0.2	-0.2
3	-0.05	-0.05	-0.05	-0.05	-0.05	-0.15	-0.15	-0.15	-0.2	-0.2	-0.2
4	-0.1	-0.1	-0.1	-0.1	-0.1	-0.2	-0.2	-0.2	-0.2	-0.2	-0.2
5	-0.1	-0.1	-0.1	-0.1	-0.1	-0.2	-0.2	-0.2	-0.2	-0.2	-0.2

ตัวอย่างการคำนวณค่าของเอาต์พุต ในตาราง 4.9

จากกรณีค่า  $E = -3$  อยู่ในพีชชีสับเชต LN มีค่า  $\mu_1(LN) = 0.5$ ,  $\mu_2(SN) = 0.5$  และค่า  $Ech = -5$  มีค่า  $\mu(Ech) = 1$  ซึ่งจากตาราง 4.8 พบว่าเอาต์พุตพีชชีสามารถเกิดได้ 2 กรณีคือ

- เมื่อนำไปกรณีที่ 1 คือ

IF  $E = LN$  AND  $Ech = LN$  THEN Fuzzy Output= LP

จากเมื่อนำไปและตาราง 4.8 จะทราบว่าเอาต์พุตพีชชีอยู่ในพีชชีสับเชต LP โดยมีค่าเอาต์พุตพีชชี  $= 0.2$  และ  $\mu(Fuzzy Output_i) = 0.5$

$$\begin{aligned}
 \mu(Fuzzy Output_i) &= \min [\mu_i(E), \mu(Ech)] \\
 &= \min [\mu_1(LN), \mu(Ech)] \\
 &= \min [0.5, 1] \\
 &= 0.5
 \end{aligned}$$

และ เมื่อนำไปกรณีที่ 6 คือ

IF E = SN AND Ech = LN THEN Fuzzy Output = LP

จากเงื่อนไขและตาราง 4.8 จะทราบว่า เอ้าต์พุตที่ซึ่งอยู่ในฟิล์มสับเซต SP โดยมีค่า เอ้าต์พุตที่ซึ่ง<sub>2</sub> = 0.2 และ  $\mu(\text{Fuzzy Output}_2)$  ดังนี้

$$\begin{aligned}\mu(\text{Fuzzy Output}_2) &= \min [\mu_2(E), \mu(Ech)] \\ &= \min [\mu_2(SN), \mu(LN)] \\ &= \min [0.5, 1] \\ &= 0.5\end{aligned}$$

จากค่าเอ้าต์พุตที่ซึ่ง 2 ตัว นำมาหาค่าของเอ้าต์พุตที่แท้จริง โดยใช้สูตรการหาค่า ศูนย์ถ่วงจะได้

$$\begin{aligned}\text{เอ้าต์พุต} &= [\mu(\text{Fuzzy Output}_2) * \text{Fuzzy Output}_1 + \mu(\text{Fuzzy Output}_1) * \text{Fuzzy Output}_2] / [\mu(\text{Fuzzy Output}_1) + \mu(\text{Fuzzy Output}_2)] \\ &= [0.5 * (0.2) + 0.5 * (0.2)] / (0.5 + 0.5) \\ &= 0.2 \quad \text{ซึ่งตรงกับค่าในตาราง 4.9}\end{aligned}$$

ขั้นที่ 6 การเปลี่ยนค่าเอ้าต์พุตที่หาได้จากตาราง 4.9 เป็นค่าการเปลี่ยนแปลงของคิวต์ไซเดิลหลังจากที่ได้ทำคีพิชชิฟิเกชันแล้ว ก็จะได้ผลลัพธ์ในการคำนวณในรูปเอ้าต์พุต ซึ่งค่า เอ้าต์พุตนี้ยังไม่สามารถนำไปใช้ในการควบคุมแรงดันเครื่อง Jenenne Reuter กระແສສลับได้โดยตรง จึงต้องนำมาผ่านกระบวนการที่จะทำการเปลี่ยนให้ค่าของเอ้าต์พุตนั้นสามารถควบคุมแรงดันเครื่อง Jenenne Reuter กระແສສลับได้ ซึ่งวิธีการก็คือนำเอ้าต์พุตไปเปรียบเทียบกับตารางเอ้าต์พุต(ดังตาราง 4.10) ซึ่งเป็นกระบวนการกดับกันกับการหาค่าอินพุตของฟิล์ม เพื่อหาค่าการเปลี่ยนแปลงของ คิวต์ไซเดิล เมื่อได้ทำการเปลี่ยนค่าเอ้าต์พุตเป็นค่าการเปลี่ยนแปลงของคิวต์ไซเดิลแล้วก็จะสามารถ นำค่าการเปลี่ยนแปลงของคิวต์ไซเดิลไปควบคุมแรงดันเครื่อง Jenenne Reuter กระແສສลับได้ต่อไป

ตาราง 4.10 แสดงค่าความสัมพันธ์ของเอาต์พุต กับ ค่าการเปลี่ยนแปลงของคิวตี้ไซเคิลของระบบควบคุมแรงดัน

เอาต์พุต	ค่าการเปลี่ยนแปลงของคิวตี้ไซเคิล
[0.16,0.20]	4
[0.11,0.15]	3
[0.06,0.10]	2
[0.01,0.05]	1
0	0
[-0.05,-0.01]	-1
[-0.10,-0.06]	-2
[-0.15,-0.11]	-3
[-0.20,-0.16]	-4

เมื่อได้ค่าการเปลี่ยนแปลงคิวตี้ไซเคิล (Duty Cycle Change, Dch) แล้ว ก็สามารถนำค่าที่ได้ไปใช้ในวงจรชอปปอร์ (Chopper) เพื่อเปลี่ยนค่าแรงดันที่ไปตกคร่อม Exciter Field Winding เพื่อให้ได้แรงดันที่ขึ้นของเครื่องгенเนอเรเตอร์กระแสสลับตามค่าแรงดันข้างอิง (220 โวลต์)

ตัวอย่างการหา ค่าการเปลี่ยนแปลงของคิวตี้ไซเคิลของตัวควบคุมฟืชซีลอกจิกจาก  
ตาราง 4.10

ค่าการเปลี่ยนแปลงของคิวตี้ไซเคิลของตัวควบคุมฟืชซีลอกจิกที่ออกแบบไว้ ใช้เพื่อเพิ่มหรือลดค่าแรงดันที่ไปตกคร่อม Exciter Field Winding เพื่อให้ได้แรงดันที่ขึ้นของเครื่องгенเนอเรเตอร์กระแสสลับตามค่าแรงดันข้างอิง (220 โวลต์)

เมื่อยูนิสภาระ ไว้ภาระทางไฟฟ้าค่าแรงดันที่ผลิต 220 โวลต์ V ที่คิวตี้ไซเคิล 58 แต่เมื่อยังภาระทางไฟฟ้าจะทำให้แรงดันลดลงเหลือ 200 โวลต์ ดังนั้น

$$\text{ค่าความผิดพลาด (Error,E)} = 200 - 220 = -20$$

$$\text{ค่าการเปลี่ยนแปลงค่าความผิดพลาด (Error Change,Ech)} = -20 - 0 = -20$$

จากตารางกำหนดค่าความ ошибก์ในตาราง 4.6 จะได้

$$\text{ค่าความ ошибก์ของ E} = -5$$

ค่าคงนิ่ง  $E_{ch}$  ของ  $E_{ch} = -5$

เมื่อได้ค่าของอินพุตครบทั้ง 2 ตัว แล้วก็สามารถหาค่าของเอาต์พุตได้จากตาราง 4.9  
(ดังตัวอย่างการคำนวณค่าของเอาต์พุต ในตาราง 4.9) คือ

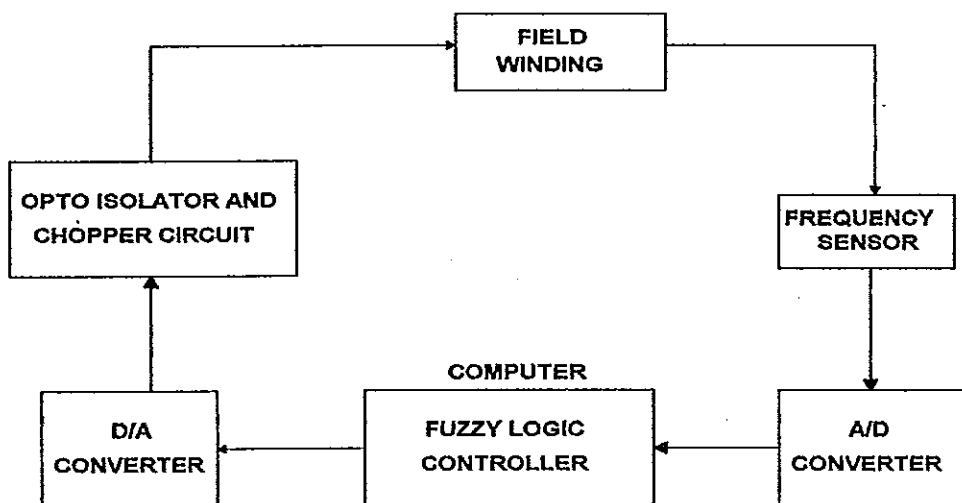
$$\text{เอาต์พุต} = 0.20$$

ซึ่งค่าเอาต์พุต = 0.20 นี้เมื่อนำไปหารค่าความสัมพันธ์ของเอาต์พุต กับ ค่าการเปลี่ยนแปลงของคิวตี้ไซเคิล ( ดังตาราง 4.10 ) จะได้ค่าการเปลี่ยนแปลงของคิวตี้ไซเคิล = 4 ดังนั้นค่าคิวตี้ไซเคิลก็จะมีค่าเท่ากับ  $58 + 4 = 62$  ซึ่งทำให้ค่าแรงดันที่ไปตกคร่อม Exciter Field Winding มีค่ามากขึ้น แล้วทำให้แรงดันที่ขึ้นของเครื่องгенเนอเรเตอร์กระแสสลับมีค่าเข้าใกล้ค่าแรงดันยังอิ่ง (220 โวลต์)

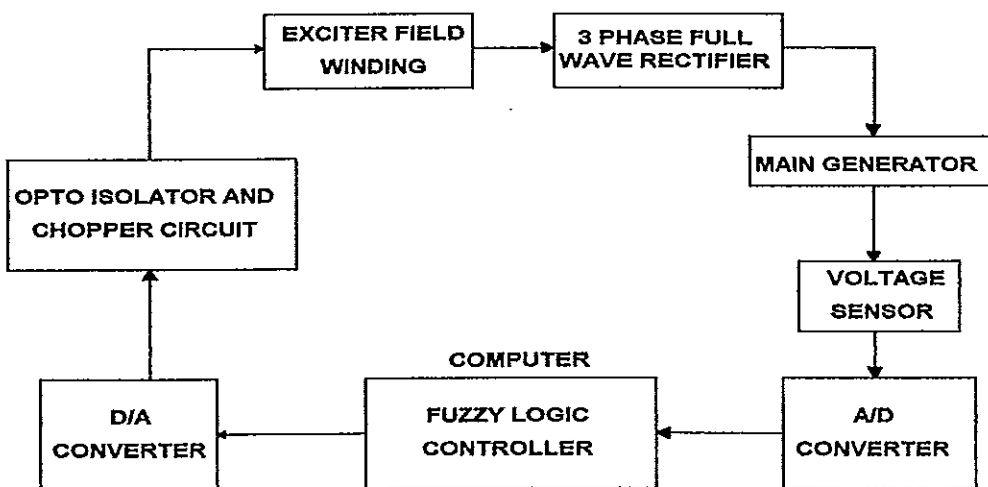
## บทที่ 5

### ระบบควบคุมชุดมอเตอร์เงนเนอเรเตอร์

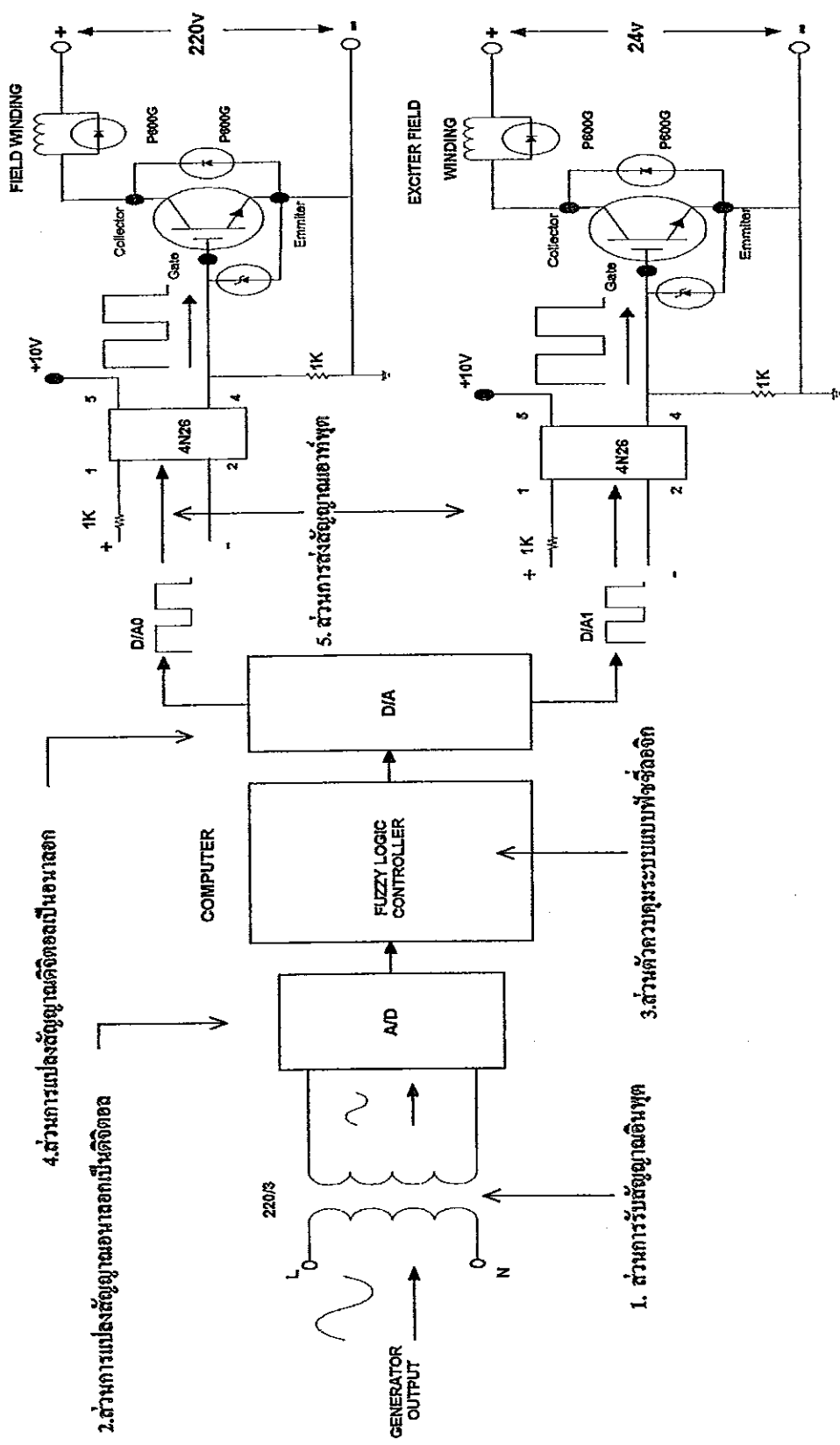
ระบบในการควบคุมความเร็วมอเตอร์กระแสตรงแบบแยกคลาดสร้างสนามแม่เหล็กและแรงดันของเงนเนอเรเตอร์ดังแสดงตามภาพประกอบ 5.1 และ 5.2 ตามลำดับ



ภาพประกอบ 5.1 แสดงระบบควบคุมความเร็วของมอเตอร์กระแสตรง



ภาพประกอบ 5.2 แสดงระบบควบคุมแรงดันของเงนเนอเรเตอร์



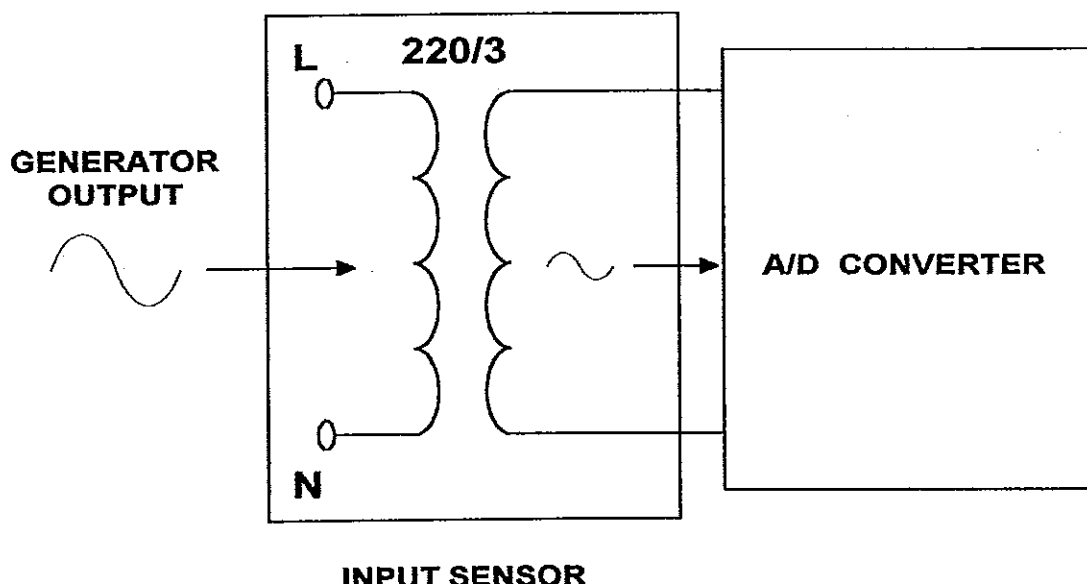
ภาพประกอบ 5.3 การทำงานของระบบการควบคุมดูดความเร็วของแม่เหล็กและจั่นหมุนเพื่อการควบคุมแรงดูดที่ทางนวนคณิตศาสตร์

ส่วนประกอบที่สำคัญของระบบควบคุมทั้งสอง มีอยู่ 5 ส่วน ดังแสดงตามภาพประกอบ 5.3 ได้แก่

1. ส่วนการรับสัญญาณอินพุต (Input Sensor)
2. ส่วนการแปลงสัญญาณอนาลอกเป็นดิจิตอล (A/D Converter , Analog to Digital Converter)
3. ส่วนตัวควบคุมระบบแบบฟูซีโลจิก (Fuzzy Logic Controller)
4. ส่วนการแปลงสัญญาณดิจิตอลเป็นอนาลอก (D/A Converter , Digital to Analog Converter)
5. ส่วนการส่งสัญญาณเอาต์พุต (Output Sensor)

### 5.1 ส่วนการรับสัญญาณอินพุต (Input Sensor)

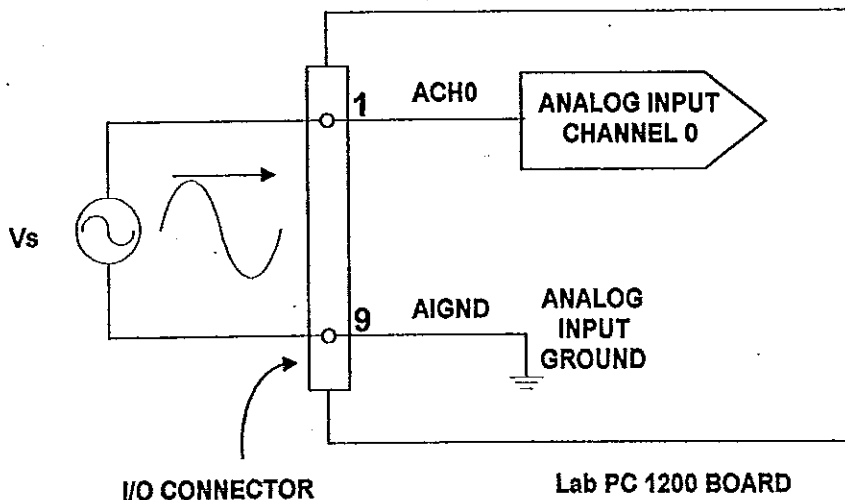
ในส่วนของการรับสัญญาณอินพุตของทั้งระบบควบคุมความเร็วของมอเตอร์กระopleft และระบบควบคุมแรงดันของ Jenenne เรตอร์ รับมาจากไฟฟ้าที่ผลิตให้จาก Jenenne เรตอร์ แล้วทำการลดแรงดันผ่านหม้อแปลงจาก 220 โวลต์ เป็น 3 โวลต์ (ดังนี้เมื่อค่าแรงดันทางค้านปั๊มน้ำเท่ากับ 220 โวลต์ ค่าแรงดันสูงสุดทางค้านทุกชิ้นของหม้อแปลงจะมีค่า  $3\sqrt{2} = 4.25$  โวลต์) เนื่องจากวงจรแปลงสัญญาณอนาลอกเป็นดิจิตอลสามารถรับค่าแรงดันสูงสุดอยู่ในช่วง  $\pm 5$  โวลต์ ดังแสดงตามภาพประกอบ 5.4



ภาพประกอบ 5.4 แสดงส่วนการรับสัญญาณอินพุตโดยผ่านหม้อแปลง

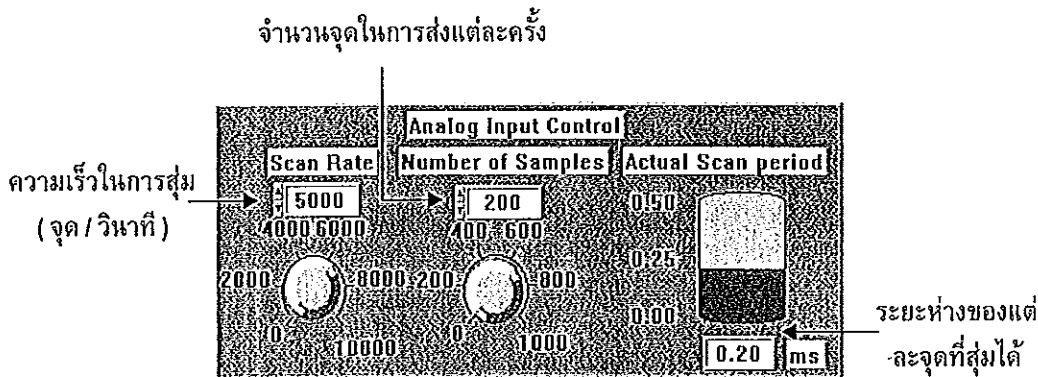
## 5.2 ส่วนการแปลงสัญญาณอนาลอกเป็นดิจิตอล (A/D Converter , Analog to Digital Converter)

หลังจากที่ได้สัญญาณอินพุตแล้ว ก็เป็นส่วนในการแปลงสัญญาณอินพุตซึ่งเป็นสัญญาณ ana log ให้เป็นสัญญาณดิจิตอล โดยส่งสัญญาณอินพุตไปยังการ์ด Lab PC 1200 (ที่ ACH 0) ซึ่งเป็นการ์ดที่สนับสนุนการทำงานของโปรแกรม Labview โดยมีจำนวนบิตของการแปลงสัญญาณ ana log เป็นดิจิตอล 12 บิต ความละเอียดของการแบ่งระดับสัญญาณเท่ากับ 4096 ระดับ โดยสัญญาณที่การ์ดสามารถรับได้อยู่ในช่วง  $\pm 5$  โวลต์ ค้างแสดงดังภาพประกอบ 5.5



ภาพประกอบ 5.5 แสดงการรับสัญญาณอินพุตไปยังการ์ด Lab PC 1200

โดยในส่วนของการแปลงสัญญาณอนาลอกเป็นดิจิตอล สามารถมีการกำหนดความเร็วในการสู่น (Scan Rate) ได้ถึง 100,000 จุด/วินาที และสามารถกำหนดจำนวนจุดที่ใช้ในการสู่นแต่ละครั้งได้ ดังแสดงดังภาพประกอบ 5.6



### ภาพประกอบ 5.6 แสดงความเร็วในการสุ่มและจำนวนจุดที่ใช้ในการสุ่มแต่ละครั้ง

โดยใช้โปรแกรม Labview

จากภาพประกอบ 5.6 จะเห็นได้ว่าความเร็วของการสุ่มเท่ากับ 5000 จุด/วินาที ซึ่งจะทำให้ทราบค่าระยะห่างของแต่ละจุดที่สุ่มได้ =  $1/5000$  วินาที

$$= 0.0002 \text{ วินาที}$$

$$= 0.2 \text{ มิลลิวินาที}$$

และจากจำนวนจุดที่สุ่มแต่ละครั้งเท่ากับ 200 จุด ดังนั้น ช่วงเวลาในการสุ่มแต่ละครั้งสามารถคำนวณได้

$$= 0.0002 * 200 \text{ วินาที}$$

$$= 0.04 \text{ วินาที}$$

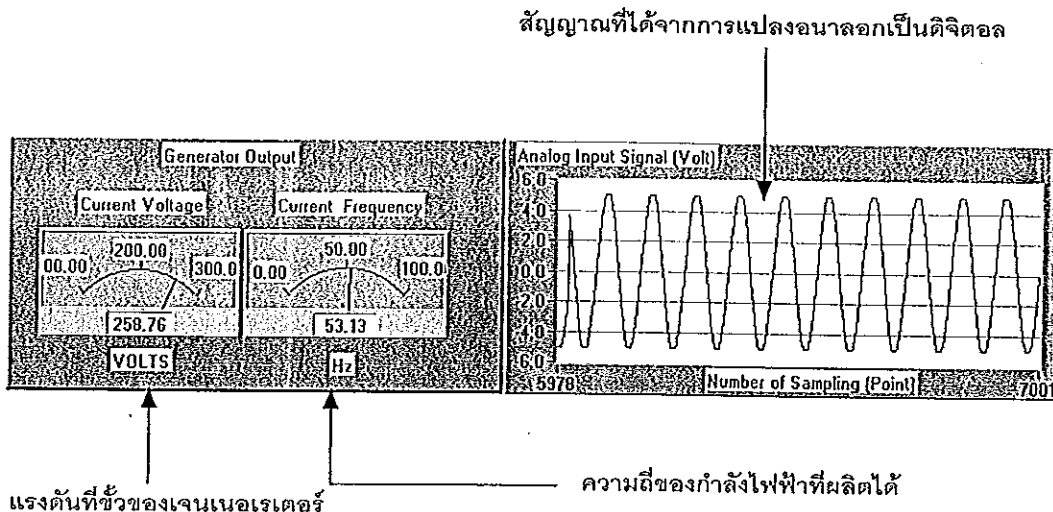
$$= 40 \text{ มิลลิวินาที}$$

เนื่องจากในการทดลอง ทำการรับกระบวนการโดยการเพิ่มและลดภาระทางไฟฟ้าสูงสุดอย่างทันทีทันใด ดังนั้นในส่วนของการแปลงสัญญาณอนาล็อกเป็นดิจิตอลในงานวิจัยนี้จึงกำหนดความเร็วในการสุ่ม (Scan Rate) 5,000 จุด/วินาที เพราะในการทดลองสามารถรับค่าการเปลี่ยนแปลงของความถี่และแรงดันไฟฟ้าที่ผลิตได้รวดเร็วและไม่ทำให้การทำงานของระบบช้าเกินไป นอกจากนี้ในการกำหนดจำนวนจุด 200 จุดที่ใช้ในการสุ่มแต่ละครั้ง (เมื่อความเร็วในการสุ่มเท่ากับ 5,000 จุด/วินาที ทำให้ช่วงเวลาในการสุ่มแต่ละครั้งเท่ากับ 40 มิลลิวินาทีซึ่งเป็น 2 เท่าของค่าของไฟฟ้าที่ผลิตได้) เนื่องจากต้องการเฉลี่ยค่าความถี่และแรงดันที่คำนวณจากโปรแกรม เพื่อลดค่าความผิดพลาดในการหาค่าความถี่และแรงดันของไฟฟ้าที่ผลิตได้

### 5.3 ส่วนตัวควบคุมระบบแบบฟูซซีโลจิก (Fuzzy Logic Controller)

เมื่อผ่านขั้นตอนการแปลงสัญญาณอนาล็อกเป็นดิจิตอลแล้ว ก็จะทำการหาค่าตัวแปรเพื่อใช้ในการหาฟูซซีอินพุต ได้แก่ความถี่เพื่อใช้ในการควบคุมความเร็วของเตอร์กระแสน้ำ และ

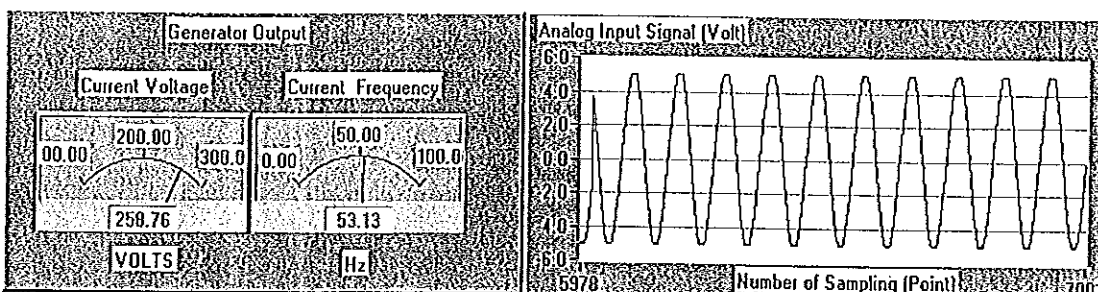
แรงดันเพื่อใช้ในการควบคุมแรงดันเงินเนอเรเตอร์ โดยในการคำนวณหาทั้งความถี่และแรงดันสามารถหาจากสัญญาณที่ได้จากการแปลงสัญญาณจากอนาล็อกเป็นดิจิตอล แล้วนำมาคำนวณโดยใช้โปรแกรม Labview โดยแสดงดังภาพประกอบ 5.7



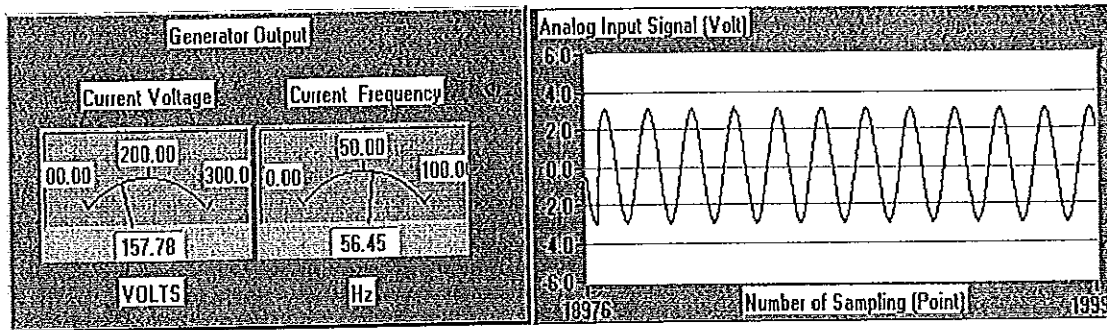
ภาพประกอบ 5.7 แสดงค่าแรงดันและความถี่ที่เงินเนอเรเตอร์ผลิตได้ โดยคำนวณจากสัญญาณที่ได้จากการแปลงอนาล็อกเป็นดิจิตอล

จากภาพประกอบ 5.7 เราสามารถคำนวณหาแรงดันที่ขึ้นของเงินเนอเรเตอร์ได้จากการคำนวณค่าแรงดันสูงสุดที่ได้จากการสูบแต่ละครั้งแล้วนำมาคูณกับค่าสัดส่วนแรงดันของหม้อแปลง ส่วนในการหาค่าความถี่ของไฟฟ้าที่ผลิตได้นั้นสามารถคำนวณได้จากการที่เราทราบระหบห่างของแต่ละจุด และทำการหาช่วงของการเปลี่ยนเครื่องหมายบวกและลบ ทำให้ทราบค่าของคาน เมื่อทราบคานก็สามารถหาความถี่ได้

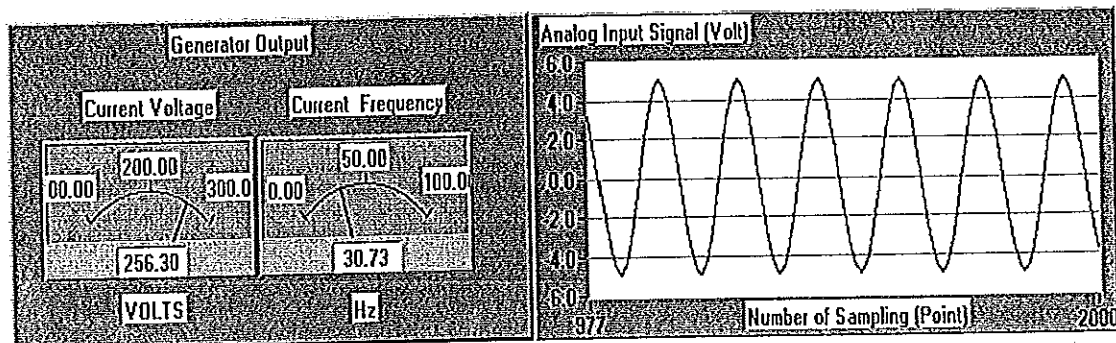
โดยจากภาพประกอบ 5.8 ถึง 5.12 แสดงการคำนวณและความถี่ที่ได้แตกต่างกัน เมื่อสัญญาณมีการเปลี่ยนแปลงแรงดันและความถี่จากเงินเนอเรเตอร์



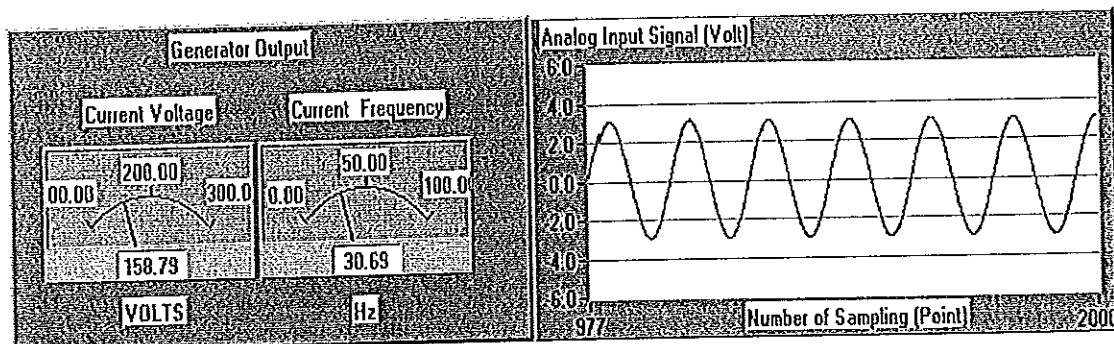
ภาพประกอบ 5.8 แสดงค่าแรงดันและความถี่ที่สูงกว่าค่าอ้างอิง (220 โวลต์, 50 เฮิรตซ์)



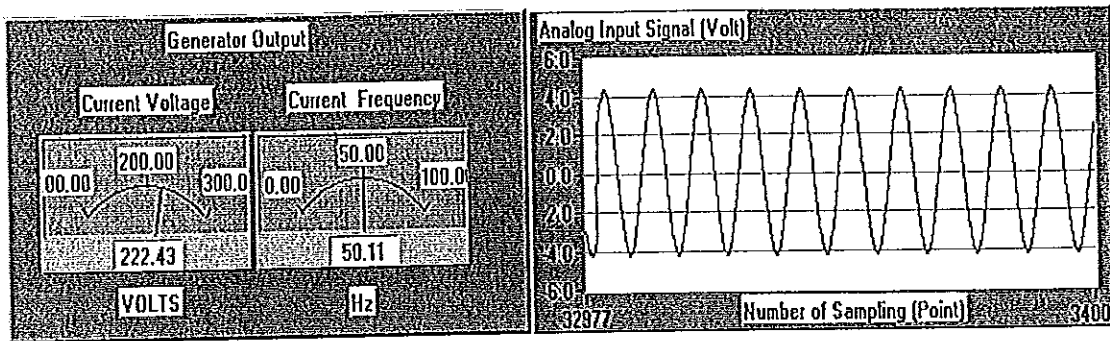
ภาพประกอบ 5.9 แสดงค่าแรงดันต่ำกว่าค่าอ้างอิงแต่ความถี่สูงกว่าค่าอ้างอิง



ภาพประกอบ 5.10 แสดงค่าแรงดันสูงกว่าค่าอ้างอิงแต่ความถี่ต่ำกว่าค่าอ้างอิง

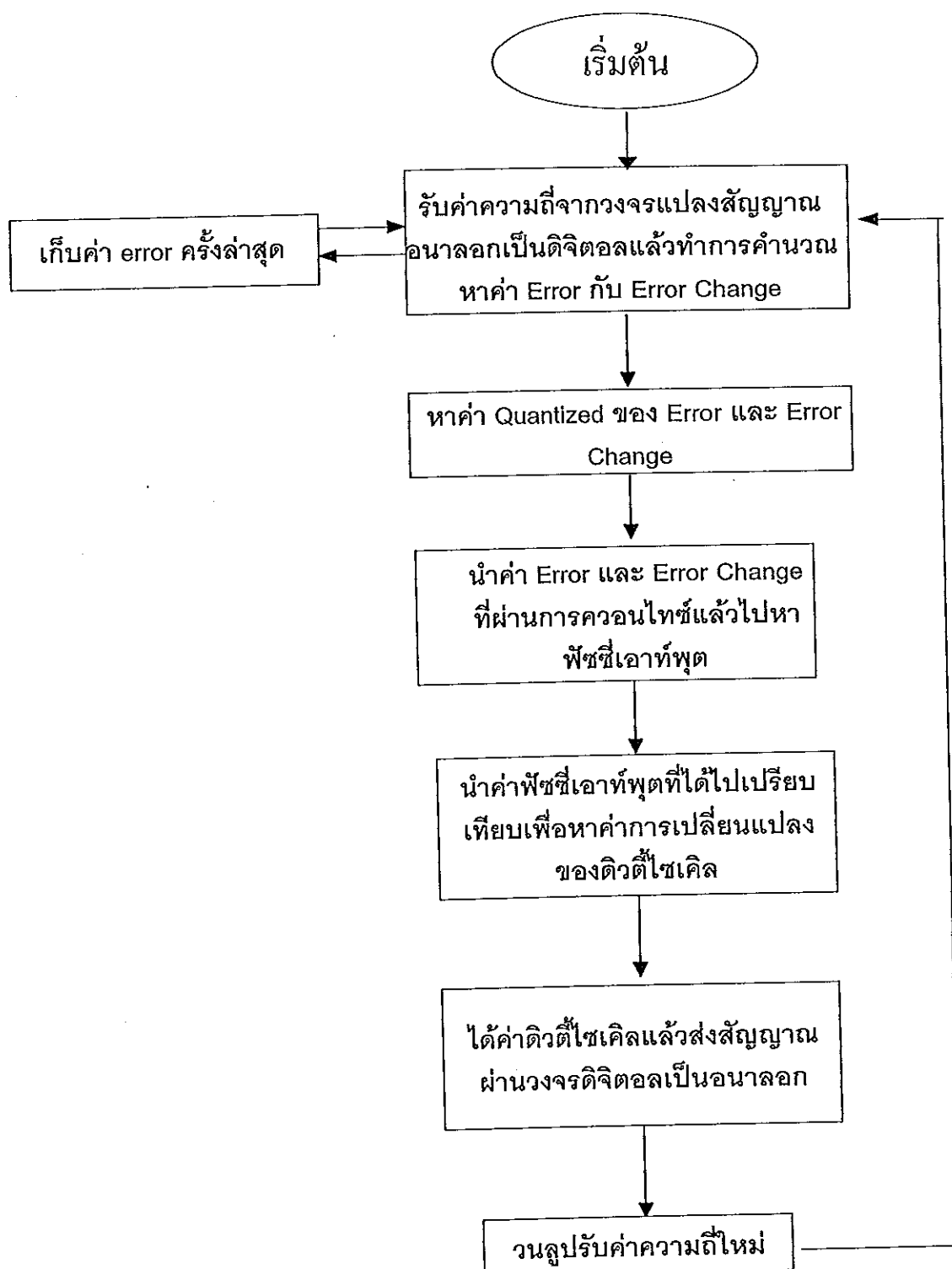


ภาพประกอบ 5.11 แสดงค่าแรงดันและความถี่ต่ำกว่าค่าอ้างอิง

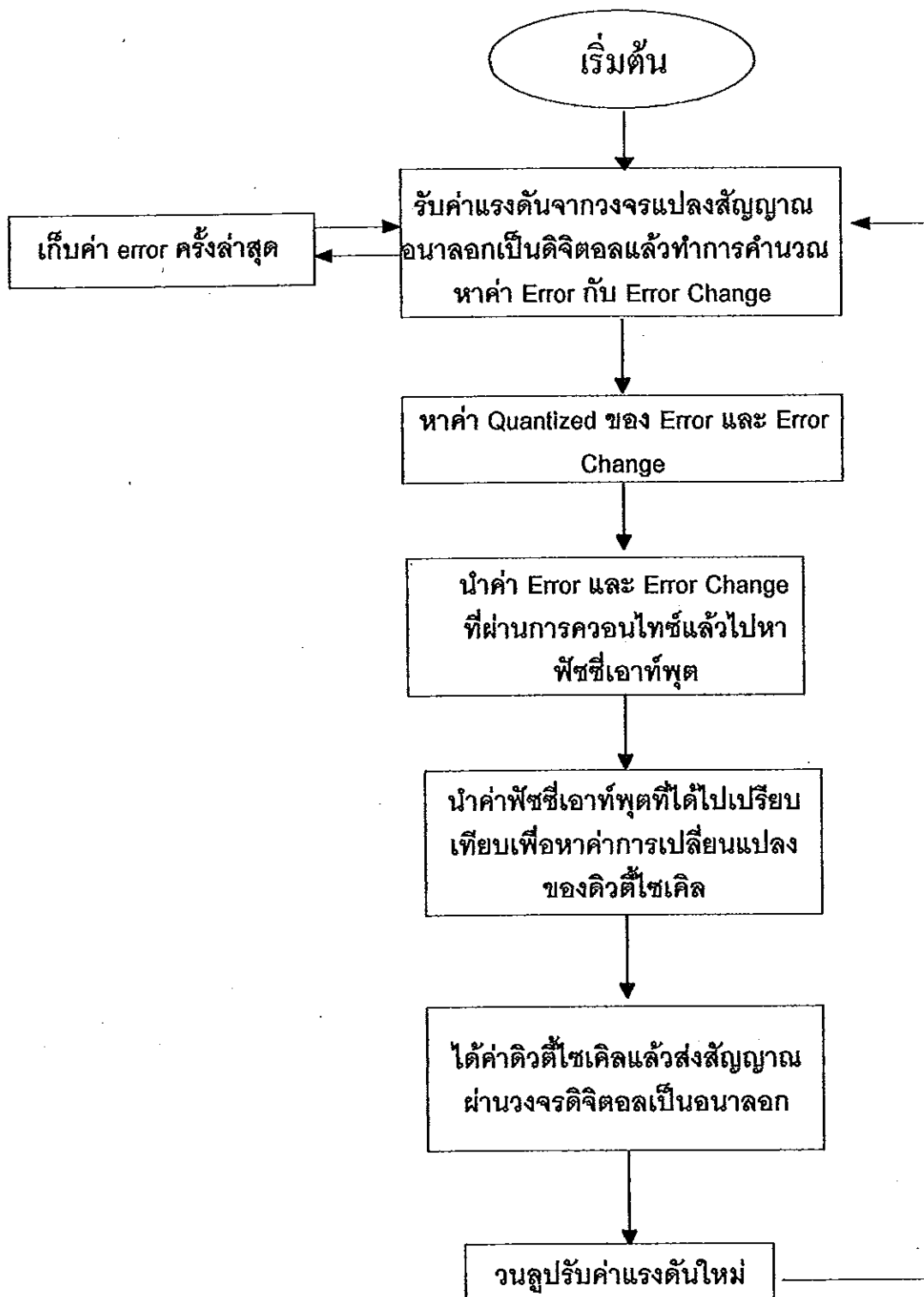


ภาพประกอบ 5.12 แสดงค่าแรงดันและความถี่ที่ใกล้เคียงค่าอ้างอิง

เมื่อได้ค่าอินพุตของฟิล์เตอร์ทั้ง 2 ตัวแล้ว ก็จะคำนวณหาค่าการเปลี่ยนแปลงของดิวตี้ไซเคิลของทั้ง 2 ระบบ ส่งผ่านวงจรแปลงคิจิตอลเป็นอนาลอก เพื่อให้มีการเปลี่ยนแปลงแรงดันที่ตกลงร่วมขดลวดสร้างสนามแม่เหล็กของมอเตอร์กระแสตรงแบบแยกขดลวดสร้างสนามแม่เหล็กและแรงดันที่ตกลงร่วม Exciter Field Winding ของเจนเนอเรเตอร์ เพื่อให้ค่าความถี่และแรงดันที่ได้มีค่าเข้าใกล้ค่าอ้างอิง (ดังที่ได้กล่าวมาแล้วในบทที่ 4) ซึ่งแสดงขั้นตอนการควบคุมความเร็วของมอเตอร์กระแสตรง และขั้นตอนการควบคุมแรงดันของเครื่องгенเนอเรเตอร์ ดังภาพประกอบ 5.13 และ 5.14 ตามลำดับ



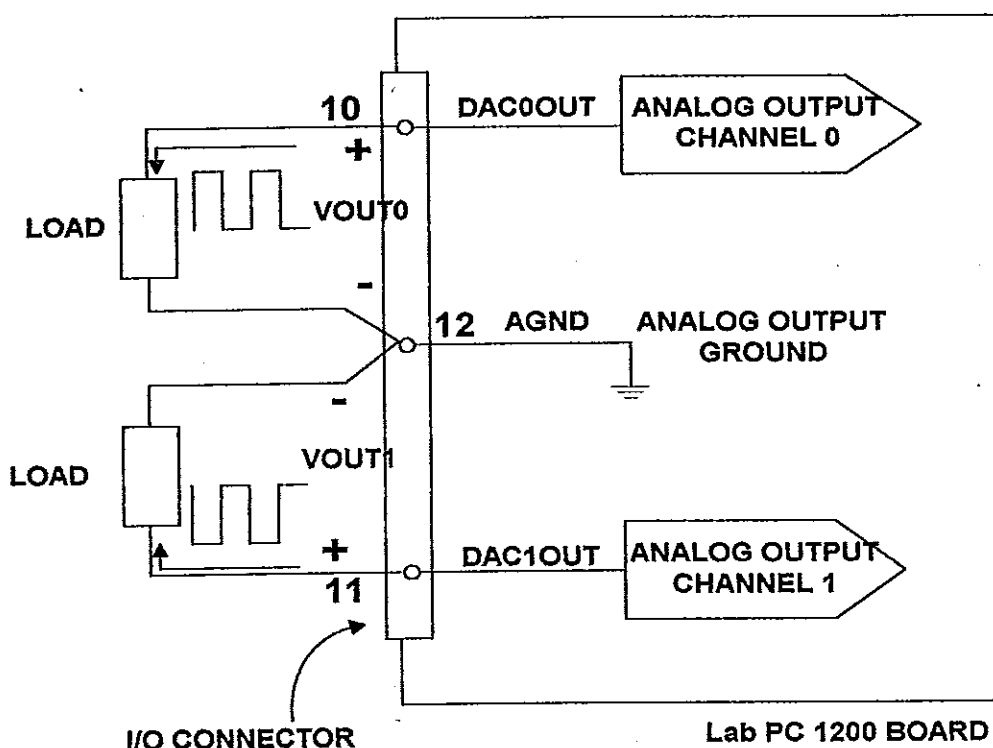
ภาพประกอบ 5.13 แสดงขั้นตอนการควบคุมความเร็วของมอเตอร์กระแสตรง



ภาพประกอบ 5.14 แสดงขั้นตอนการควบคุมแรงดันของเครื่อง Jenen เนอเรเตอร์

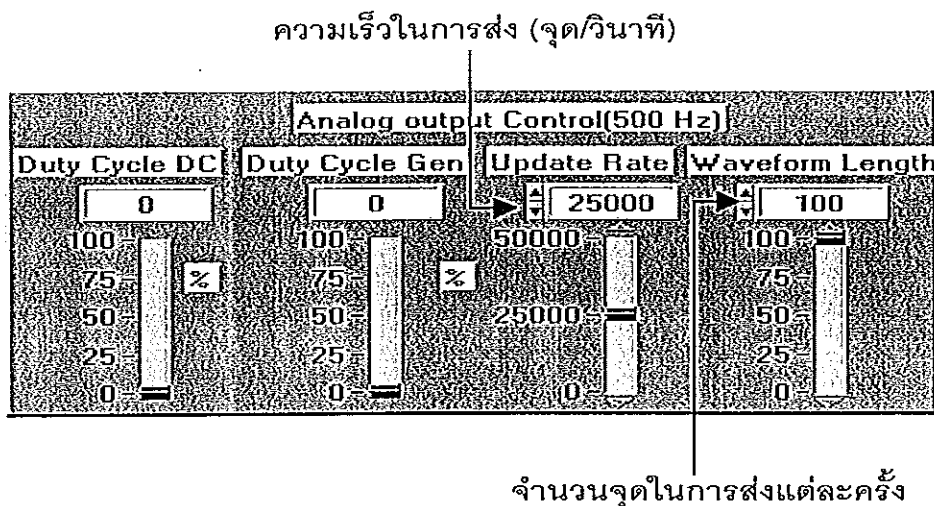
#### 5.4 ส่วนการแปลงสัญญาณดิจิตอลเป็นอนาล็อก (Digital to Analog: D/A Converter)

หลังจากที่ได้สัญญาณค่าการเปลี่ยนแปลงគิตร์ไซเดลของระบบทั้งสองจากส่วนตัวควบคุมแบบฟซซที่ถูกอินพุตแล้ว ก็เป็นส่วนการแปลงสัญญาณดิจิตอลเป็นอนาล็อก โดยส่งสัญญาณแรงดัน + 5 โวลต์ (ซึ่งสามารถกำหนดค่าได้ตั้งแต่ 0 ถึง 100 เมอร์เซ็นต์) ออกจากкар์ด Lab PC 1200 โดยสัญญาณความคุณความเรื่องของเตอร์ส่งออกที่ขา 10 ของкар์ด Lab PC 1200 และสัญญาณความคุณแรงดันแทนเนอเรเตอร์ส่งออกที่ขา 11 ของкар์ด Lab PC 1200 โดยมีจำนวนบิตของการแปลงสัญญาโนนาล็อกเป็นดิจิตอล 12 บิต ความละเอียดของการแบ่งระดับสัญญาณเท่ากับ 4096 ระดับ ดังแสดงดังภาพประกอบ 5.15



ภาพประกอบ 5.15 แสดงการส่งสัญญาโนอกจากขา 10 และ 11 ของкар์ด Lab PC 1200

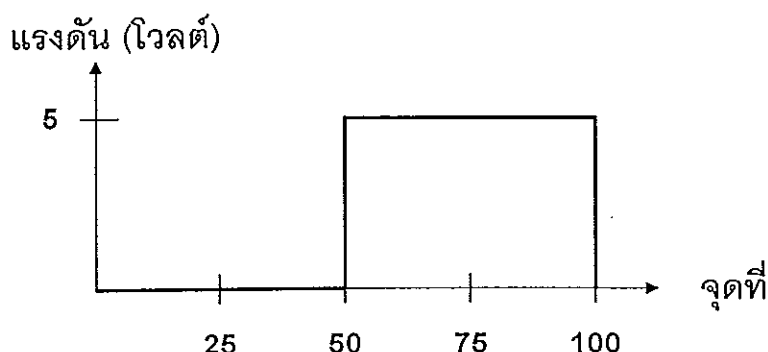
โดยในส่วนของการแปลงสัญญาโนดิจิตอลเป็นอนาล็อก สามารถกำหนดความเร็วในการส่ง (Update Rate) และสามารถกำหนดจำนวนบิตที่ใช้ในการส่งแต่ละครั้งได้ ดังแสดงดังภาพประกอบ 5.16



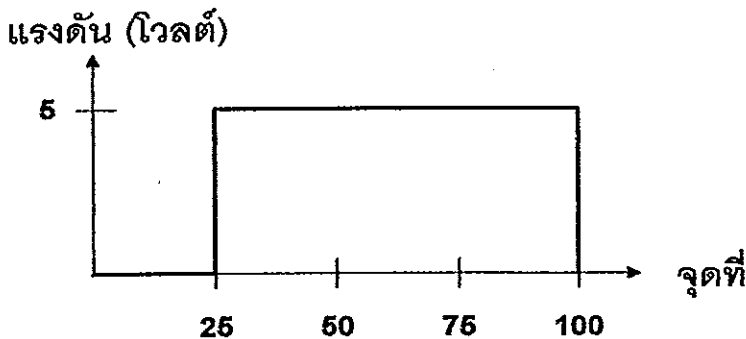
ภาพประกอบ 5.16 แสดงความเร็วในการส่งและจำนวนจุดที่ใช้ในการส่งแต่ละครั้ง โดยใช้โปรแกรม Labview

จากภาพประกอบ 5.16 จะเห็นได้ว่าความเร็วของการส่งเท่ากับ 25000 จุด/วินาที และมีจำนวนจุดในการส่งแต่ละครั้งเท่ากับ 100 จุด แสดงว่าทุกๆ 100/25000 วินาทีจะมีการส่งสัญญาณ ออกไป ซึ่งความสามารถหาก้าวตามได้เท่ากับ 1/250 วินาที ดังนั้นความถี่ในการส่งสัญญาณเท่ากับ 250( 250/1) เฮิรตซ์

จากจำนวนจุดที่ส่งแต่ละครั้งเท่ากับ 100 จุด เราสามารถกำหนดค่าดิวตี้ไซเคิลได้จากการกำหนดค่าแรงดันของแต่ละจุด โดยให้ค่าแรงดันที่กำหนดเป็น 0 หรือ 5 โวลต์ เช่น ถ้ากำหนดค่าแรงดันของจุดที่ 1 ถึง 50 เป็น 0 โวลต์ และค่าของจุดที่ 51 ถึง 100 เป็น 5 โวลต์ ดังนั้น ค่าดิวตี้ไซเคิลเท่ากับ 50 เมอร์เซ็นต์ หรือ ถ้ากำหนดค่าแรงดันของจุดที่ 1 ถึง 25 เป็น 0 โวลต์ และค่าของจุดที่ 26 ถึง 100 เป็น 5 โวลต์ ดังนั้น ค่าดิวตี้ไซเคิลเท่ากับ 75 เมอร์เซ็นต์ ดังแสดงดังภาพประกอบ 5.17 และ 5.18 ตามลำดับ



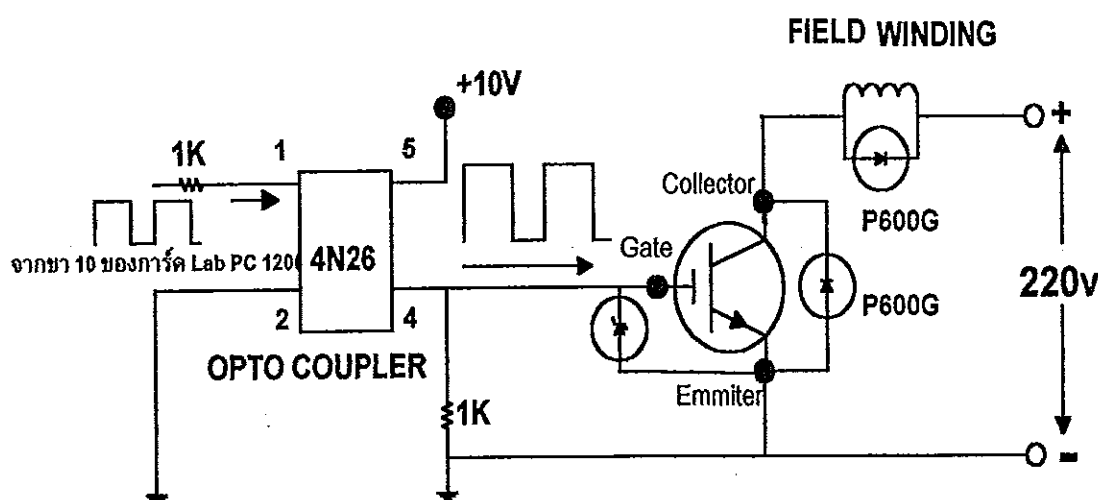
ภาพประกอบ 5.17 แสดงการส่งสัญญาณที่มีค่าดิวตี้ไซเคิล 50 เมอร์เซ็นต์



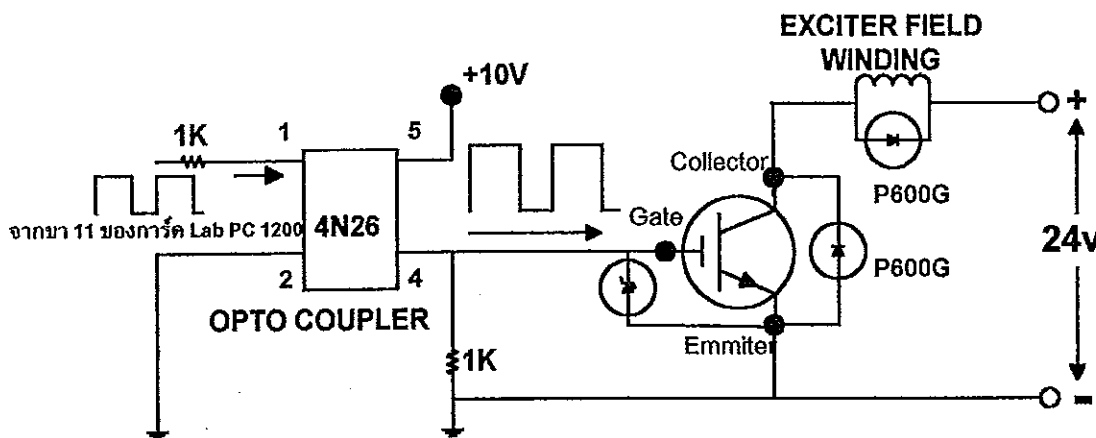
ภาพประกอบ 5.18 แสดงการส่งสัญญาณที่มีค่าดิวตี้ไซเคิล 75 เปอร์เซ็นต์

### 5.5 ส่วนการส่งสัญญาณอาต์พูต(Output Sensor)

หลังจากได้สัญญาณที่ออกจากขา 10 และ 11 ของการ์ด Lab PC 1200 ซึ่งสามารถกำหนดค่าดิวตี้ไซเคิลจากส่วนควบคุมแบบพิชชี(โดยใช้โปรแกรม Labview) ได้ว่าสัญญาณที่ส่งออกจากขา 10 เป็นสัญญาณความคุณที่ทำให้เกิดการเปลี่ยนแปลงค่าแรงดันที่ตอกคร่องของโครงสร้างสนามแม่เหล็ก (Field Winding) ซึ่งทำให้เกิดการเปลี่ยนค่าความเร็วของมอเตอร์กระแสตรง และสัญญาณアナลอกที่ส่งออกจากขา 11 เป็นสัญญาณความคุณที่ทำให้เกิดการเปลี่ยนแปลงค่าแรงดันที่ตอกคร่อง Exciter Field Winding ซึ่งทำให้เกิดการเปลี่ยนค่าแรงดันของเงินเนอเรเตอร์ ดังแสดงตามภาพประกอบ 5.19 และ 5.20 ตามลำดับ



ภาพประกอบ 5.19 แสดงส่วนการส่งสัญญาณไปควบคุมความเร็วของมอเตอร์กระแสตรง

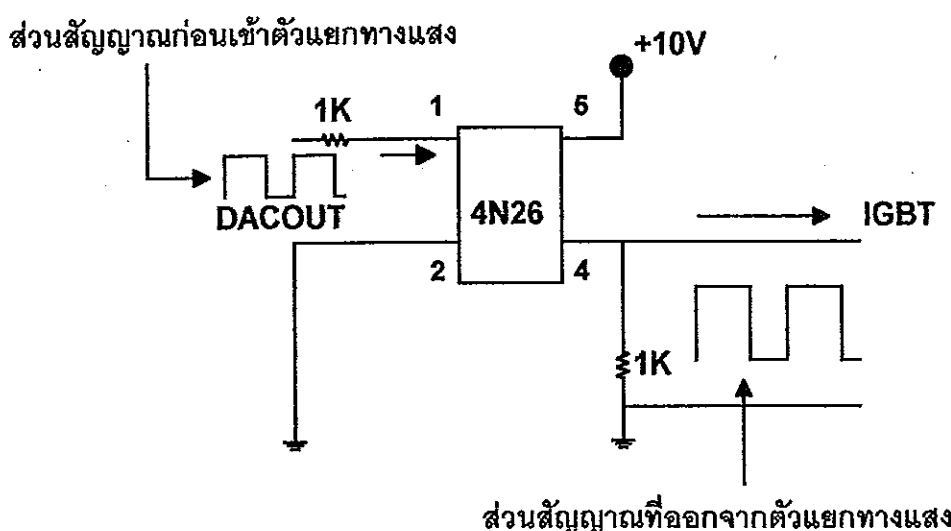


ภาพประกอบ 5.20 แสดงส่วนการส่งสัญญาณไปควบคุมแรงดัน genetics เอตเตอร์

จากภาพประกอบ 5.19 และ 5.20 จะเห็นว่าได้มีการแยกระหว่างของวงจรควบคุม กับวงจรกำลัง โดยใช้ตัวแยกทางแสง(opto-isolator) หรือเรียกอีกอย่างว่าตัวเชื่อม ไยทางแสง (opto-coupler) ในที่นี้ใช้ตัวแยกทางแสงเบอร์ 4N26 (รายละเอียดเพิ่มเติมในภาคผนวก ข) ซึ่งใน ส่วนการส่งสัญญาณเอาต์พุตจะแบ่งได้เป็น 2 ส่วน ได้แก่ ( ดังแสดงตามภาพประกอบ 5.21 )

5.5.1 ส่วนสัญญาณก่อนเข้าตัวแยกทางแสง

5.5.2 ส่วนสัญญาณที่ออกจากตัวแยกทางแสง

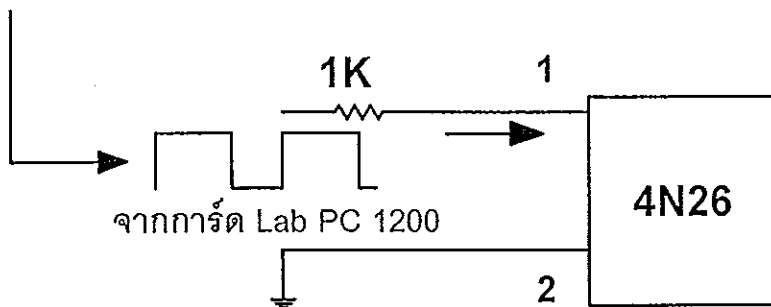


ภาพประกอบ 5.21 แสดงสัญญาณที่เข้าและออกจากตัวแยกทางแสง

### 5.5.1 ส่วนสัญญาณก่อนเข้าตัวแยกทางแสง

เป็นส่วนที่รับสัญญาณจากการ์ด Lab PC 1200 ดังแสดงในภาพประกอบ 5.22

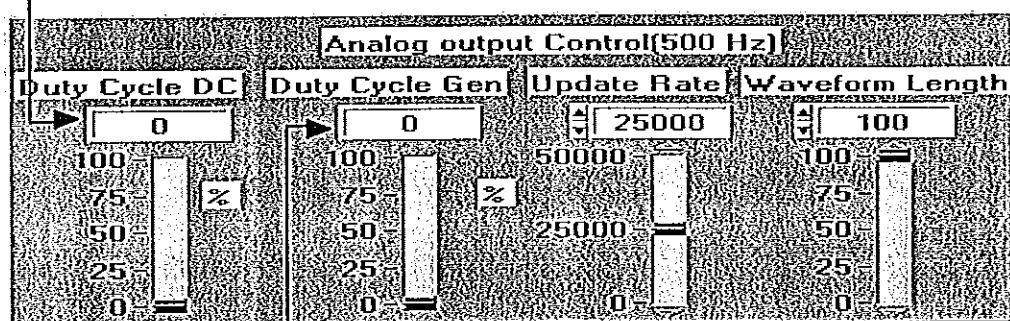
#### ส่วนสัญญาณก่อนเข้าตัวแยกทางแสง



ภาพประกอบ 5.22 แสดงส่วนสัญญาณก่อนเข้าตัวแยกทางแสงที่รับมาจาก การ์ด Lab PC 1200

โดยสัญญาณจากขา 10 ของการ์ด Lab PC 1200 เป็นสัญญาณควบคุมที่ทำให้เกิดการเปลี่ยนแปลงค่าแรงดันที่ตอกคร่อมขดลวดสร้างสนามแม่เหล็ก(Field Winding) ทำให้เกิดการเปลี่ยนค่าความเร็วของมอเตอร์กระแสตรง และ โดยสัญญาณจากขา 11 ของการ์ด Lab PC 1200 เป็นสัญญาณควบคุมที่ทำให้เกิดการเปลี่ยนแปลงค่าแรงดันของเจนเนอเรเตอร์ ดังแสดงในภาพประกอบ โดยสัญญาณที่ได้สามารถกำหนดค่าดิจิต์ไซเคิลได้ในส่วนของตัวควบคุมแบบฟิซิสิกิจ (โดยใช้โปรแกรม Labview , ดังแสดงในภาพประกอบ 5.23 )

แสดงค่าดิจิต์ไซเคิลของสัญญาณที่ส่งจากขา 10 ของการ์ดLab PC 1200

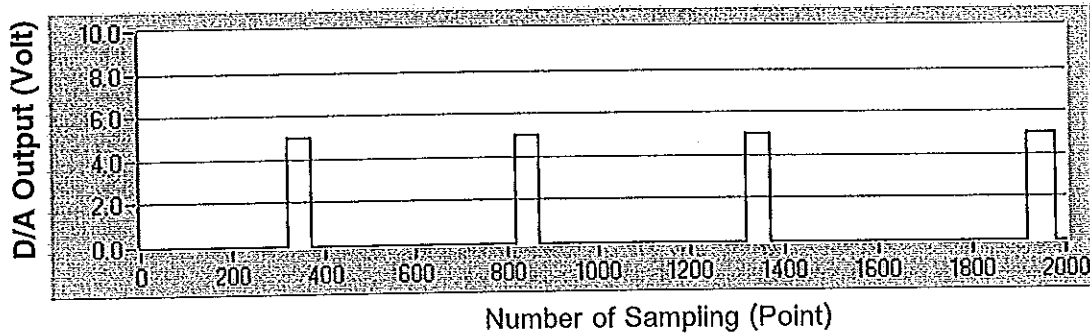


แสดงค่าดิจิต์ไซเคิลของสัญญาณที่ส่งจากขา 11 ของการ์ดLab PC 1200

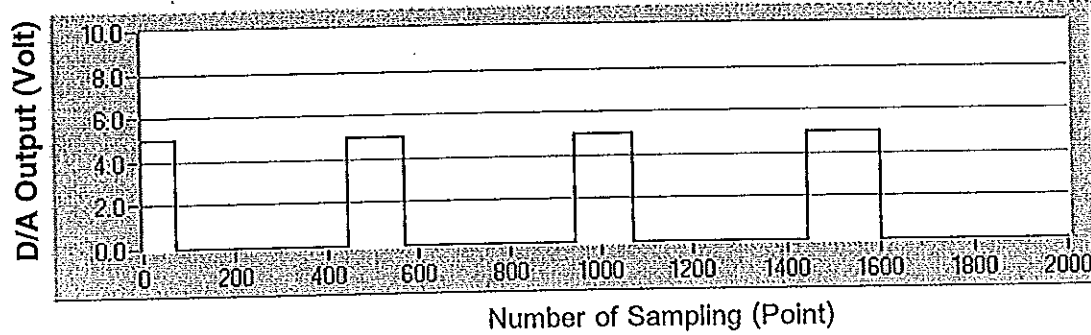
ภาพประกอบ 5.23 แสดงค่าดิจิต์ไซเคิลของสัญญาณที่ส่งออกจากการ์ด Lab PC 1200

ดังแสดงภาพสัญญาณก่อนเข้าตัวแยกทางแสงที่มีค่าดิวตี้ไซเกลต่างกันตามภาพประกอบ 5.24

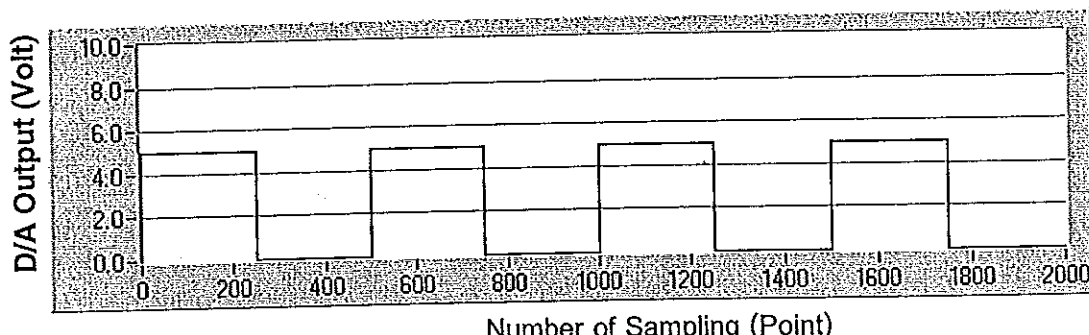
ดิจ 5.28



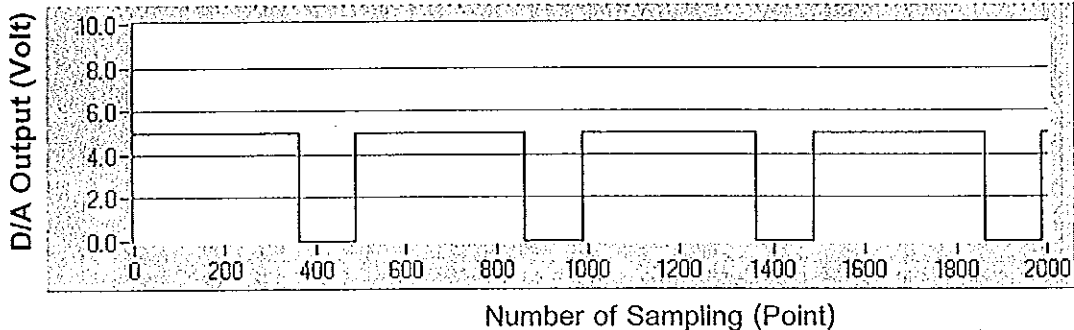
ภาพประกอบ 5.24 แสดงภาพสัญญาณก่อนเข้าตัวแยกทางแสงที่มีค่าดิวตี้ไซเกล 10 %



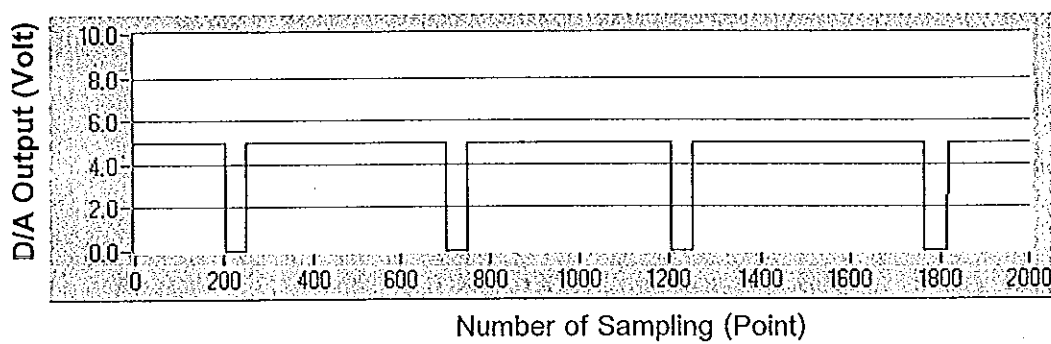
ภาพประกอบ 5.25 แสดงภาพสัญญาณก่อนเข้าตัวแยกทางแสงที่มีค่าดิวตี้ไซเกล 25 %



ภาพประกอบ 5.26 แสดงภาพสัญญาณก่อนเข้าตัวแยกทางแสงที่มีค่าดิวตี้ไซเกล 50 %



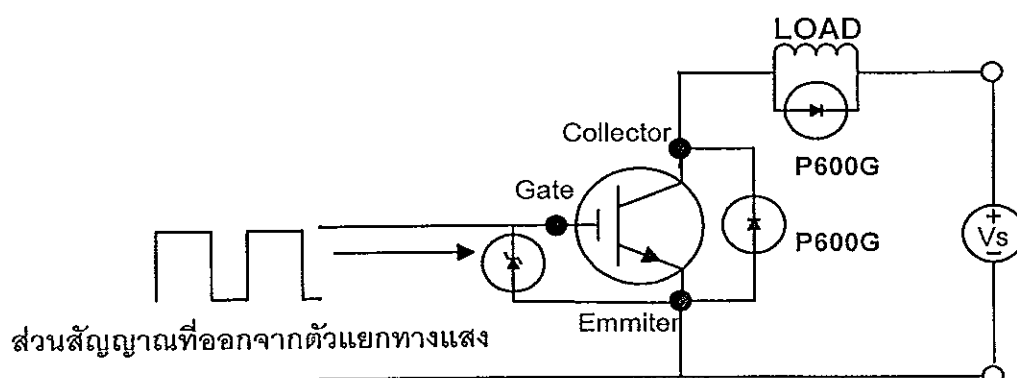
ภาพประกอบ 5.27 แสดงภาพสัญญาณก่อนเข้าตัวแยกทางแสงที่มีค่าดิวตี้ไซเคิล 75 %



ภาพประกอบ 5.28 แสดงภาพสัญญาณก่อนเข้าตัวแยกทางแสงที่มีค่าดิวตี้ไซเคิล 90 %

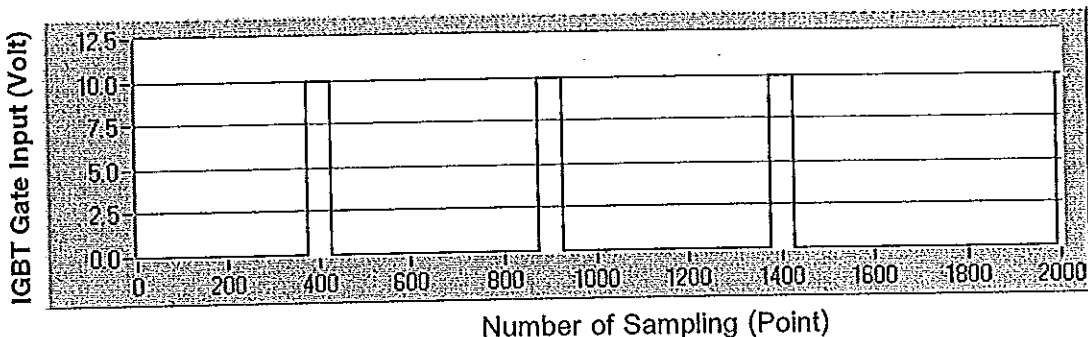
### 5.5.2 ส่วนสัญญาณที่ออกจากตัวแยกทางแสง

เป็นส่วนสัญญาณที่เข้ามาเกตของไอจีบีที(รายละเอียดเพิ่มเติมในภาคผนวก ก) ซึ่งไอจีบีทีทำหน้าที่เป็นสวิตช์ ซึ่งถ้าสัญญาณที่เข้ามาเกตมีแรงดัน 10 โวลต์ ก็จะมีการนำกระแสของไอจีบีทีทำให้มีแรงดันจากแหล่งจ่ายไฟกระแสตรง (Vs) ตกคร่อมภาระ (Load) แต่ถ้าสัญญาณที่เข้ามาเกตมีแรงดัน 0 โวลต์ ทำให้ไอจีบีทีหยุดนำกระแส ทำให้มีแรงดันจากแหล่งจ่ายไฟกระแสตรงตกคร่อมภาระ ซึ่งเรียกวิธีแบบนี้ว่าวงจรชอปเปอร์ (Chopper Circuit) ดังแสดงในภาพประกอบ 5.29

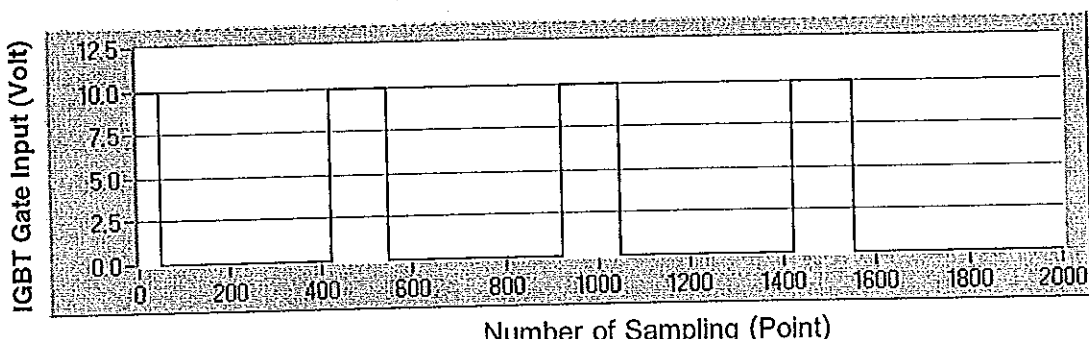


ภาพประกอบ 5.29 แสดงส่วนการทำงานของวงจรชอปเปอร์โดยใช้ไอจีบีที

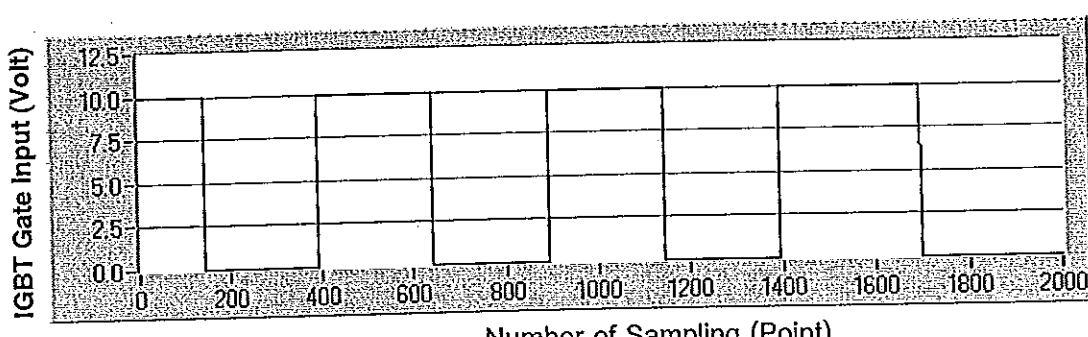
จากหลักการของจราชอบเบอร์ที่ได้กล่าวมาข้างต้น จะเห็นว่าหากส่วนสัญญาณที่ออกจากตัวแยกทางแสงที่เข้ามายังขาเกตของไอิบีที่มีค่าดิวตี้ใช้เคิลต่ำ ก็ทำให้แรงดันที่ตอกคร่องภาระก่อตัวด้วยและเช่นเดียวกัน หากสัญญาณที่ออกจากตัวแยกทางแสงที่เข้ามายังขาเกตของไอิบีที่มีค่าดิวตี้ใช้เคิลสูง ทำให้แรงดันที่ตอกคร่องภาระก่อตัวสูงด้วย ดังแสดงภาพสัญญาณที่ออกจากตัวแยกทางแสงที่มีค่าดิวตี้ใช้เคิลต่างกันตามภาพประกอบ 5.30 ถึง 5.34



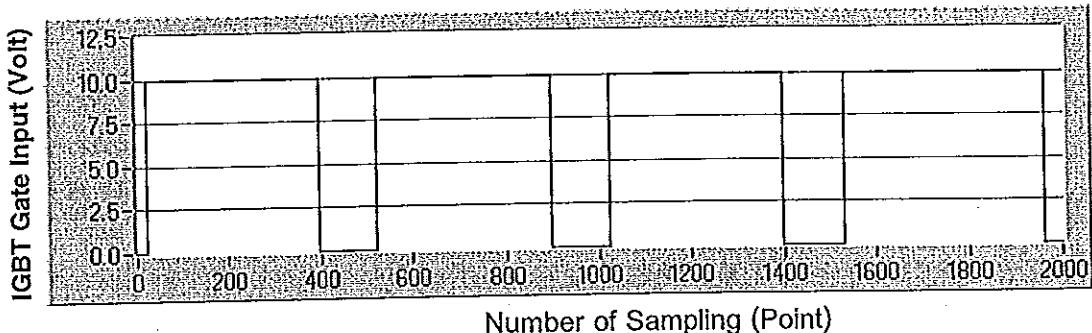
ภาพประกอบ 5.30 แสดงภาพสัญญาณที่ออกจากตัวแยกทางแสงที่มีค่าดิวตี้ใช้เคิล 10 %



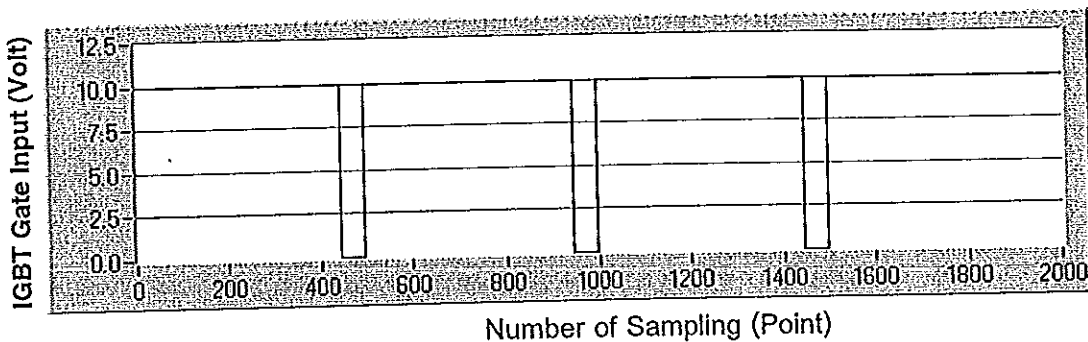
ภาพประกอบ 5.31 แสดงภาพสัญญาณที่ออกจากตัวแยกทางแสงที่มีค่าดิวตี้ใช้เคิล 25 %



ภาพประกอบ 5.32 แสดงภาพสัญญาณที่ออกจากตัวแยกทางแสงที่มีค่าดิวตี้ใช้เคิล 50 %



ภาพประกอบ 5.33 แสดงภาพสัญญาณที่ออกจากตัวแยกทางแสงที่มีค่าดิวตี้ไซเคิล 75 %



ภาพประกอบ 5.34 แสดงภาพสัญญาณที่ออกจากตัวแยกทางแสงที่มีค่าดิวตี้ไซเคิล 90 %

#### ตัวอย่างในการควบคุมระบบตัวตัวควบคุมฟซชีลอดจิก

ในที่นี้จะยกตัวอย่างการควบคุมแรงดันของเกนเนอเรเตอร์ เช่น เมื่ออุปกรณ์ในสภาวะไร้ภาระทางไฟฟ้าค่าแรงดันที่ผลิต 220 โวลต์ โดยค่าดิวตี้ไซเคิลเท่ากับ 58 % เมื่อมีภาระเปลี่ยนแปลงภาระทางไฟฟ้า ค่าดิวตี้ไซเคิลก็คงที่ที่ 58 % แต่มีมีการเพิ่มภาระทางไฟฟ้าแรงดันที่ผลิตลดเหลือ 200 โวลต์ ทำให้ระบบการควบคุมแบบฟซชีลอดจิกทำงาน เพื่อที่จะรักษาแรงดันแรงดันอ้างอิงที่ 220 โวลต์ให้ได้แบบทันใจ(Real-time) โดยมีการทำงานตาม 5 ขั้นตอนที่ได้กล่าวมาแล้วกือ

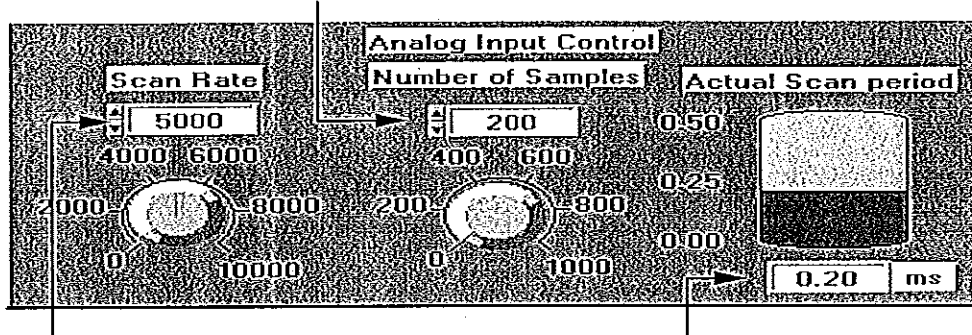
##### 1. ส่วนการรับสัญญาณอินพุต (Input Voltage Sensor)

เมื่อมีภาระทางไฟฟ้า ทำให้แรงดันที่ผลิตลดเหลือ 200 โวลต์ ทำให้แรงดันทางด้านทุติยภูมิของหม้อแปลงลดลงด้วย

##### 2. ส่วนการแปลงสัญญาณอนาลอกเป็นดิจิตอล (A/D Converter , Analog to Digital Converter )

ทำการสุ่มสัญญาณแรงดันทางด้านทุติยภูมิ โดยสามารถกำหนดค่าความเร็วในการสุ่ม 5000 จุด/วินาที และค่าจำนวนจุดที่ใช้ในการสุ่มแต่ละครั้ง 200 จุด (ดังแสดงตามภาพประกอบ 5.35) ซึ่งทำให้ทราบช่วงเวลาในการสุ่มแต่ละครั้งเท่ากับ 40 มิลลิวินาที

จำนวนจุดในการสูมแต่ละครั้ง



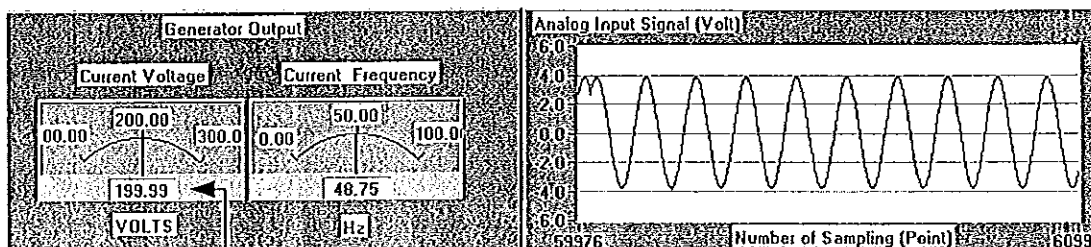
ความเร็วในการสูม ( จุด/วินาที ) ระยะห่างของแต่ละจุดที่สูมได้

ภาพประกอบ 5.35 แสดงความเร็วในการสูมและจำนวนจุดที่ใช้ในการสูมแต่ละครั้ง

โดยใช้โปรแกรม Labview

### 3. ส่วนตัวควบคุมระบบแบบฟิชช์ลوجิก (Fuzzy Logic Controller)

ทำการรับสัญญาณดิจิตอลแล้วคำนวณหาค่าแรงดันสูงสุดทางด้านทุติยภูมิ เมื่อได้ค่าแล้วก็สามารถหาค่าแรงดันทางด้านปฐมภูมิ(แรงดันที่ข้อของเงนเนอเรเตอร์)ได้ ดังแสดงตามภาพประกอบ 5.36



ค่าแรงดันที่ข้อของเงนเนอเรเตอร์

ภาพประกอบ 5.36 แสดงค่าแรงดันที่ข้อของเงนเนอเรเตอร์

เมื่อทราบค่าแรงดันที่ข้อของเงนเนอเรเตอร์แล้ว ก็จะเป็นขั้นตอนการหาค่าการเปลี่ยนแปลงดิจิตอล (คงที่ได้ถูกประมาณแล้วจากบทที่ 4) ซึ่งต้องมีการหาค่าอินพุตของพื้นที่ ในที่นี้ได้แก่

$$\text{ค่าความผิดพลาด}(Error,E) = 200 - 220 = -20$$

$$\text{การเปลี่ยนแปลงค่าความผิดพลาด}(Error Change,Ech) = -20 - 0 = -20$$

จากตารางกำหนดค่าความ ошибก์ในตาราง 4.6 (บทที่ 4) จะได้

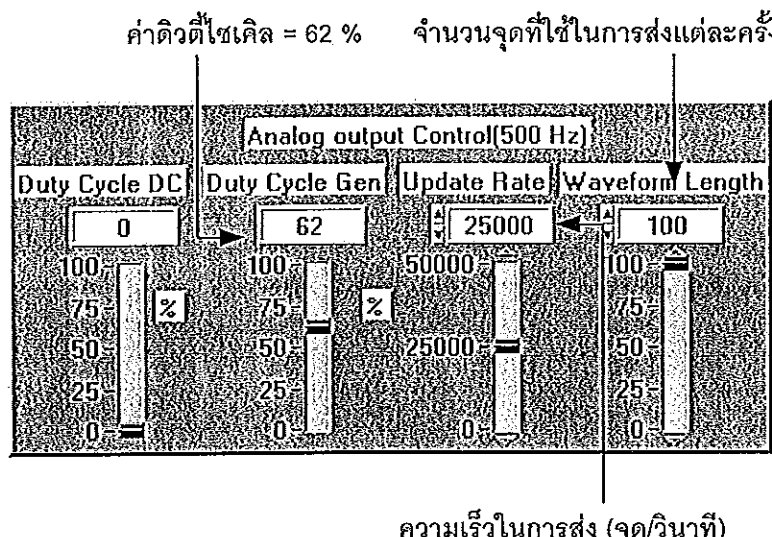
$$\text{ค่าความ ошибก์ของ } E = -5$$

ค่าความไฟฟ้าของ Ech = -5

เมื่อได้ค่าของอินพุตครบทั้ง 2 ตัว แล้วก็สามารถหาค่าของเอาต์พุตได้จากตาราง 4.9 ได้ค่าเอาต์พุตเท่ากับ 0.20 เมื่อนำค่าเอาต์พุตนี้ไปหาค่าความสัมพันธ์ของเอาต์พุต กับ ค่าการเปลี่ยนแปลงของดิวตี้ไซเคิลจากตาราง 4.10 จะได้ค่าการเปลี่ยนแปลงของดิวตี้ไซเคิล = 4 ดังนั้นค่าดิวตี้ไซเคิล มีค่าเท่ากับ  $58 + 4 = 62\%$

#### 4. ส่วนการแปลงสัญญาณดิจิตอลเป็นอนาลอก (D/A Converter , Digital to Analog Converter)

ทำการส่งสัญญาณออกที่ขา 11 ของการ์ด Lab PC 1200 โดยกำหนดค่าความเร็วในการส่ง 25000 จุด/วินาทีและจำนวนจุดที่ใช้ในการส่งแต่ละครั้ง 100 จุด(ดังแสดงตามภาพประกอบ 5.37) ซึ่งทำให้ทราบความถี่ในการส่งเท่ากับ 250 เอิรตซ์

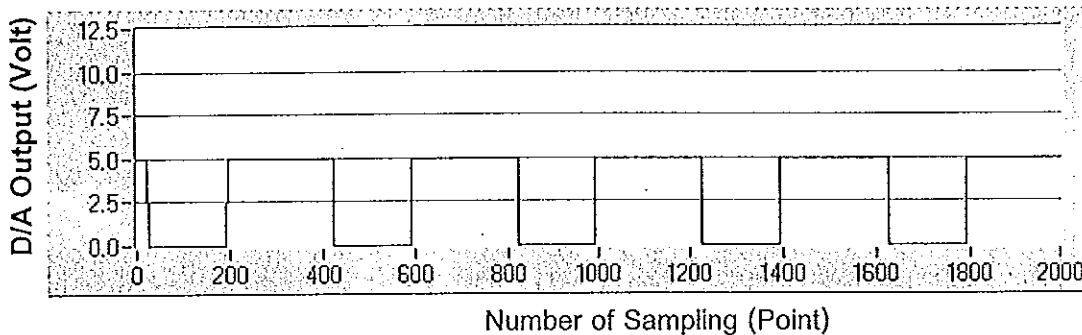


ภาพประกอบ 5.37 แสดงความเร็วในการส่งและจำนวนจุดที่ใช้ในการส่งแต่ละครั้ง ซึ่งมีความถี่ในการส่ง 250 เอิรตซ์

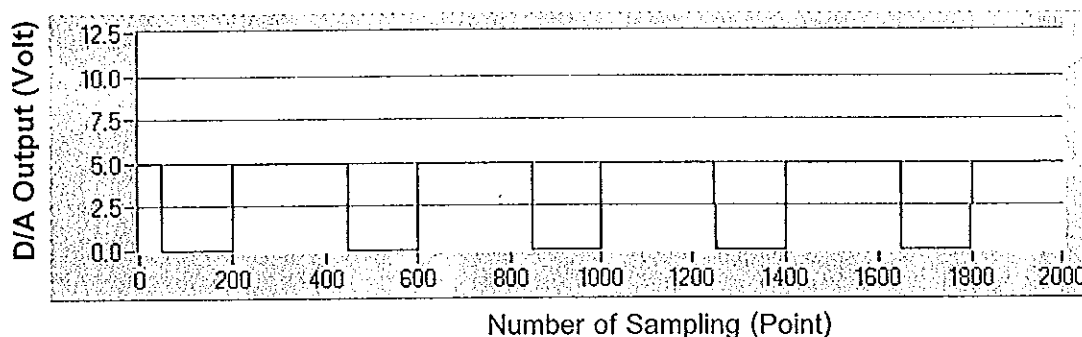
#### 5. ส่วนการส่งสัญญาณเอาต์พุต(Output Sensor)

สัญญาณที่ส่งออกมาเข้าตัวแยกทางแสงเปลี่ยนจากค่าดิวตี้ไซเคิล 58% เป็น 62% ดังแสดงตามภาพประกอบ 5.38 และ 5.39 ตามลำดับ

ดังนั้นค่าดิวตี้ไซเคิลจะมีค่าเท่ากับ  $58 + 4 = 62\%$  ซึ่งทำให้ค่าแรงดันที่ไปตกครื่น Exciter Field Winding มีค่ามากขึ้น แล้วทำให้แรงดันที่ขึ้นของเครื่อง Jenan เนอเรเตอร์กระแสลับมีค่าเข้าใกล้ค่าแรงดันอ้างอิง(220 โวลต์)

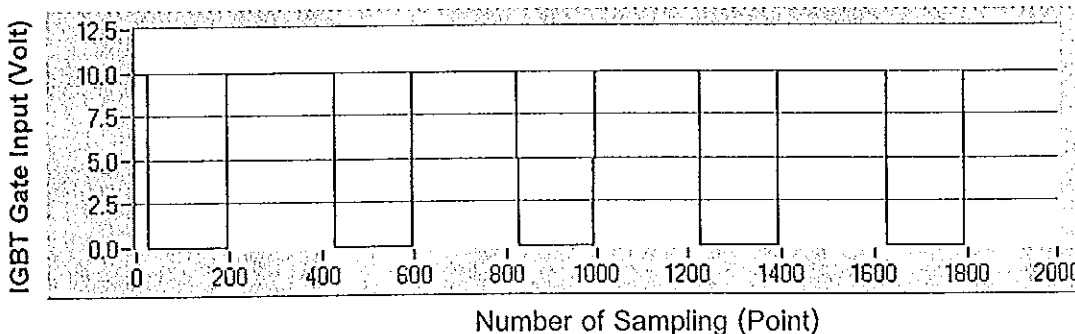


ภาพประกอบ 5.38 แสดงสัญญาณก่อนเข้าตัวแยกทางแสงขณะไร้ภาระ ซึ่งมีค่าดิวตี้ไซเคิล 58 %

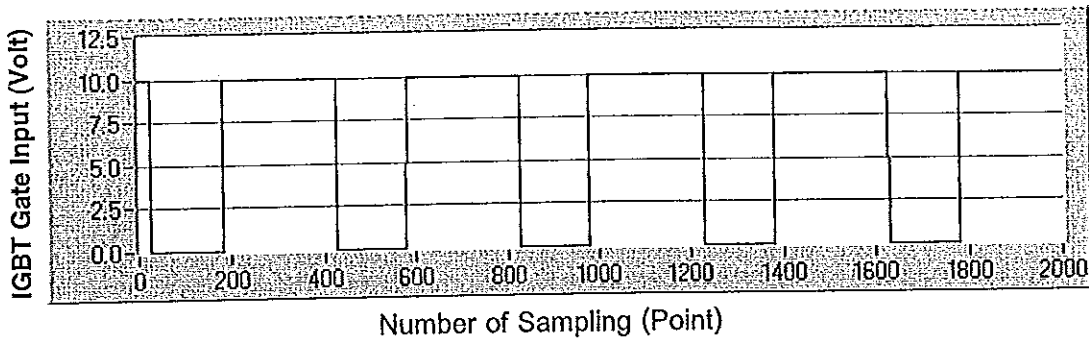


ภาพประกอบ 5.39 แสดงสัญญาณก่อนเข้าตัวแยกทางแสงขณะมีภาระ ซึ่งมีค่าดิวตี้ไซเคิลเพิ่มขึ้นเป็น 62 %

สัญญาณที่ส่งออกจากตัวแยกทางแสงมายังขาเกตของไอจีบีทิกเปลี่ยนจากค่าดิวตี้ไซเคิล 58% เป็น 62% เช่นกัน ดังแสดงตามภาพประกอบ 5.40 และ 5.41 ตามลำดับ



ภาพประกอบ 5.40 แสดงสัญญาณเข้าขาเกตขณะไร้ภาระ ซึ่งมีค่าดิวตี้ไซเคิล 58 %



ภาพประกอบ 5.41 แสดงสัญญาณเข้าขาเกตขณะมีการซึ่งมีค่าดิวตี้ไซเคิลเพิ่มขึ้นเป็น 62 %

จากการที่ค่าดิวตี้ไซเคิลเพิ่มขึ้นจาก 58 % เป็น 62 % ซึ่งทำให้ค่าแรงดันที่ไปตกคร่อม Exciter Field Winding มีค่านากขึ้น แล้วทำให้แรงดันที่ข้าวของเครื่องгенเนอเรเตอร์กระแสสลับมีค่าเพิ่ม上去 ค่าแรงดันอ้างอิง(220 โวลต์) นี่คือ 1 รอบของการทำงาน หลังจากนั้นก็จะมีการทำงานใหม่อีก ค่าดิวตี้ไซเคิลจะมีการเปลี่ยนแปลงจนกว่าค่าแรงดันที่ข้าวของเครื่องгенเนอเรเตอร์จะมีค่าประมาณค่าแรงดันอ้างอิง (220 โวลต์)

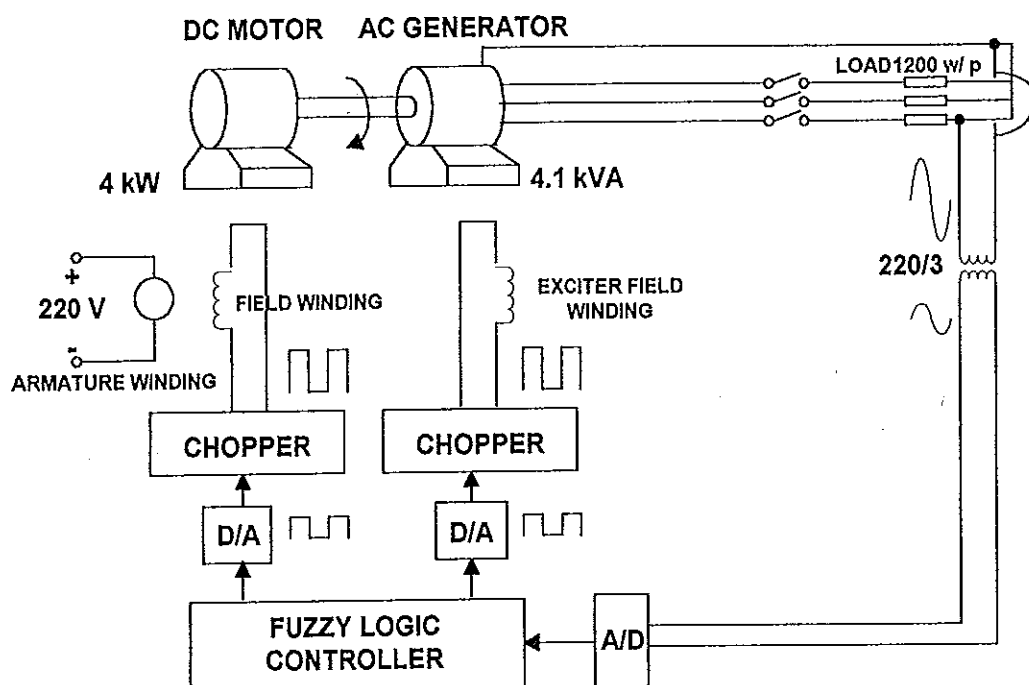
ส่วนระบบควบคุมความเร็วของมอเตอร์กระแสตรงก็มีขั้นตอนคล้ายกับระบบควบคุมแรงดันgenเนอเรเตอร์ โดยมีข้อแตกต่าง 2 ประการคือ

1. ตัวแปรที่ใช้ในการควบคุมเป็นค่าความถี่
2. กฎการควบคุมแบบฟื้นตัวต่างกัน

## บทที่ 6

### ผลและการอภิปรายการทดลอง

ระบบที่ใช้ในการทดลองนี้เป็นระบบการควบคุมการผลิตไฟฟ้าโดยใช้การควบคุมแบบปั๊ซซ์ล็อกจิก ระบบควบคุมทั้งหมดเป็นซอฟต์แวร์ที่ทำงานบนเครื่องคอมพิวเตอร์ ซึ่งง่ายต่อการเปลี่ยนแปลงค่าพารามิเตอร์ต่างๆ ได้ โดยระบบทำการควบคุมทั้งหมดอยู่ในไฟฟ้ากระแสตรงซึ่งทำหน้าที่เป็นตัวขับ(Prime mover)และควบคุมเครื่องจักรซิงโกรนัส ซึ่งทำหน้าที่เป็นเครื่องгенเนอเรเตอร์กระแสสลับ (AC Generator) โดยจะต้องควบคุมมอเตอร์กระแสตรงให้ได้ความเร็วที่ซิงโกรนัส ที่ 1500 รอบ/นาที เพื่อให้ไฟฟ้าที่ผลิตได้เท่ากัน 50 เฮิรตซ์ ในขณะเดียวกันก็ต้องควบคุมขนาดของกระแสคุณของเครื่องгенเนอเรเตอร์เพื่อให้แรงดันไฟฟ้าที่ผลิตได้มีขนาดเท่ากับ 220 โวลต์ดังแสดงในภาพประกอบ 6.1



ภาพประกอบ 6.1 แสดงระบบการควบคุมการผลิตไฟฟ้า

โดยทำการทดลอง โดยใช้การควบคุมแบบพิชชีลอกอิกแยกกันควบคุมแรงดันและความถี่ที่ผลิตได้ โดยการควบคุมจะแบ่งเป็น 2 ส่วน ก่อร่องคือ

- ส่วนของระบบในการเข้าสู่ค่าอ้างอิง (220 โวลต์ , 50 เฮิรตซ์)

เริ่มโดยการขับเคลื่อนมอเตอร์กระแสตรง จากนั้นมีการควบคุมทั้งมอเตอร์กระแสตรงและเครื่องгенเนอเรเตอร์ในเวลาเดียวกัน

- ส่วนของการรับ kontrol

ทำการรับ kontrol โดยการสัมภาระสูงสุด(เป็นเงื่อนไขที่แล้วร้ายที่สุด)ให้แก่ชุดมอเตอร์ genenator ขนาด 1200 W/phase โดยครั้งแรกทำการเพิ่มกระแส และครั้งที่ 2 ทำการลดกระแส

ซึ่งได้ทำการทดลองทั้งสิ้น 7 การทดลองโดยแต่ละการทดลองมีการออกแบบหัวควบคุมที่ซึ่งลอกอิกแตกต่างกัน ซึ่งให้ผลการทดลองที่แตกต่างกันดังนี้

#### 6.1 การทดลองครั้งที่ 1

ส่วนที่ 1. ทำการออกแบบระบบควบคุมความเร็ว ซึ่งมีกฎการควบคุมระบบและค่าความสัมพันธ์ของเอาต์พุตกับค่าการเปลี่ยนแปลงของดิวตี้ไซเคิลของระบบควบคุม ดังแสดงตามตารางที่ 6.1 และ 6.2 ตามลำดับ

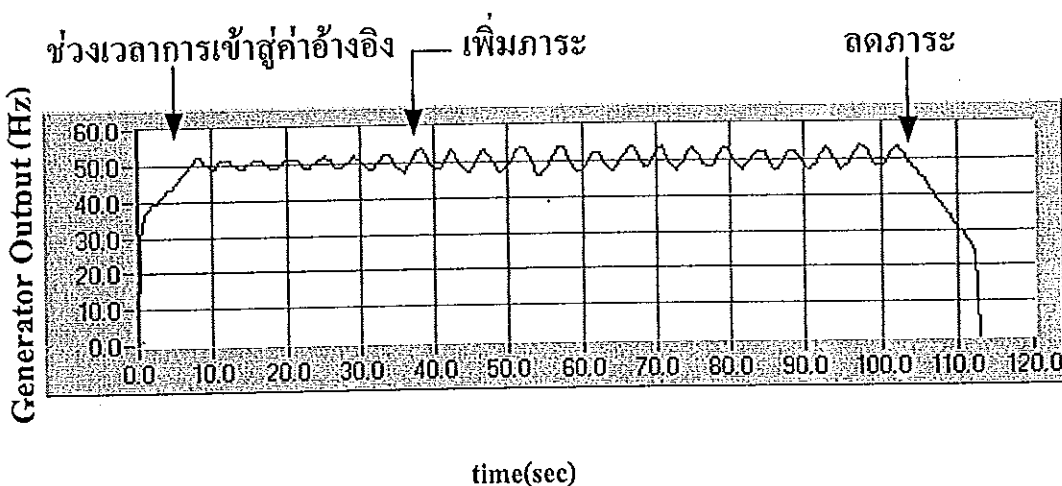
ตารางที่ 6.1 แสดงเงื่อนไขที่กำหนดขึ้นของเอาต์พุตพิชชีของกระบวนการเริ่มน้ำมอเตอร์กระแสตรงในการทดลองครั้งที่ 1

Ech E	LN	SN	ZE	SP	LP
LN	LN	LN	LN	LN	LN
SN	LN	SN	SN	SN	SN
ZE	SN	ZE	ZE	ZE	SP
SP	SP	SP	SP	SP	LP
LP	LP	LP	LP	LP	LP

ตาราง 6.2 แสดงค่าความสัมพันธ์ของเอาต์พุต กับ ค่าการเปลี่ยนแปลงของคิวตี้ไซเคิลของระบบ  
ความคุณความเร็วของเตอร์กระแสงตรงในการทดลองครั้งที่ 1

เอาต์พุต	ค่าการเปลี่ยนแปลงของคิวตี้ไซเคิล
[0.16,0.20]	4
[0.11,0.15]	3
[0.06,0.10]	2
[0.01,0.05]	1
0	0
[-0.05,-0.01]	-1
[-0.10,-0.06]	-2
[-0.15,-0.11]	-3
[-0.20,-0.16]	-4

ซึ่งได้ผลตอบสนองต่อการความคุณความเร็ว(ความถี่)ตามภาพประกอบ 6.2



ภาพประกอบ 6.2 แสดงผลตอบสนองต่อการความคุณความถี่ในการทดลองครั้งที่ 1

จากผลการทดลองตามภาพประกอบ 6.2 สามารถประเมินผลข้อมูลได้ดังนี้

1. ผลตอบสนองต่อการควบคุมความถี่ในการเข้าสู่ค่าความถี่อ้างอิง ( $50 \text{ เฮิรตซ์}$ ) อุปกรณ์ที่ดี โดยมีค่าความผิดพลาดของความถี่เมื่อเข้าสู่ค่าอ้างอิง  $\pm 1 \text{ เฮิรตซ์}$
2. ผลตอบสนองต่อการควบคุมความถี่ในการรับกวนระบบจะเกิดการแกว่ง โดยจะแกว่งอยู่ในช่วง  $\pm 3 \text{ เฮิรตซ์}$  ซึ่งน่าจะมีผลมาจากการออกแบบกฎการควบคุมระบบและค่าความสัมพันธ์ของเอาต์พุตกับค่าการเปลี่ยนแปลงของคิวตี้ใช้เคิลของระบบควบคุม

ส่วนที่ 2. ทำการออกแบบระบบควบคุมแรงดัน ซึ่งมีกฎการควบคุมระบบและค่าความสัมพันธ์ของเอาต์พุตกับค่าการเปลี่ยนแปลงของคิวตี้ใช้เคิลของระบบควบคุม ดังแสดงตามตาราง

#### 6.3 และ 6.4 ตามลำดับ

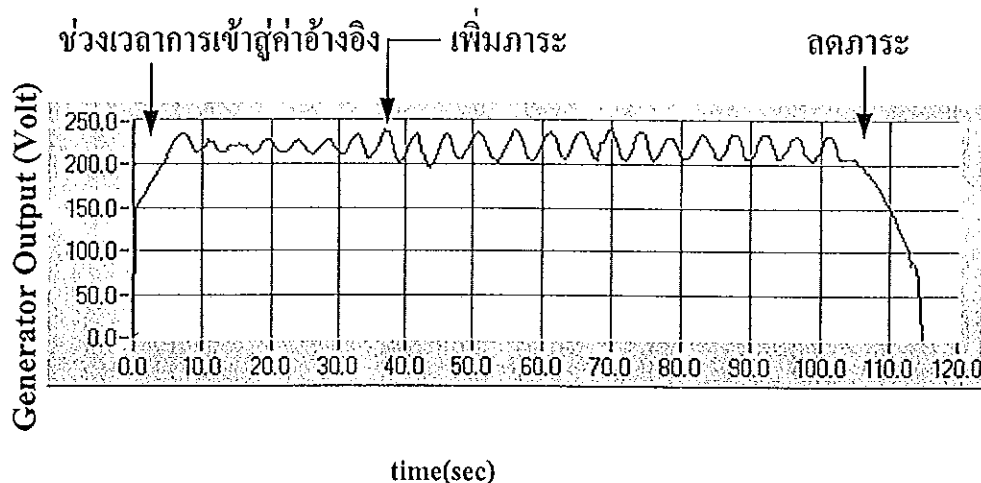
ตาราง 6.3 แสดงเงื่อนไขที่กำหนดขึ้นของเอาต์พุตที่ใช้ชี้ของการควบคุมแรงดัน Jenenne เอเชอร์ในการทดลองครั้งที่ 1

Ech E	LN	SN	ZE	SP	LP
LN	LP	LP	LP	LP	LP
SN	LP	SP	SP	SP	ZE
ZE	SP	ZE	ZE	ZE	SN
SP	SN	SN	SN	SN	LN
LP	LN	LN	LN	LN	LN

ตาราง 6.4 แสดงค่าความสัมพันธ์ของอาต์ฟุต กับ ค่าการเปลี่ยนแปลงของดิวตี้ไซเคิล  
ของระบบควบคุมแรงดันเงินเนอเตอร์ในการทดลองครั้งที่ 1

อาต์ฟุต	ค่าการเปลี่ยนแปลงของดิวตี้ไซเคิล
[0.16,0.20]	4
[0.11,0.15]	3
[0.06,0.10]	2
[0.01,0.05]	1
0	0
[-0.05,-0.01]	-1
[-0.10,-0.06]	-2
[-0.15,-0.11]	-3
[-0.20,-0.16]	-4

ซึ่งได้ผลตอบสนองต่อการควบคุมแรงดันตามภาพประกอบ 6.3



ภาพประกอบ 6.3 แสดงผลตอบสนองต่อการควบคุมแรงดันในการทดลองครั้งที่ 1

จากผลการทดลองตามภาพประกอบ 6.3 สามารถประเมินผลข้อมูลได้ดังนี้

- ผลตอบสนองต่อการควบคุมแรงดันในการเข้าสู่ค่าแรงดันอ้างอิง (220 โวลต์) อยู่ในเกณฑ์ดี โดยมีค่าความผิดพลาดของแรงดันเมื่อเข้าสู่ค่าอ้างอิง  $\pm 5$  โวลต์

2. ผลตอบสนองต่อการควบคุมแรงดันในการรับกวนระบบเกิดการแก่วง โดยจะแก่วงอยู่ในช่วง  $\pm 20$  ไวลต์ โดยมีผลมาจากค่าความถี่ที่มีการเปลี่ยนแปลงจากภาพประกอบ 6.2 เนื่องจากค่าแรงดันที่ผลิตได้ไม่ค่าเปรียบเทียบกับค่าความเร็วของน้ำเหลือร์กระแทกแรง นั่นก็คือค่าความถี่ที่ผลิตได้นั่นเอง โดยไม่อาจสรุปได้ว่าการออกแบบกฎการควบคุมระบบและค่าความสัมพันธ์ของเอาต์พุต กับค่าการเปลี่ยนแปลงของคิวต์ใช้เคิลของระบบควบคุมคือหรือไม่

สรุปผลการทดลองครั้งที่ 1 พบว่าต้องมีการแก้ไขการออกแบบกฎการควบคุมระบบและค่าความสัมพันธ์ของเอาต์พุต กับค่าการเปลี่ยนแปลงของคิวต์ใช้เคิลของระบบควบคุมความเร็ว

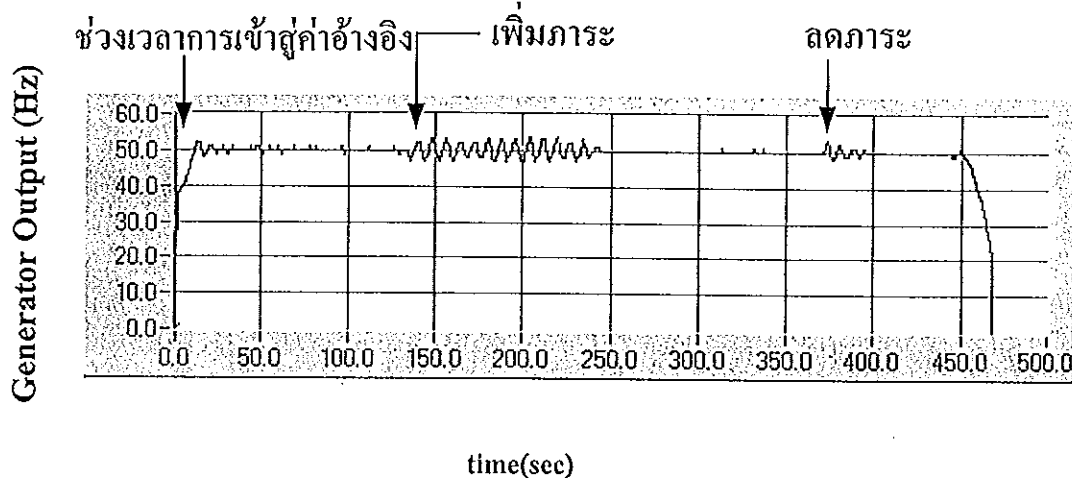
## 6.2 การทดลองครั้งที่ 2

ส่วนที่ 1. คงกฎในการควบคุมความเร็วให้เหมือนการทดลองครั้งที่ 1 (ตามตาราง 6.1) แต่แก้ไขค่าความสัมพันธ์ของเอาต์พุต กับค่าการเปลี่ยนแปลงของคิวต์ใช้เคิลของระบบควบคุม ดังแสดงตามตาราง 6.5

ตาราง 6.5 แสดงค่าความสัมพันธ์ของเอาต์พุต กับ ค่าการเปลี่ยนแปลงของคิวต์ใช้เคิล ของระบบควบคุมความเร็วอเหลอร์กระแทกแรงในการทดลองครั้งที่ 2

เอาต์พุต	ค่าการเปลี่ยนแปลงของคิวต์ใช้เคิล
[0.16,0.20]	2
[0.11,0.15]	1.5
[0.06,0.10]	1
[0.01,0.05]	0.5
0	0
[-0.05,-0.01]	-0.5
[-0.10,-0.06]	-1
[-0.15,-0.11]	-1.5
[-0.20,-0.16]	-2

ซึ่งได้ผลตอบสนองต่อการควบคุมความเร็ว (ความถี่) ตามภาพประกอบ 6.4



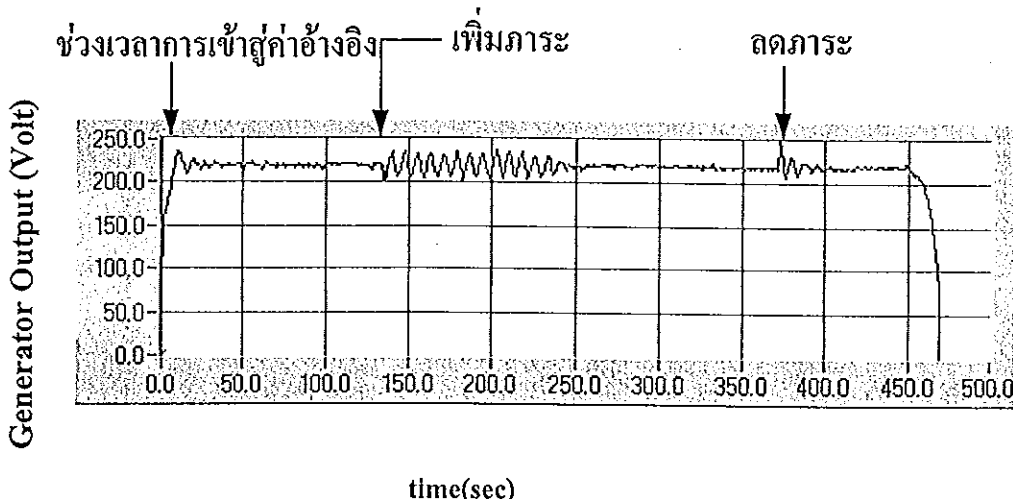
ภาพประกอบ 6.4 แสดงผลตอบสนองต่อการควบคุมความถี่ในการทดลองครั้งที่ 2

จากผลการทดลองตามภาพประกอบ 6.4 สามารถประเมินผลข้อมูลได้ดังนี้

- ผลตอบสนองต่อการควบคุมความถี่ในการเข้าสู่ค่าความถี่อ้างอิง(50 เฮิรตซ์) อุปทานมาก โดยมีค่าความผิดพลาดของความถี่เมื่อเข้าสู่ค่าอ้างอิง  $\pm 0.5$  เฮิรตซ์
- ผลตอบสนองต่อการควบคุมความถี่ในการรบกวนระบบ ยังคงเกิดการแกว่งในช่วงการเพิ่มภาระ ซึ่งใช้เวลาประมาณ 100 วินาทีในการแกว่ง โดยมีค่าความผิดพลาดของความถี่เมื่อเข้าสู่ค่าอ้างอิง  $\pm 2.5$  เฮิรตซ์ ซึ่งน่าจะมีผลมาจากการออกแบบกฎการควบคุมระบบ

ส่วนที่ 2. คงกฎการควบคุมแรงดันและค่าความสัมพันธ์ของເຫຼືອທຸກກັນຄ່າການປັບປຸງແປດງຂອງດົວຕີໃຊ້ເຄີຍອງຮະບນຄວບຄຸມ (ตามตาราง 6.3 และ 6.4 ດັ່ງແສດງໃນการทดลองครັ້ງທີ 1)

ซึ่งได้ผลตอบสนองต่อการควบคุมแรงดันตามภาพประกอบ 6.5



ภาพประกอบ 6.5 แสดงผลตอบสนองต่อการควบคุมแรงดันในการทดลองครັ້ງที่ 2

จากผลการทดลองตามภาพประกอบ 6.5 สามารถประเมินผลข้อมูล ได้ดังนี้

1. ผลตอบสนองต่อการควบคุมแรงดันในการเข้าสู่ค่าแรงดันอ้างอิง(220 โวลต์) อยู่ในเกณฑ์ดีมาก โดยมีค่าความผิดพลาดของแรงดันเมื่อเข้าสู่ค่าอ้างอิง  $\pm 2.5$  โวลต์

2. ผลตอบสนองต่อการควบคุมแรงดันในการรับกวนระบบยังคงเกิดการแก่วง โดยเฉพาะการเพิ่มกระแสให้แก่ระบบ โดยเวลาที่แก่วงประมาณ 100 วินาที มีค่าความผิดพลาดของแรงดันเมื่อเข้าสู่ค่าอ้างอิง  $\pm 12$  โวลต์ ซึ่งน่าจะมีผลมาจากการค่าความถี่ที่มีการเปลี่ยนแปลงจากภาพประกอบ 6.4 เมื่อongจากค่าแรงดันที่ผลิตได้มีค่าแปรผันตรงกับค่าความเร็วของนอเตอร์กระแส เน้นกีดีค่าความถี่ที่ผลิตได้นั้นเอง โดยไม่อาจสรุปได้ว่าการออกแบบกฎการควบคุมระบบและค่าความสัมพันธ์ของเอกสารพูดกับค่าการเปลี่ยนแปลงของคิวต์ใช้เดิมของระบบควบคุม ดีหรือไม่

สรุปผลการทดลองครั้งที่ 2 พบว่าได้ผลการทดลองดีกว่าการทดลองครั้งที่ 1 เมื่อจากได้แก้ไขค่าความสัมพันธ์ของเอกสารพูดกับค่าการเปลี่ยนแปลงของคิวต์ใช้เดิมของระบบควบคุมความเร็ว แต่ยังคงพบว่าเกิดการแก่วงของระบบในการเพิ่มกระแสให้แก่ระบบ เมื่อongมาจากการค่าความเร็วที่พิเศษ จึงต้องมีการแก้ไขกฎในการควบคุมความเร็ว

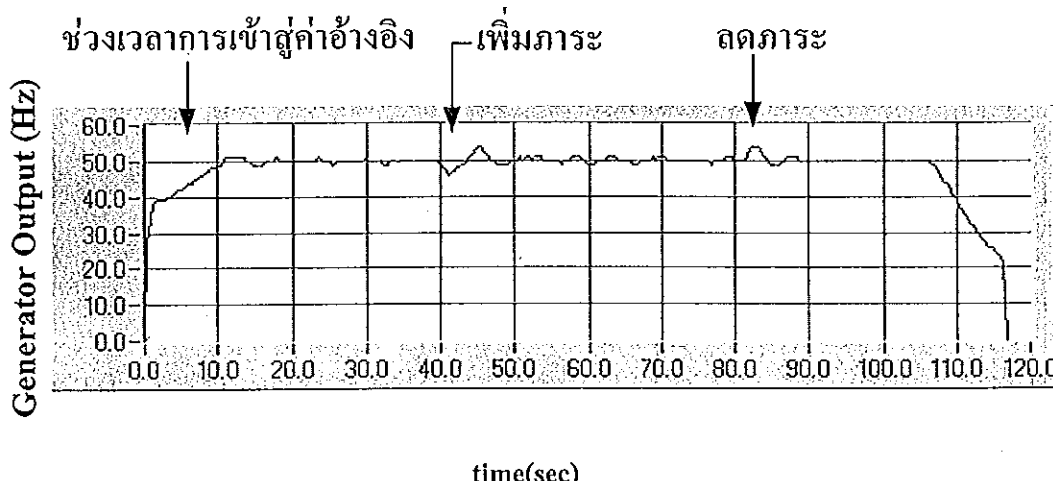
### 6.3 การทดลองครั้งที่ 3

ส่วนที่ 1. เมื่อongจากความผิดพลาดของกฎในการควบคุมความเร็วในการทดลองครั้งที่ 2 จึงได้แก้ไขกฎในการควบคุมความเร็วดังแสดงตามตาราง 6.6

ตาราง 6.6 แสดงเงื่อนไขที่กำหนดขึ้นของเอกสารพูดพิษชี้ของการควบคุมความเร็วของนอเตอร์กระแสใน การทดลองครั้งที่ 3

Ech E	LN	SN	ZE	SP	LP
LN	LN	LN	LN	LN	LN
SN	LN	SN	SN	ZE	ZE
ZE	SN	ZE	ZE	ZE	SP
SP	ZE	ZE	SP	SP	LP
LP	LP	LP	LP	LP	LP

ซึ่งได้ผลตอบสนองต่อการควบคุมความเร็ว(ความถี่)ตามภาพประกอบ 6.6



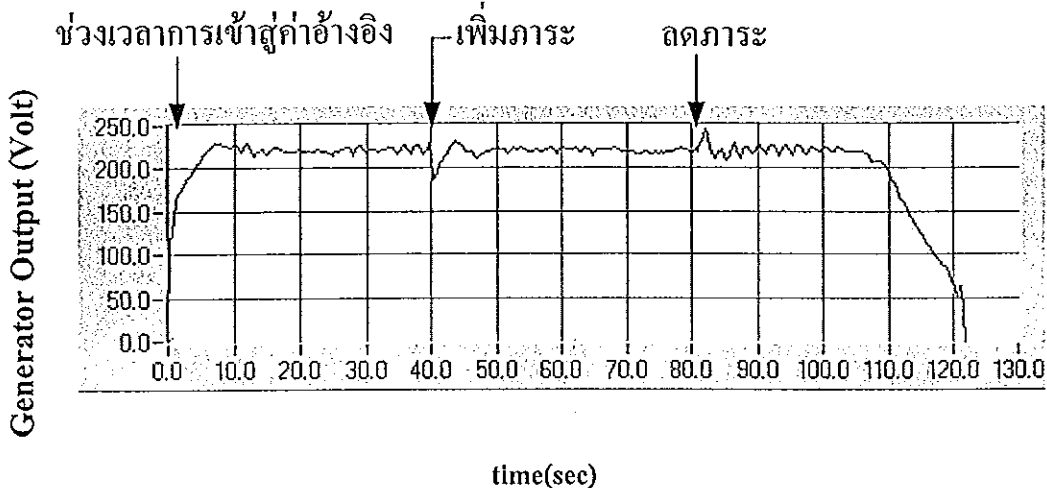
ภาพประกอบ 6.6 แสดงผลตอบสนองต่อการควบคุมความถี่ในการทดลองครั้งที่ 3

จากผลการทดลองตามภาพประกอบ 6.6 สามารถประเมินผลข้อมูลได้ดังนี้

- ผลตอบสนองต่อการควบคุมความถี่ในการเข้าสู่ค่าความถี่อ้างอิง(50 เฮิรตซ์) อยู่ในเกณฑ์ดีมาก โดยมีค่าความผิดพลาดของความถี่เมื่อเข้าสู่ค่าอ้างอิง  $\pm 0.5$  เฮิรตซ์
- ผลตอบสนองต่อการควบคุมความถี่ในการรบกวนระบบอยู่ในเกณฑ์ดี แต่เมื่อมีการเพิ่มหรือลดภาระให้แก่ระบบ ระบบใช้ระยะเวลาค่อนข้างนานในการเข้าสู่ค่าความถี่อ้างอิง โดยเวลาในการเข้าสู่ค่าความถี่อ้างอิงเมื่อมีการเพิ่มภาระให้แก่ระบบใช้เวลาประมาณ 10 วินาทีและเมื่อมีการลดภาระให้แก่ระบบ ใช้เวลาประมาณ 8 วินาทีในการเข้าสู่ค่าความถี่อ้างอิง ซึ่งค่าความผิดพลาดของความถี่เมื่อเข้าสู่ค่าอ้างอิง  $\pm 0.5$  เฮิรตซ์

ส่วนที่ 2. คงกู้การควบคุมแรงดันและค่าความสัมพันธ์ของเอติพุตตับกับค่าการเปลี่ยนแปลงของคิวตี้ไซเคิลของระบบควบคุม (ตามตาราง 6.3 และ 6.4 ดังแสดงในการทดลองครั้งที่ 1)

ซึ่งได้ผลตอบสนองต่อการควบคุมแรงดันตามภาพประกอบ 6.7



ภาพประกอบ 6.7 แสดงผลตอบสนองต่อการควบคุมแรงดันในการทดลองครั้งที่ 3

จากผลการทดลองตามภาพประกอบ 6.7 สามารถประเมินผลข้อมูลได้ดังนี้

- ผลตอบสนองต่อการควบคุมแรงดันในการเข้าสู่ค่าแรงดันข้างอิง(220 โวลต์) อยู่ในเกล็ดที่มาก โดยมีค่าความผิดพลาดของแรงดันเมื่อเข้าสู่ค่าข้างอิง  $\pm 2.5$  โวลต์
- ผลตอบสนองต่อการควบคุมแรงดันในการรับกวนระบบอยู่ในเกล็ดที่ดี แต่ยังคงเกิดการแกว่งเล็กน้อยในการลดกระแสให้แก่ระบบ ซึ่ง มีค่าความผิดพลาดของแรงดันเมื่อเข้าสู่ค่าข้างอิง  $\pm 5$  โวลต์ ส่วนในการเพิ่มกระแสให้แก่ระบบให้ผลเป็นที่น่าพอใจคือมีค่าความผิดพลาดของแรงดันเมื่อเข้าสู่ค่าข้างอิง  $\pm 2.5$  โวลต์

สรุปผลการทดลองครั้งที่ 3 พบว่าได้ผลการทดลองดีกว่าการทดลองครั้งที่ 2 โดยให้ผลการควบคุมความเร็วเป็นที่น่าพอใจทั้งในส่วนการเข้าสู่ค่าข้างอิงและการรับกวนระบบ แต่ต้องมีการแก้ไขกฎอิกเล็กน้อยเนื่องจากระยะเวลาในการเข้าสู่ค่าข้างอิงค่อนข้างนาน ส่วนในการควบคุมแรงดันให้ผล เป็นที่น่าพอใจแต่ยังคงเกิดการแกว่งเล็กน้อยขณะลดกระแสแก่ระบบ ซึ่งต้องมีการแก้ไขกฎในการควบคุมแรงดันต่อไป

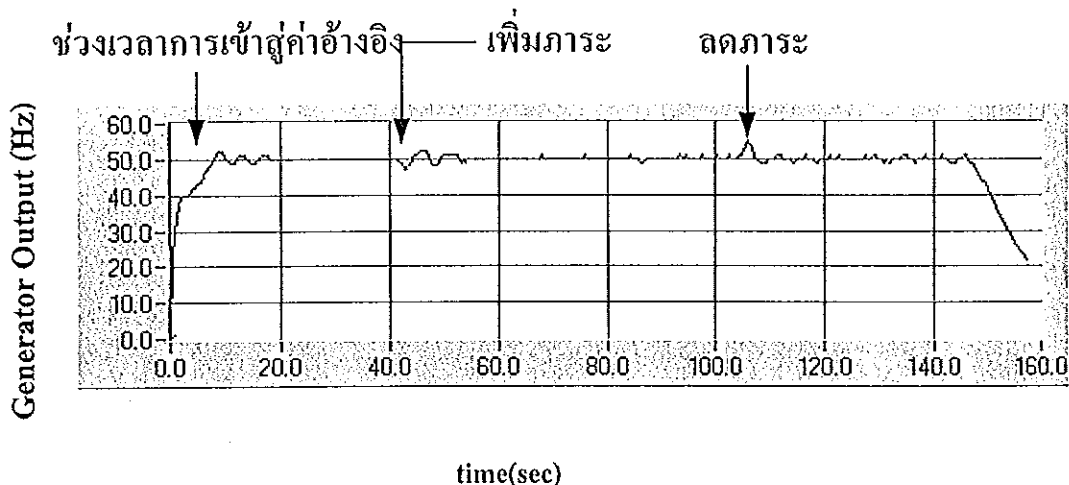
#### 6.4 การทดลองครั้งที่ 4

ส่วนที่ 1. เมื่อจากผลในการทดลองครั้งที่ 3. จึงต้องมีการแก้ไขกฎในการควบคุมความเร็ว จึงได้แก้ไขกฎในการควบคุมความเร็วดังแสดงตามตาราง 6.7

ตาราง 6.7 แสดงเงื่อนไขที่กำหนดขึ้นของเอาต์พุตฟื้นตัวของการควบคุมความเร็วเมื่อต่อร์กระแสดงใน การทดลองครั้งที่ 4

Ech \ LN	LN	SN	ZE	SP	LP
LN	LN	LN	LN	LN	SN
SN	LN	SN	SN	ZE	ZE
ZE	SN	ZE	ZE	ZE	SP
SP	ZE	ZE	SP	SP	LP
LP	SP	LP	LP	LP	LP

ซึ่งได้ผลตอบสนองต่อการควบคุมความเร็ว(ความถี่)ตามภาพประกอบ 6.8



ภาพประกอบ 6.8 แสดงผลตอบสนองต่อการควบคุมความถี่ในการทดลองครั้งที่ 4

จากผลการทดลองตามภาพประกอบ 6.8 สามารถประเมินผลข้อมูลได้ดังนี้

- ผลตอบสนองต่อการควบคุมความถี่ในการเข้าสู่ค่าความถี่อ้างอิง(50 เฮิรตซ์) อยู่ในเกณฑ์ตีมาก โดยมีค่าความผิดพลาดของความถี่เมื่อเข้าสู่ค่าอ้างอิง  $\pm 0.5$  เฮิรตซ์
- ผลตอบสนองต่อการควบคุมความถี่ในการรบกวนระบบอยู่ในเกณฑ์ดี แต่มีการเพิ่มกระแสให้แก่ระบบ ระบบใช้ระยะเวลาค่อนข้างนานในการเข้าสู่ค่าความถี่อ้างอิง โดยใช้เวลา

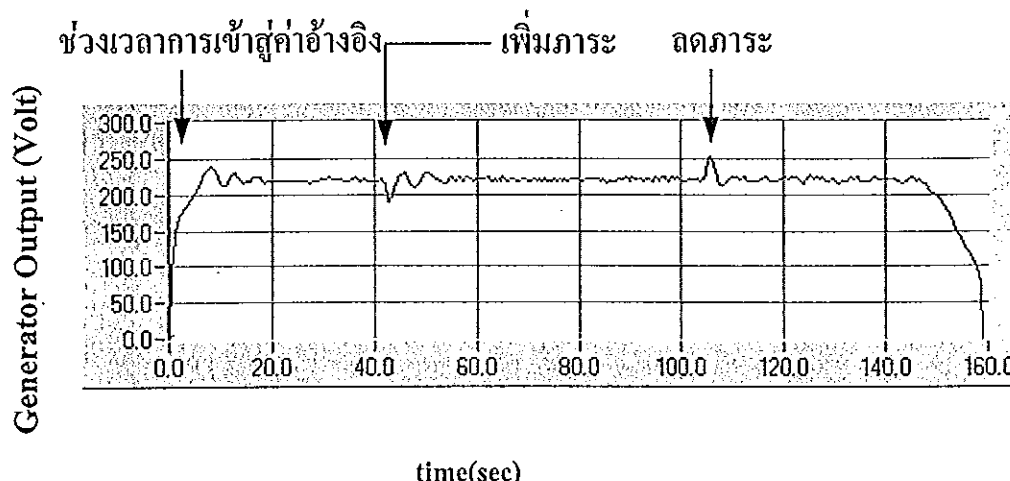
ประมาณ 10 วินาที และเมื่อมีการลดภาระให้แก่ระบบ ระบบใช้เวลาประมาณ 6 วินาทีในการเข้าสู่ค่าความถี่อ้างอิง โดยมีค่าความผิดพลาดของความถี่เมื่อเข้าสู่ค่าอ้างอิง  $\pm 0.5$  เฮิรตซ์ เช่นกัน

ส่วนที่ 2. เนื่องจากผลในการทดลองครั้งที่ 3 จึงต้องมีการแก้ไขกฎในการควบคุมแรงดันจึงได้แก้ไขกฎในการควบคุมแรงดันดังแสดงตามตาราง 6.8

ตาราง 6.8 แสดงเงื่อนไขที่กำหนดขึ้นของเอาต์พุตฟิชช์ของการควบคุมแรงดันบนเนอเรเตอร์ในการทดลองครั้งที่ 4

Ech E	LN	SN	ZE	SP	LP
LN	LP	LP	LP	SP	SP
SN	LP	SP	SP	ZE	ZE
ZE	SP	ZE	ZE	ZE	SN
SP	ZE	ZE	SN	SN	LN
LP	SN	SN	LN	LN	LN

ซึ่งได้ผลตอบสนองต่อการควบคุมแรงดันตามภาพประกอบ 6.9



ภาพประกอบ 6.9 แสดงผลตอบสนองต่อการควบคุมแรงดันในการทดลองครั้งที่ 4

จากผลการทดลองตามภาพประกอบ 6.8 สามารถประเมินผลข้อมูลได้ดังนี้

1. ผลตอบสนองต่อการควบคุมแรงดันในการเข้าสู่ค่าแรงดันอ้างอิง (220 โวลต์) อยู่ในเกณฑ์ดีมาก โดยมีค่าความผิดพลาดของแรงดันเมื่อเข้าสู่ค่าอ้างอิง  $\pm 2.0$  โวลต์

2. ผลตอบสนองต่อการควบคุมแรงดันในการรับกระบวนการอยู่ในเกณฑ์ดีมาก แก้ปัญหาที่เกิดจากการทดลองครั้งที่ 3 คือสามารถลดการแกว่งเมื่อมีการเพิ่มนหรือลดกระแสไฟฟาระบบ โดยมีค่าความผิดพลาดของแรงดันเมื่อเข้าสู่ค่าอ้างอิงเพียง  $\pm 2.5$  โวลต์

สรุปผลการทดลองครั้งที่ 4 พบว่าได้ผลการทดลองคือกว่าการทดลองครั้งที่ 3 โดยให้ผลการควบคุมแรงดันเป็นที่น่าพอใจทึ้งในส่วนการเข้าสู่ค่าอ้างอิงและกระบวนการ แต่ในการควบคุมความเร็ว ยังคงใช้เวลาค่อนข้างนานในการเข้าสู่ค่าอ้างอิงเมื่อมีการรับกระบวนการ ซึ่งน่าจะมาจากกฎการควบคุมความเร็ว ซึ่งต้องมีการแก้ไขกฎต่อไป

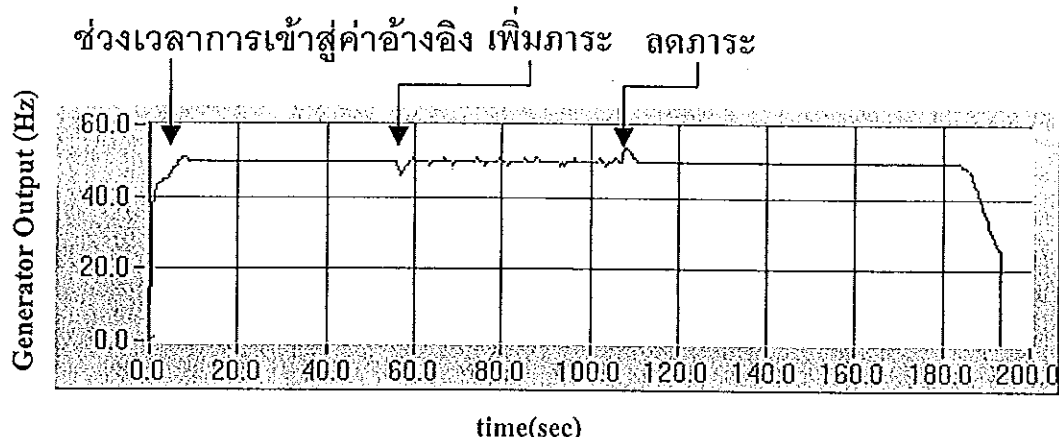
### 6.5 การทดลองครั้งที่ 5

ส่วนที่ 1 เนื่องมาจากการทดลองในครั้งที่ 3 และ 4 ยังคงใช้เวลาค่อนข้างนานในการเข้าสู่ค่าอ้างอิงเมื่อมีการรับกระบวนการ จึงได้มีการแก้ไขกฎที่ใช้ในการควบคุมความเร็วค้างแสดงตามตาราง 6.9

ตาราง 6.9 แสดงเพื่อนำไปที่กำหนดขั้นของอาทิตย์พุธพิชชีของการควบคุมความเร็ว  
มอเตอร์กระแสตรงในการทดลองครั้งที่ 5

Ech	LN	SN	ZE	SP	LP
E	LN	LN	LN	SN	SN
LN					
SN					
ZE					
SP					
LP					

ซึ่งได้ผลตอบสนองต่อการควบคุมความเร็ว(ความถี่)ตามภาพประกอบ 6.10



ภาพประกอบ 6.10 แสดงผลตอบสนองต่อการควบคุมความถี่ในการทดลองครั้งที่ 5

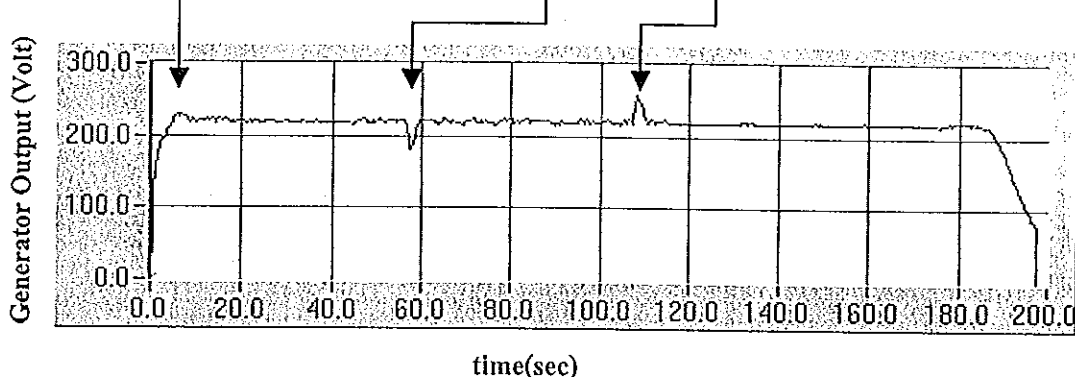
จากผลการทดลองตามภาพประกอบ 6.10 สามารถประเมินผลข้อมูลได้ดังนี้

- ผลตอบสนองต่อการควบคุมความถี่ในการเข้าสู่ค่าความถี่อ้างอิง(50 เฮิรตซ์) อยู่ในเกณฑ์ค่อนข้างดี โดยมีค่าความผิดพลาดของความถี่เมื่อเข้าสู่ค่าอ้างอิง  $\pm 0.5$  เฮิรตซ์
- ผลตอบสนองต่อการควบคุมความถี่ในการรับกวนระบบอยู่ในเกณฑ์ค่อนข้างดี ลดเวลาในการเข้าสู่ค่าอ้างอิงเมื่อมีการรับกวนระบบ โดยทั้งการเพิ่มและลดการให้แก่ระบบ ระบบใช้เวลาประมาณ 3 วินาทีในการเข้าสู่ค่าความถี่อ้างอิง ซึ่งมีค่าความผิดพลาดของความถี่เมื่อเข้าสู่ค่าอ้างอิง  $\pm 0.5$  เฮิรตซ์

ส่วนที่ 2. เมื่อong จากผลในการทดลองครั้งที่ 4 ได้ผลเป็นที่น่าพอใจจึงคงอยู่ในการควบคุม แรงดันตามตาราง 6.8(ในการทดลองครั้งที่ 4)

ซึ่งได้ผลตอบสนองต่อการควบคุมแรงดันตามภาพประกอบ 6.11

### ช่วงเวลาการเข้าสู่ค่าอ้างอิง เพิ่มภาระ ลดภาระ



ภาพประกอบ 6.11 แสดงผลตอบสนองต่อการควบคุมแรงดันในการทดลองครั้งที่ 5

จากการทดลองตามภาพประกอบ 6.11 สามารถประเมินผลข้อมูลได้ดังนี้

1. ผลตอบสนองต่อการควบคุมแรงดันในการเข้าสู่ค่าแรงดันอ้างอิง(220 โวลต์) อยู่ในเกณฑ์ดีมาก โดยมีค่าความผิดพลาดของแรงดันเมื่อเข้าสู่ค่าอ้างอิง  $\pm 2.0$  โวลต์
2. ผลตอบสนองต่อการควบคุมแรงดันในการรับกวนระบบอยู่ในเกณฑ์ดีมาก โดยทั้งการเพิ่มและลดภาระให้แก่ระบบ ใช้เวลาประมาณ 3 วินาทีในการเข้าสู่ค่าแรงดันอ้างอิง ซึ่งมีค่าความผิดพลาดของแรงดันเมื่อเข้าสู่ค่าอ้างอิง  $\pm 2.0$  โวลต์

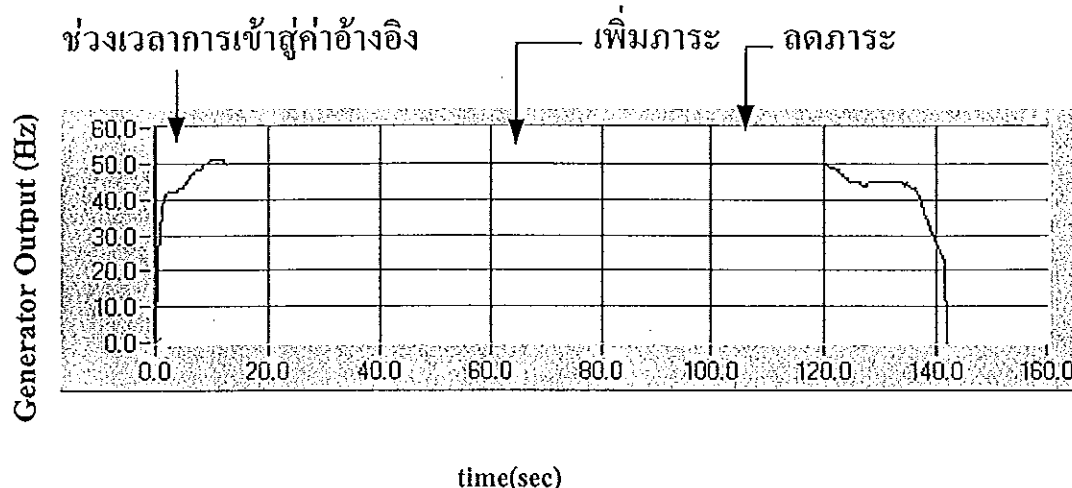
สรุปผลการทดลองครั้งที่ 5 พนวจว่าได้ผลการทดลองดีกว่าการทดลองครั้งที่ 4 โดยทั้ง 2 ระบบสามารถทำงานร่วมกันได้ดี ให้ผลการควบคุมความเร็วและแรงดันเป็นที่น่าพอใจทั้งในส่วนของการเข้าสู่ค่าอ้างอิงและการรับกวนระบบ

### 6.6 การทดลองครั้งที่ 6

เมื่อได้ผลการควบคุมที่น่าพอใจยิ่งจากผลการทดลองครั้งที่ 5 จึงได้มีการนำตัวควบคุมความเร็วและแรงดันแบบฟิล์眇อิจิกไปควบคุมภาระอิเล็กทรอนิกส์ที่ใช้ในงานจริงมากก่อนอื่น เนื่องจากน้ำ ซึ่งใช้งานมากในชีวิตประจำวัน เช่น มอเตอร์ในระบบทำความเย็น มอเตอร์พัดลม เป็นต้น โดยมอเตอร์เนื่องจากน้ำที่นำมาทดลองมีคุณสมบัติดังนี้

3 เฟส 50 เฮิรตซ์ 1.8 กิโลวัตต์ 380 โวลต์ 4.6 แอม培ร์ (ต่อแบบสตาร์)

ซึ่งได้ผลตอบสนองต่อการควบคุมความเร็ว(ความถี่)ตามภาพประกอบ 6.12

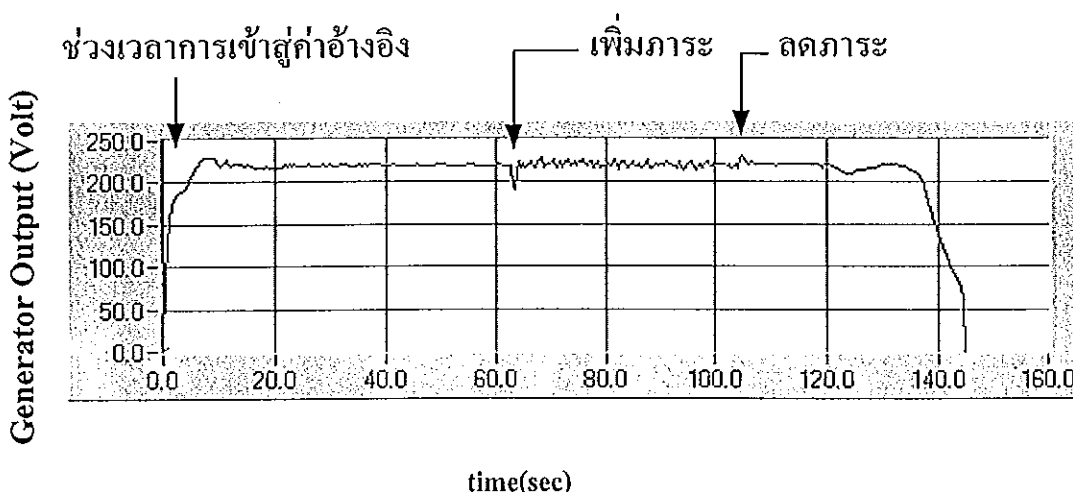


ภาพประกอบ 6.12 แสดงผลตอบสนองต่อการควบคุมความถี่ในการทดลองครั้งที่ 6

จากผลการทดลองตามภาพประกอบ 6.12 สามารถประเมินผลข้อมูลได้ดังนี้

- ผลตอบสนองต่อการควบคุมความถี่ในการเข้าสู่ค่าความถี่อ้างอิง(50 เฮิรตซ์) อยู่ในเกณฑ์ค่อนข้างมาก โดยมีช่วงเวลาในการแกว่งประมาณ 2 วินาที ซึ่งน้อยมากโดยมีค่าความผิดพลาดของความถี่เมื่อเข้าสู่ค่าอ้างอิง  $\pm 0.5$  เฮิรตซ์
- ผลตอบสนองต่อการควบคุมความถี่ในการรันกวนระบบอยู่ในเกณฑ์ค่อนข้างมาก ไม่มีค่าความผิดพลาดของความถี่เมื่อเข้าสู่ค่าอ้างอิง

ซึ่งได้ผลตอบสนองต่อการควบคุมแรงดันตามภาพประกอบ 6.13



ภาพประกอบ 6.13 แสดงผลตอบสนองต่อการควบคุมแรงดันในการทดลองครั้งที่ 6

จากผลกระทบตามภาพประกอบ 6.12 สามารถประเมินผลข้อมูลได้ดังนี้

1. ผลตอบสนองต่อการควบคุมแรงดันในการเข้าสู่ค่าแรงดันอ้างอิง(220 โวลต์) อุญจัยในเกณฑ์คิมาก โดยมีค่าความผิดพลาดของแรงดันเมื่อเข้าสู่ค่าอ้างอิงเพียง  $\pm 2.0$  โวลต์

2. ผลตอบสนองต่อการควบคุมแรงดันในการรับการระบบอยู่ในเกณฑ์คิมากโดยเมื่อมีการเพิ่มภาระให้แก่ระบบ มีค่าความผิดพลาดของแรงดันเมื่อเข้าสู่ค่าอ้างอิง  $\pm 3.0$  โวลต์ และเมื่อมีการลดภาระให้แก่ระบบ มีค่าความผิดพลาดของแรงดันเมื่อเข้าสู่ค่าอ้างอิง  $\pm 2.0$  โวลต์

สรุปผลการทดลองครั้งที่ 6 ซึ่งทดลองกับมอเตอร์ พนว่าได้ผลการทดลองที่น่าพอใจเช่นเดียวกับการทดลองครั้งที่ 5 โดยทั้ง 2 ระบบสามารถทำงานร่วมกันได้ดี ให้ผลการควบคุมความเร็วและแรงดันเป็นที่น่าพอใจทั้งในส่วนการเข้าสู่ค่าอ้างอิงและการรับการระบบ

### 6.7 การทดลองครั้งที่ 7

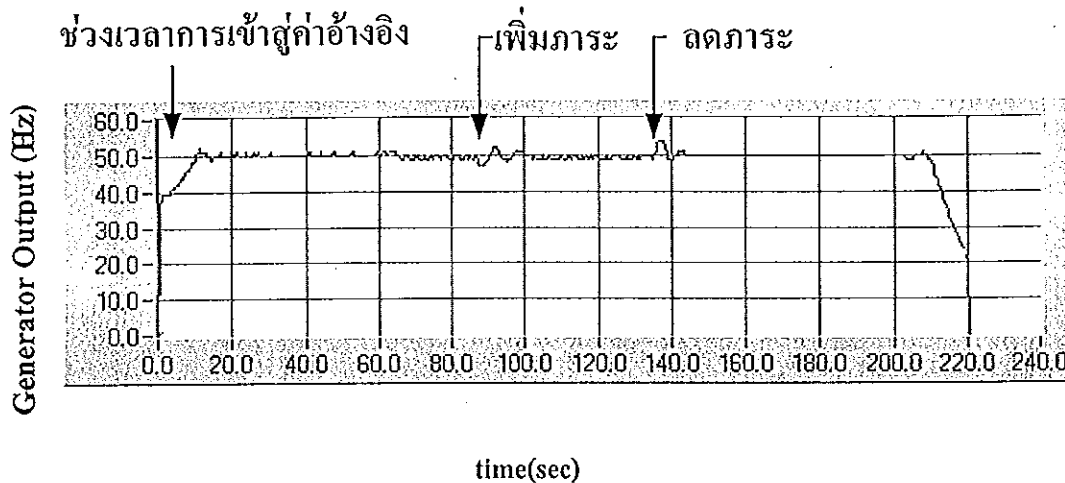
ทำการทดลองเหมือนการทดลองครั้งที่ 5 ทุกประการ เพียงแต่ใช้ฟิล์ชีอินพุตเพียง 1 ตัว คือใช้ค่าความผิดพลาด(Error Value) เพียงค่าเดียว

ส่วนที่ 1. เนื่องจากมีฟิล์ชีอินพุตเพียงค่าเดียวจึงมีกฎในการควบคุมความเร็วดังแสดงตามตาราง 6.10

ตาราง 6.10 แสดงเงื่อนไขที่กำหนดขึ้นของเอาต์พุตฟิล์ชีของการควบคุมความเร็ว  
มอเตอร์กระ Darren ในการทดลองครั้งที่ 7

Error Frequency	LN	SN	ZE	SP	LP
Fuzzy Output	LN	SN	ZE	SP	LP

ซึ่งได้ผลตอบสนองต่อการควบคุมความเร็ว(ความถี่)ตามภาพประกอบ 6.14



ภาพประกอบ 6.14 แสดงผลตอบสนองต่อการควบคุมความถี่ในการทดลองครั้งที่ 7

จากผลการทดลองตามภาพประกอบ 6.14 สามารถประเมินผลข้อมูลได้ดังนี้

- ผลตอบสนองต่อการควบคุมความถี่ในการเข้าสู่ค่าความถี่อ้างอิง(50 เฮิรตซ์) อยู่ในเกณฑ์ดีมาก โดยมีค่าความผิดพลาดของความถี่เมื่อเข้าสู่ค่าอ้างอิง  $\pm 0.5$  เฮิรตซ์
- ผลตอบสนองต่อการควบคุมความถี่ในการรับกวนระบบอยู่ในเกณฑ์ดี แต่ใช้ระยะเวลาในการเข้าสู่ค่าความถี่อ้างอิงค่อนข้างนาน โดยใช้เวลาประมาณ 15 วินาทีเมื่อเพิ่มภาระให้ระบบ และเมื่อเมื่อลดภาระให้แก่ระบบ ใช้เวลาประมาณ 8 วินาทีในการเข้าสู่ค่าความถี่อ้างอิง ซึ่งมีค่าความผิดพลาดของความถี่เมื่อเข้าสู่ค่าอ้างอิง  $\pm 0.5$  เฮิรตซ์

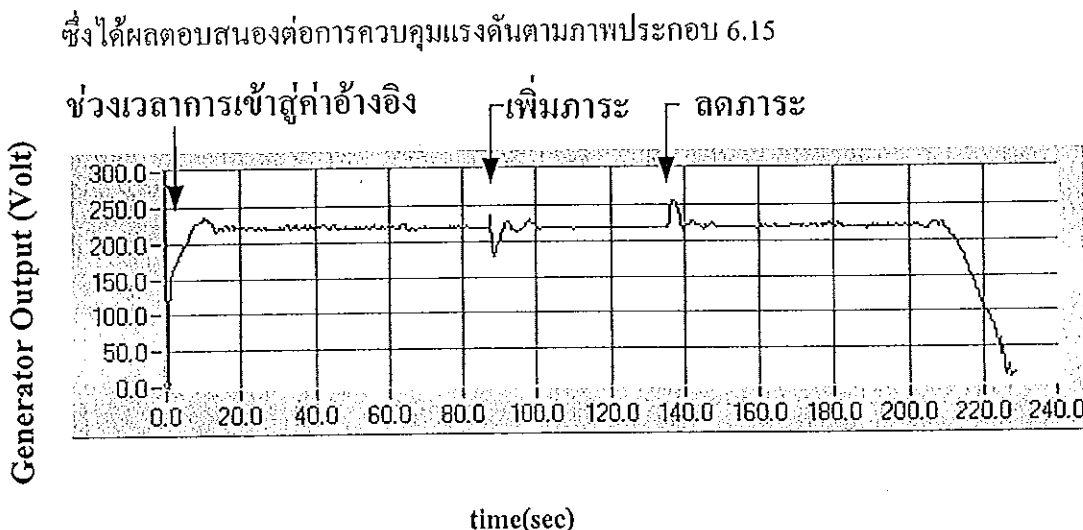
- เมื่อเปรียบเทียบกับการควบคุมความถี่ในทดลองครั้งที่ 5 ที่มีฟิลเตอร์อินพุต 2 ตัว พบว่า เมื่อมีฟิลเตอร์อินพุตมากกว่า จะให้ผลการตอบสนองความถี่ที่ดีกว่า

ส่วนที่ 2. เมื่อจากมีฟิลเตอร์อินพุตเพียงค่าเดียวจะมีกําลังในการควบคุมแรงดันคงแสลงตาม

ตาราง 6.11

ตาราง 6.11 แสดงเงื่อนไขที่กำหนดขึ้นของเอตพุตฟิลเตอร์ของการควบคุมแรงดัน  
เจนเนอเรเตอร์กระแสตรงในการทดลองครั้งที่ 7

Error Voltage	LN	SN	ZE	SP	LP
Fuzzy Output	LP	SP	ZE	SN	LN



ภาพประกอบ 6.15 แสดงผลตอบสนองต่อการควบคุมแรงดันในการทดลองครั้งที่ 7

จากการทดลองตามภาพประกอบ 6.15 สามารถประเมินผลข้อมูลได้ดังนี้

- ผลตอบสนองต่อการควบคุมแรงดันในการเข้าสู่ค่าแรงดันอ้างอิง(220 โวลต์) อยู่ในเกณฑ์ดีมาก โดยมีค่าความผิดพลาดของแรงดันเมื่อเข้าสู่ค่าอ้างอิง  $\pm 2.0$  โวลต์
- ผลตอบสนองต่อการควบคุมแรงดันในการรับกวนระบบอยู่ในเกณฑ์ดีมาก โดยมีค่าความผิดพลาดของแรงดันเมื่อเข้าสู่ค่าอ้างอิงเพียง  $\pm 2.0$  โวลต์
- เมื่อเปรียบเทียบกับการควบคุมแรงดันในทดลองครั้งที่ 5 ที่มีฟซช์อินพุต 2 ตัว พบว่าถึงแม้วลามาการเข้าสู่ค่าแรงดันอ้างอิงของการทดลองครั้งที่ 7 นานกว่าของครั้งที่ 5 แต่สถานะที่ใช้เวลานานกว่าเนื่องมาจากการเข้าสู่ค่าความถี่อ้างอิงในการทดลองครั้งที่ 7 นานกว่าของครั้งที่ 5 (แรงดันแปรผันตรงกับความถี่ที่ผลิตได้) จึงไม่อาจสรุปได้ว่าเมื่อมีฟซช์อินพุตมากกว่า จะให้ผลการตอบสนองที่ดีกว่า

## บทที่ 7

### บทวิจารณ์และสรุป

จากผลการทดลองแสดงให้เห็นว่าประสิทธิภาพของระบบควบคุมพืชซึ่งทั้ง 2 ระบบคือระบบควบคุมความเร็วนอเตอร์กระแทกและระบบควบคุมแรงดันเครื่องเข็นเนอเรเตอร์กระแทกสัมภัยให้ผลที่น่าพอใจสำหรับผลตอบสนองต่อค่าอ้างอิง โดยที่ค่าความถี่และแรงดันไฟฟ้าที่ผลิตได้จะมีค่าความผิดพลาดอยู่ในช่วง  $\pm 0.5$  เอิร์คซ์ และ  $\pm 2.0$  โวต์ ตามลำดับ ทั้งนี้ผลตอบสนองที่ได้ขึ้นอยู่กับตัวควบคุมแบบพืชซึ่งลอกอิก ไม่ว่าจะเป็นกฎในการสร้างเสื่อนใบหรืองานอินพุตที่ใช้ในการควบคุม จึงทำให้ได้มาซึ่งระบบควบคุมที่มีประสิทธิภาพสูงสุด นอกจากนี้ยังแสดงให้เห็นว่าระบบควบคุมซึ่งเป็นซอฟท์แวร์ที่ทำงานบนคอมพิวเตอร์จะสามารถต่อการเปลี่ยนแปลงค่าพารามิเตอร์ต่างๆ และสามารถเชื่อมโยงกับผู้ใช้ได้ง่าย เหนือสิ่งอื่นใดยังสามารถทำงานได้หลายอย่างในเวลาเดียวกัน เช่น การรับสัญญาณเพื่อหาค่าความถี่และแรงดันของไฟฟ้าที่ผลิตได้ การประมวลผลแบบพืชซึ่งลอกอิกในการควบคุมความเร็วนอเตอร์กระแทกและแรงดันเครื่องเข็นเนอเรเตอร์กระแทกสัมภัย และการส่งสัญญาณไปควบคุมความเร็วนอเตอร์กระแทกและแรงดันเครื่องเข็นเนอเรเตอร์กระแทกสัมภัยเพื่อให้ไฟฟ้าที่ผลิตได้มีค่าความถี่และแรงดันตามค่าอ้างอิงที่กำหนดไว้ซึ่งการทำงานต่างๆ ที่กล่าวมานี้เป็นกระบวนการการทำงานในเวลาจริง

จะเห็นว่าการควบคุมด้วยพืชซึ่งลอกอิกเป็นวิธีควบคุมอิเล็กทรอนิกส์ที่อาศัยรูปแบบการแก้ปัญหาโดยใช้เหตุผลของมนุษย์เป็นแนวทางวิเคราะห์เพื่อทำการควบคุมระบบโดยอาศัยการคำนวณการเชิงตรรกะแบบพืชซึ่งลอกอิกเป็นเครื่องมือ ซึ่งถัดขยายศักยภาพควบคุมแบบพืชซึ่งลอกอิกนี้จะเป็นตัวประเมินค่าตัวแปรที่ต้องการควบคุมโดยไม่ต้องใช้แบบจำลองทางคณิตศาสตร์ของระบบ จึงทำให้สามารถใช้กับระบบที่ไม่เป็นเชิงเส้น หรือระบบที่ยากแก่การหาแบบจำลองทางคณิตศาสตร์ อีกทั้งยังสามารถใช้ได้กับระบบที่มีหลายอินพุตหลายเอาต์พุตได้อีกด้วย ซึ่งแนวทางของทฤษฎีระบบควบคุมแบบพืชซึ่งลอกอิกนี้ สามารถแก้ปัญหาที่เกิดขึ้นกับระบบควบคุมอื่นได้ เช่น ระบบควบคุมอุตสาหกรรมในเครื่องท่าน้ำอุ่น ระบบควบคุมสัญญาณไฟจราจร ระบบเตือนภัยหรือควบคุมสถานะอากาศของบ้าน หรือสำนักงาน ระบบพยากรณ์อากาศโดยใช้ค่าความชื้นสัมพัทธ์ อุณหภูมิ และความดันอากาศ ระบบควบคุมการไหลของผลิตภัณฑ์ในกระบวนการผลิต เป็นต้น และเนื่องจากไม่ต้องใช้คณิตศาสตร์ที่ซับซ้อนในการคำนวณจึงทำให้สามารถพัฒนาระบบที่ทำงานแบบทันทีได้โดยไม่ยากนัก และไม่จำเป็นต้องอาศัยความรู้เกี่ยวกับทฤษฎีการควบคุมที่ลึกซึ้ง

ทั้งนี้การเติบโตของฟิชช์ล็อกจิกยังคงมีต่อไป ดังที่ได้ปรากฏในปัจจุบันว่ากำลังมีการวิจัยเกี่ยวกับระบบ Neuro-Fuzzy ที่มีลักษณะสมของฟิชช์ล็อกจิกกับเครือข่ายประสาท(Neural Network)จากทั้งหมดที่ได้กล่าวมานี้ จึงหมายความได้ว่าสามารถนำทฤษฎีฟิชช์ล็อกจิกไปประยุกต์ใช้ในงานอื่นได้

#### ข้อเสนอแนะ

หากประสงค์การณ์ในการทดลองใช้ระบบควบคุมแบบฟิชช์ล็อกจิกนี้ พนบฯ คาดว่าความเร็วของคอมพิวเตอร์เป็นปัจจัยสำคัญที่มีผลต่อเวลาที่จะทำให้ระบบเข้าสู่สภาวะปกติเมื่อมีการเปลี่ยนแปลงภาระทางไฟฟ้า ดังนั้นถ้าใช้คอมพิวเตอร์ที่มีความเร็วเพิ่มขึ้น จะทำให้ระบบเข้าสู่สภาวะปกติได้รวดเร็วขึ้น

## บรรณานุกรม

ชัชวาล โชคิวารินทร์. 2542. " օอป้าคิปเปลอร์หัวใจใบทางแสง ", ขอบนีอิเล็กทรอนิกส์. 88 (พฤษภาคม 2542), 29-35.

พิชิต ถ่ายอง. 2540. เครื่องจักรกลไฟฟ้า 1, กรุงเทพฯ : สถาบันเทคโนโลยีพระจอมเกล้าเจ้าคุณทหารลาดกระบัง.

ภารก ศันสนียวนิช, ทวารณ อรุณวิวัฒน์, เสริมศักดิ์ เลิศมนโนรัตน์ และพิษณุ โภการัตน์กุล. 2539. " การควบคุมการผลิตพลังงานไฟฟ้าโดยใช้ไฟซี่ล็อกจิกที่เรียนรู้ได้ด้วยตัวเอง ", การประชุมทางวิชาการวิศวกรรมไฟฟ้าครั้งที่ 19. มหาวิทยาลัยขอนแก่น, CT26-31.

นานะ ลักษณิชพันธ์. 2540. " ไอจีบีที ", ขอบนีอิเล็กทรอนิกส์. 64( มกราคม 2540 ), 64-70.

นานะ ลักษณิชพันธ์. 2540. " พิชซี่ล็อกจิกเทคโนโลยีที่พัฒนาเพื่อความรู้สึกของมนุษย์ ", ขอบนีอิเล็กทรอนิกส์. 71( พฤษภาคม 2540 ), 63-67.

นานะ ลักษณิชพันธ์. 2540. " พิชซี่ล็อกจิกเทคโนโลยีที่พัฒนาเพื่อความรู้สึกของมนุษย์ ", ขอบนีอิเล็กทรอนิกส์. 72( มิถุนายน 2540 ), 52-55.

วิบูลย์ ปิยวัฒเนหา, ไพรสิทธิ์ ศรีวัฒนาณยุลกิจ และกิตติ ไพรழราษฎร์. 2537. " การประยุกต์ใช้ทฤษฎีพิชซี่ล็อกจิกในเครื่องทำน้ำอุ่น ", วิศวกรรมสาร. 10 ( ตุลาคม 2537 ), 69-73 .

สุรียร เกียรติสุนทร. 2537. พื้นฐานวิศวกรรมระบบควบคุมในกระบวนการอุตสาหกรรม 1, กรุงเทพฯ : สมาคมส่งเสริมเทคโนโลยี ( ไทย-ญี่ปุ่น ).

อรวรรษ รุจิราลัย. 2540. " เครื่องควบคุมแบบพิชซี่ล็อกจิกสำหรับเครื่องกำเนิดไฟฟ้า ", ปริญญา-นิพนธ์ สาขาวิชาชีวกรรมไฟฟ้า คณะวิศวกรรมศาสตร์ มหาวิทยาลัยสงขลานครินทร์.

Fitzgerald, A. E.; Kingsley, C. and Umans, S. D. 1992. Electric Machinery. 5<sup>th</sup> ed. UK : Mc.Graw Hill Book Company.

Kristjansson, E.; Barak, D. and Plummer, K. 1995. "Use of Fuzzy Logic Control in Electrical Power Generation", In Fuzzy Logic Control : Software and Hardware Applications. pp.329-335. University of New Mexico.

National Instruments Corporation. 1996. Getting Started With LabView. July 1996 Edition.

National Instruments Corporation. 1996. LabView for Windows User Manual. July 1996 Edition.

National Instruments Corporation. 1996. LabView for Windows Interface Reference Manual. July 1996 Edition.

National Instruments Corporation. 1996. LabView for Windows Advanced Analysis Library Reference Manual. July 1996 Edition.

National Instruments Corporation. 1996. Lab-PC-1200/User Manual. June 1996 Edition.

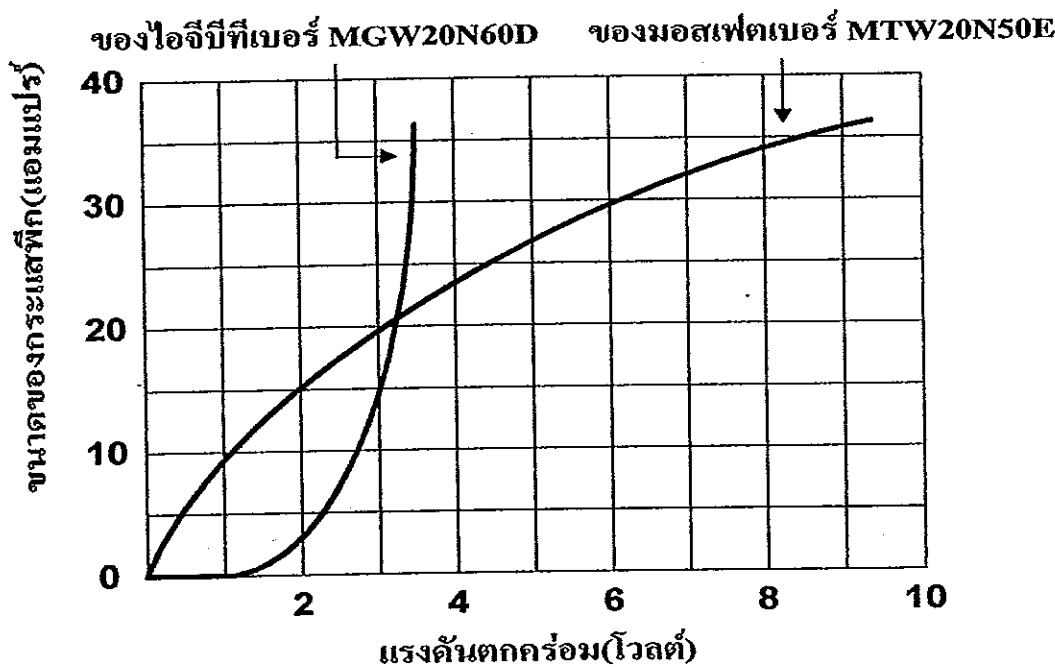
Okata, K. 1990. Modern Control Engineering. 2<sup>nd</sup> ed. New Jersey : Prentice-Hall international Editions.

## ภาคผนวก

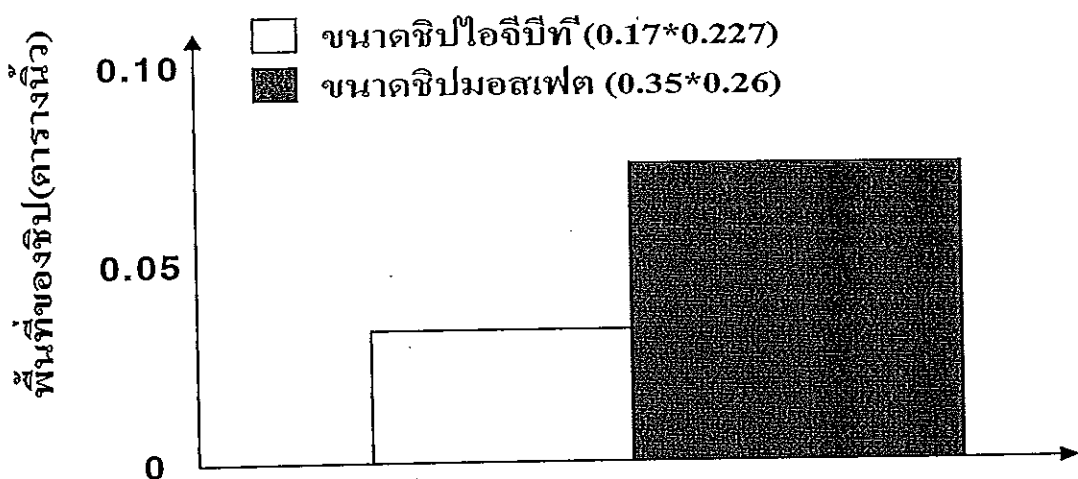
### ภาคผนวก ก คุณสมบัติและรายละเอียดของไอจีบีที

ไอจีบีทีเป็นสวิตช์สารกึ่งตัวนำ ที่เกิดจากการเอาข้อดีของมอสเฟต(Mosfet), จีที โอล(Gate Turn- Off SCR) และทรานซิสเตอร์(Transister) ไว้ในตัวเดียวกัน( นานะ ลัทชิวนิชพันธ์ , 2540ก ) โดยคุณสมบัติที่ดีของมอสเฟตคือ เกตมีค่าอินพีดเคนซูง , คุณสมบัติที่ดีของจีที โอลคือสามารถปิดกันแรงดันได้ทั้ง 2 ด้าน ควบคุมได้ง่าย ทนพิกัดแรงดันได้สูง มีความถี่ในการสวิตช์สูงและคุณสมบัติที่ดีของทรานซิสเตอร์คือมีแรงดันต่ำคร่อมต่ำขณะนำกระแส

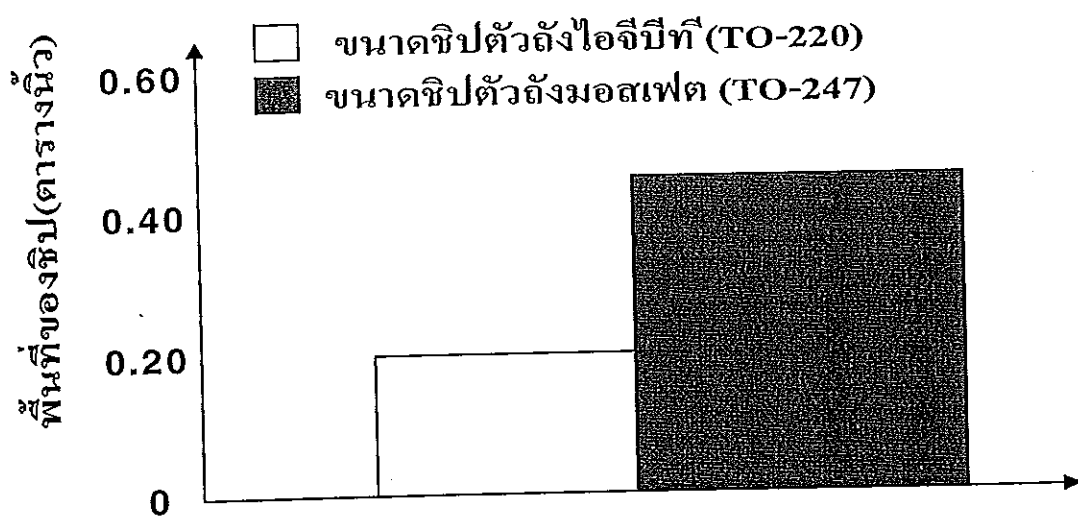
โดยข้อดีของไอจีบีทีมีต่อ้มอสเฟตคือแรงดันต่ำคร่อมขณะนำกระแสของไอจีบีทีมากกว่าของมอสเฟต ซึ่งทำให้การสูญเสียขณะนำกระแสต่ำกว่ามอสเฟต ดังภาพประกอบ ก1



ภาพประกอบ ก1 แสดงแรงดันต่ำคร่อมขณะนำกระแสของไอจีบีทีคล่องเนื้อเรียบเทียบกับ  
มอสเฟตในพิกัดเดียวกัน



ภาพประกอบ ก2 ขนาดพื้นที่ชิปชิลิคอนของไอจีบีทีลดลงเมื่อเปรียบเทียบกับมอสเฟต  
ในพิกัดเดียวกัน



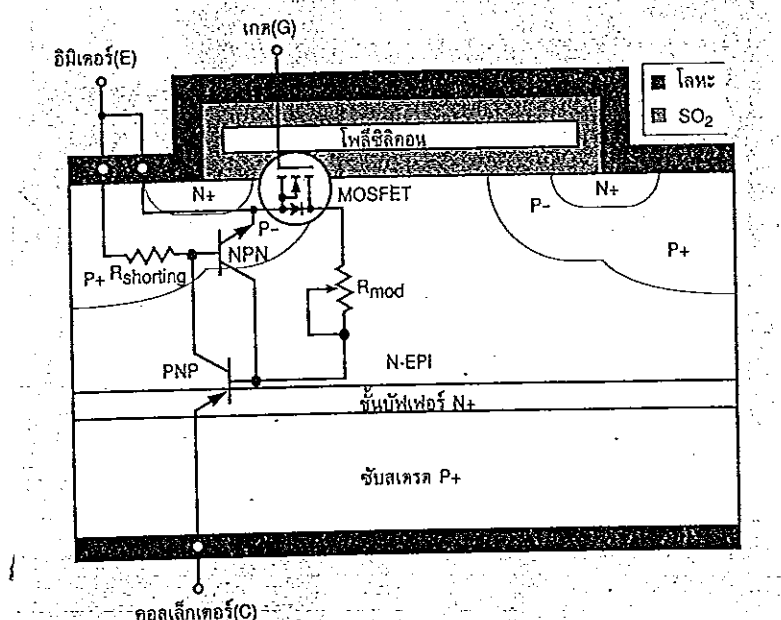
ภาพประกอบ ก3 ขนาดพื้นที่ของตัวถังไอจีบีทีลดลงเมื่อเปรียบเทียบกับมอสเฟต  
ในพิกัดเดียวกัน

โดยข้อดีของ “ไอจีบีที” ที่มีต่อทรายชิลิเตอร์คือขับได้ง่ายกว่าและความเร็วในการสวิตช์สูงกว่า เนื่องจาก การที่ขาเกตแยกกลอยออกมากทำให้ขับได้ง่ายกว่า การใช้ทรายชิลิเตอร์เป็นสวิตช์ซึ่งต้องการกระแสเบสที่เพียงพอต่อการทำงานขั้นให้ถึงจุดอิ่มตัว(Saturation) ปกติกระแสเบสจำเป็นต้องมีค่าต่ำกว่ากระแสเบสของเล็กเตอร์อย่างน้อย 10 เท่า วงจรขับทรายชิลิเตอร์จึงต้องมีการตอบสนอง

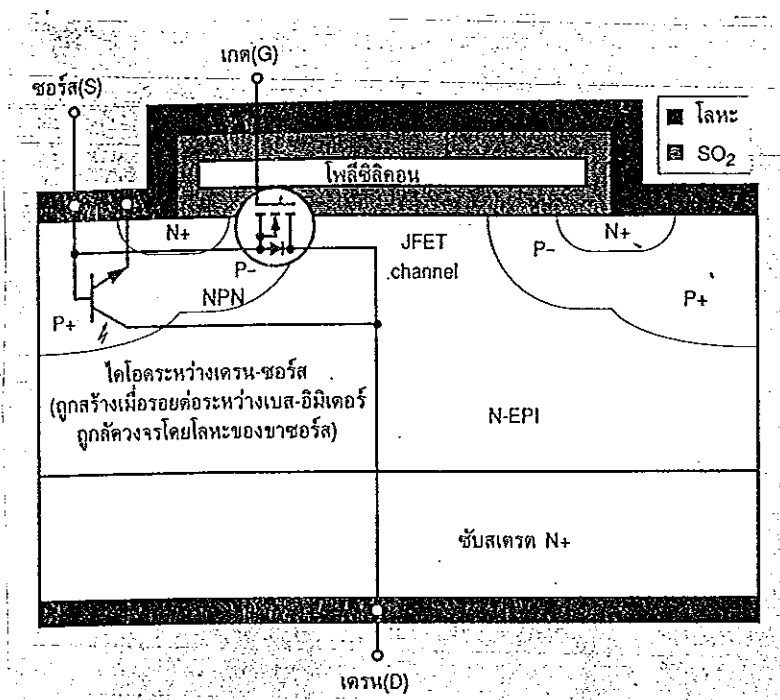
โดยข้อดีของ ไอจีบีที่มีต่อทราบชิสแอลอร์คือขึ้นได้ง่ายกว่าและความเร็วในการสวิตช์สูงกว่า เมื่อจากการที่ขาเกตแยกออกจากทำให้ขึ้นได้ง่ายกว่า การใช้ทราบชิสแอลอร์เป็นสวิตช์ซึ่งต้องการกระแสเป็นที่เพียงพอต่อการทำงานขึ้นให้ถึงจุดอิ่มตัว(Saturation) ปกติกระแสเป็นต้องมีค่าต่ำกว่ากระแสคลอดเล็กเหลือร้อยยั่งน้อย 10 เท่า วงจรขั้นทราบชิสแอลอร์จะต้องมีการตอบสนองต่อสภาวะการดึงกระแสของ โหลดที่มีการเปลี่ยนแปลงตลอดเวลา หรืออีกนัยหนึ่งคือกระแสของทราบชิสแอลอร์ต้องรักษาสัดส่วนกับกระแสคลอดเล็กเหลือไว้ นิ เช่นนี้ทราบชิสแอลอร์จะไม่อยู่ในสภาวะอิ่มตัวเมื่อใช้กับ โหลดที่คินกระแสสูง ทราบชิสแอลอร์เป็นอุปกรณ์สารที่หัวนำที่นำกระแสไฟฟ้าระหว่างหัวและประจุล่วงน้อย ผลของการสะท้อนประจุและการรวมตัวของประจุจะทำให้เป็นสาเหตุที่ทราบชิสแอลอร์ทำงานได้ช้า

โดยข้อดีของ ไอจีบีที่มีต่อจีที ไอคือมีความสามารถในการหยุดนำกระแส(Gate Turn Off) ที่ดีกว่า ซึ่งการหยุดนำกระแสที่ขาเกตของจีที ไอคือการกระแสเกตดับทางจำนวนมากเพื่อทำให้มันหยุดนำกระแส ส่วนการหยุดนำกระแสของ ไอจีบีที่ต้องการเพียงแค่การดิส查าร์จค่าความจุของขาเกตเท่านั้น

โครงสร้างของ ไอจีบีที่มีลักษณะคล้ายคลึงกับนอตเฟต(Double Diffusion Mos:DMOS) ซึ่งแตกต่างระหว่างนอตเฟต(ดังภาพประกอบ ก4) กับ ไอจีบีที่(ดังภาพประกอบ ก5) คือชั้นสเตรต(Substring) ของวัสดุเริ่มต้นใช้วัสดุและนิ่นตอนในการผลิตต่างกัน ไอจีบีที่อาจจะถูกสร้างมาจากมาสก์(Mask) หรือหน้ากากของการผลิตเพาเวอร์นอตเฟต ชุบมาสก์ของโนโลจี ได้ถูกออกแบบโดยเฉพาะสำหรับใช้กับ ไอจีบีที่ชั้นสเตรตของนอตเฟตจะเป็นสาร  $P^+$

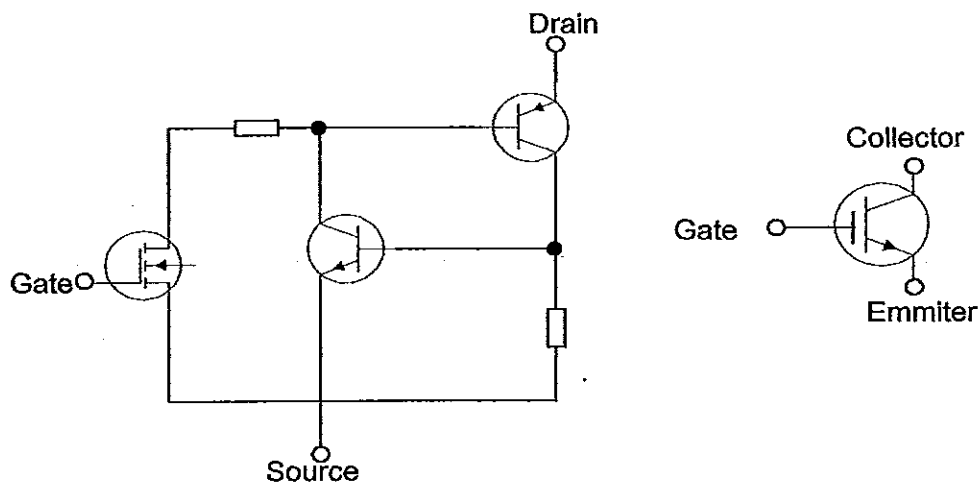


ภาพประกอบ ก4 ภาพตัดขวางและวงจรไฟฟ้าภายในของนอตเฟต 1 เซลล์



ภาพประกอบ ก ภาพตัดขวางและวงจรไฟฟ้าภายในของไอจีบีที 1 เมล็ด

โดยวงจรสมมูลและสัญลักษณ์มาตรฐานของไอจีบีทีแสดงค้างภาพประกอบ ก6



ภาพประกอบ ก6 แสดงวงจรสมมูลและสัญลักษณ์มาตรฐานของไอจีบีที

ไอจีบีทีที่ใช้ในงานวิจัยนี้ คือ เมอร์ IRGPH40MD2 ของ International Rectifier ซึ่งมี  
คุณสมบัติดังนี้

# International ICR Rectifier

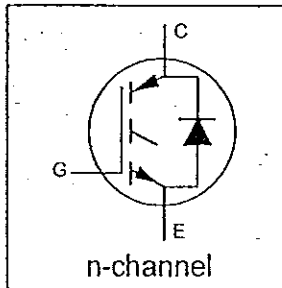
Preliminary Data Sheet PD - 9.1118

## IRGPH40MD2

### INSULATED GATE BIPOLAR TRANSISTOR WITH ULTRAFAST SOFT RECOVERY DIODE

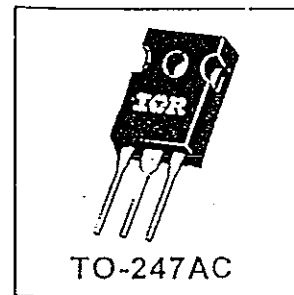
#### Features

- Short circuit rated  $-10\mu s$  @  $125^\circ C$ ,  $V_{GE} = 15V$
- Switching-loss rating includes all "tail" losses
- HEXFRED™ soft ultrafast diodes
- Optimized for medium operating frequency (1 to 10kHz)



Short Circuit Rated  
Fast CoPack IGBT

$V_{CES} = 1200V$   
 $V_{CE(sat)} \leq 3.4V$   
@  $V_{GE} = 15V$ ,  $I_C = 18A$



#### Description

Co-packaged IGBTs are a natural extension of International Rectifier's well-known IGBT line. They provide the convenience of an IGBT and an ultrafast recovery diode in one package, resulting in substantial benefits to a host of high-voltage, high-current, applications.

These new short circuit rated devices are especially suited for motor control and other applications requiring short circuit withstand capability.

#### Absolute Maximum Ratings

	Parameter	Max.	Units
$V_{CES}$	Collector-to-Emitter Voltage	1200	V
$I_C @ T_c = 25^\circ C$	Continuous Collector Current	31	
$I_C @ T_c = 100^\circ C$	Continuous Collector Current	18	
$I_{CM}$	Pulsed Collector Current ①	62	A
$I_{LM}$	Clamped Inductive Load Current ②	62	
$I_F @ T_c = 100^\circ C$	Diode Continuous Forward Current	8.0	
$I_M$	Diode Maximum Forward Current	62	
$t_{sc}$	Short Circuit Withstand Time	10	$\mu s$
$V_{GE}$	Gate-to-Emitter Voltage	$\pm 20$	V
$P_D @ T_c = 25^\circ C$	Maximum Power Dissipation	160	W
$P_D @ T_c = 100^\circ C$	Maximum Power Dissipation	65	
$T_J$	Operating Junction and	$-55$ to $+150$	
$T_{STG}$	Storage Temperature Range		
	Soldering Temperature, for 10 sec.	300 (0.063 in. (1.6mm) from case)	
	Mounting Torque, 6-32 or M3 Screw.	10 lbf/in (1.1 N·m)	

#### Thermal Resistance

	Parameter	Min.	Typ.	Max.	Units
$R_{UJC}$	Junction-to-Case - IGBT	—	—	0.77	
$R_{UJC}$	Junction-to-Case - Diode	—	—	1.7	$^\circ C/W$
$R_{UCS}$	Case-to-Sink, flat, greased surface	—	0.24	—	
$R_{UJA}$	Junction-to-Ambient, typical socket mount	—	—	40	
$Wt$	Weight	—	6 (0.21)	—	g (oz)

Revision 2

## IRGPH40MD2

Electrical Characteristics @  $T_J = 25^\circ\text{C}$  (unless otherwise specified)

	Parameter	Min.	Typ.	Max.	Units	Conditions
$V_{(BR)CES}$	Collector-to-Emitter Breakdown Voltage ①	1200	—	—	V	$V_{GE} = 0V, I_C = 250\mu\text{A}$
$\Delta V_{(BR)CES}/\Delta T$	Temp. Coeff. of Breakdown Voltage	—	1.1	—	V/ $^\circ\text{C}$	$V_{GE} = 0V, I_C = 1.0\text{mA}$
$V_{CE(on)}$	Collector-to-Emitter Saturation Voltage	—	2.3	3.4	V	$I_C = 18\text{A}, V_{GE} = 15\text{V}$
		—	3.0	—	V	$I_C = 31\text{A}$
		—	2.8	—	V	$I_C = 18\text{A}, T_J = 150^\circ\text{C}$
$V_{GE(th)}$	Gate Threshold Voltage	3.0	—	5.5	V	$V_{CE} = V_{GE}, I_C = 250\mu\text{A}$
$\Delta V_{GE(th)/\Delta T_J}$	Temp. Coeff. of Threshold Voltage	—	-14	—	mV/ $^\circ\text{C}$	$V_{CE} = V_{GE}, I_C = 250\mu\text{A}$
$g_{fe}$	Forward Transconductance ④	4.0	10	—	S	$V_{CE} = 100\text{V}, I_C = 18\text{A}$
$I_{CES}$	Zero Gate Voltage Collector Current	—	—	250	$\mu\text{A}$	$V_{GE} = 0V, V_{CE} = 1200\text{V}$
		—	—	3500	$\mu\text{A}$	$V_{GE} = 0V, V_{CE} = 1200\text{V}, T_J = 150^\circ\text{C}$
$V_{FM}$	Diode Forward Voltage Drop	—	2.6	3.3	V	$I_C = 8\text{A}$
		—	2.3	3.0	V	$I_C = 8\text{A}, T_J = 150^\circ\text{C}$
$I_{GES}$	Gate-to-Emitter Leakage Current	—	—	$\pm 100$	nA	$V_{GE} = \pm 20\text{V}$

Switching Characteristics @  $T_J = 25^\circ\text{C}$  (unless otherwise specified)

	Parameter	Min.	Typ.	Max.	Units	Conditions
$Q_g$	Total Gate Charge (turn-on)	—	50	75	nC	$I_C = 18\text{A}$ $V_{CC} = 400\text{V}$
$Q_{ge}$	Gate - Emitter Charge (turn-on)	—	11	21	nC	
$Q_{gc}$	Gate - Collector Charge (turn-on)	—	15	30	nC	
$t_{d(on)}$	Turn-On Delay Time	—	67	—	ns	$T_J = 25^\circ\text{C}$
$t_r$	Rise Time	—	89	—	ns	$I_C = 18\text{A}, V_{CC} = 800\text{V}$
$t_{d(off)}$	Turn-Off Delay Time	—	340	930	ns	$V_{GE} = 15\text{V}, R_G = 10\Omega$
$t_f$	Fall Time	—	510	930	ns	Energy losses include "tail" and diode reverse recovery.
$E_{on}$	Turn-On Switching Loss	—	2.1	—	mJ	
$E_{off}$	Turn-Off Switching Loss	—	5.9	—	mJ	
$E_{ls}$	Total Switching Loss	—	8.0	13	mJ	
$t_{sc}$	Short Circuit Withstand Time	10	—	—	$\mu\text{s}$	$V_{CC} = 720\text{V}, T_J = 125^\circ\text{C}$ $V_{GE} = 15\text{V}, R_G = 10\Omega, V_{CPK} < 1000\text{V}$
$t_{d(on)}$	Turn-On Delay Time	—	64	—	ns	$T_J = 150^\circ\text{C}$
$t_r$	Rise Time	—	74	—	ns	$I_C = 18\text{A}, V_{CC} = 800\text{V}$
$t_{d(off)}$	Turn-Off Delay Time	—	550	—	ns	$V_{GE} = 15\text{V}, R_G = 10\Omega$
$t_f$	Fall Time	—	1200	—	ns	Energy losses include "tail" and diode reverse recovery.
$E_{ls}$	Total Switching Loss	—	16	—	mJ	
$L_E$	Internal Emitter Inductance	—	13	—	nH	Measured 5mm from package
$C_{ies}$	Input Capacitance	—	1400	—	pF	$V_{GE} = 0\text{V}$ $V_{CC} = 30\text{V}$ $f = 1.0\text{MHz}$
$C_{ees}$	Output Capacitance	—	100	—	pF	
$C_{res}$	Reverse Transfer Capacitance	—	15	—	pF	
$t_{rr}$	Diode Reverse Recovery Time	—	63	95	ns	$T_J = 25^\circ\text{C}$
		—	106	160	ns	$T_J = 125^\circ\text{C}$
$I_{rr}$	Diode Peak Reverse Recovery Current	—	4.5	8.0	A	$T_J = 25^\circ\text{C}$
		—	6.2	11	A	$T_J = 125^\circ\text{C}$
$Q_{rr}$	Diode Reverse Recovery Charge	—	140	380	nC	$T_J = 25^\circ\text{C}$
		—	335	880	nC	$T_J = 125^\circ\text{C}$
$dI_{(rec)M}/dt$	Diode Peak Rate of Fall of Recovery During $I_b$	—	133	—	A/ $\mu\text{s}$	$T_J = 25^\circ\text{C}$
		—	85	—	A/ $\mu\text{s}$	$T_J = 125^\circ\text{C}$

Notes: ① Repetitive rating;  $V_{GE}=20\text{V}$ , pulse width limited by max. junction temperature.

②  $V_{CC}=80\%(V_{CES})$ ,  $V_{GE}=20\text{V}$ ,  $L=10\mu\text{H}$ ,  $R_G=10\Omega$

④ Pulse width 5.0 $\mu\text{s}$ , single shot.

③ Pulse width  $\leq 80\mu\text{s}$ ; duty factor  $\leq 0.1\%$ .

Refer to Section D - page D-13 for Package Outline 3 - JEDEC Outline TO-247AC

## ภาคผนวก ข คุณสมบัติและรายละเอียดของตัวแยกทางแสง

การเชื่อมโดยวงจรคิจิตอลเข้ากับอุปกรณ์ภายนอก ซึ่งทำงานโดยใช้แหล่งจ่ายไฟกระแสสลับ หรือแหล่งจ่ายไฟกระแสตรง จะพบว่าเป็นเรื่องยุ่งยาก แต่สามารถแก้ปัญหาได้โดยใช้อุปกรณ์เชื่อมโดยทางแสง ซึ่งถือว่าเป็นวิธีเหมาะสมที่สุดและมีความเชื่อถือได้สูง เมื่อจากแยกระบบไฟฟ้าออกจากกัน ซึ่งเหมาะสมกับวงจรทางค้านคิจิตอลขนาดเล็ก(ชั้นvak โฉติวารินทร์ 2542)

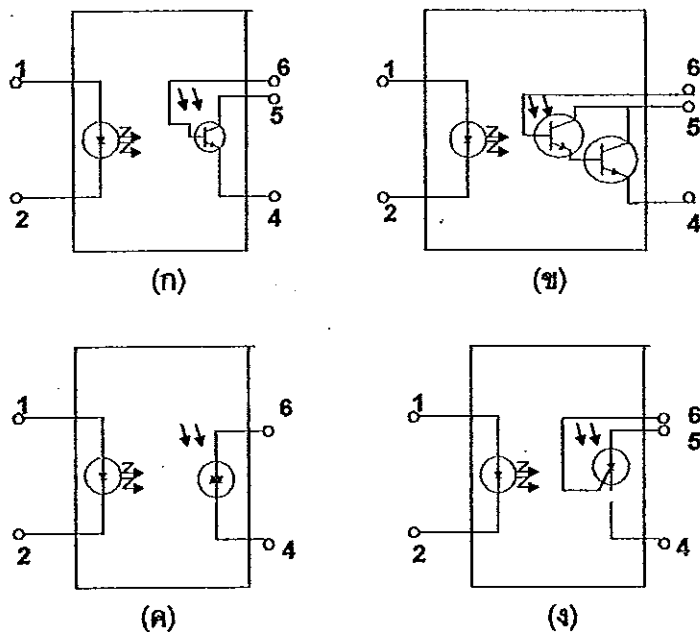
ตัวแยกทางแสง (opto-isolator) ใช้ในงานที่ต้องการแยกระบบไฟฟ้าของทั้งสองวงจรออกจากกัน เช่น ใช้อาต์พุตที่เป็นแรงคันค้านของวงจรทางคิจิตอลไปควบคุมการทำงานของมอเตอร์ไฟสลับ เมื่อจากวงจรทางค้านคิจิตอลไม่สามารถส่งอาต์พุตออกเป็นแรงคันไฟกระแสสลับได้ นอกจากนี้กระแสไฟสลับที่เห็นขึ้นในวงจรทางค้านคิจิตอลทำให้เกิดข้อยุ่งยากต่างๆ ได้ ดังนั้นมอเตอร์และวงจรทางค้านคิจิตอลจึงต้องแยกจากกันทางไฟฟ้า โดยใช้ตัวแยกทางแสง

ตัวแยกทางแสงอาจนำไปใช้ในงานเมื่ออาต์พุตมีแรงคันสูงของอุปกรณ์ตรวจวัด โดยอาต์พุตถูกป้อนเข้าวงจรที่ใช้ในโคร โปรเซสเซอร์ควบคุมการทำงานเริ่มต้นและสิ้นสุดแบบอัตโนมัติ เช่น ในสายการผลิตที่ใช้หุ่นยนต์

### ภาคผนวก ข1 พื้นฐานตัวแยกทางแสง

ตัวแยกทางแสงอาจเรียกว่าตัวเชื่อมโดยทางแสง (Opto-coupler) เป็นอุปกรณ์เดียวประกอบด้วยแหล่งกำเนิดแสงและตัวตรวจรับแสง ทั้งสองชิ้นส่วนนี้แยกจากกันโดยมีชันวนไปร่วงใส่กันกลางและขึ้นส่วนทั้งหมดถูกบรรจุในตัวถังทึบแสง

แหล่งกำเนิดแสงสำหรับเชื่อมโดยทางแสง ส่วนมากจะใช้ไอโอดีปัลลัสในฟาราเดค (Infrared Emitting Diode) ทำจากสารแกลเดียมอาร์เซนิด (Gallium Arsenide ; GaAs) ส่วนตัวตรวจรับหรืออุปกรณ์ภาคอาต์พุตนั้นอาจเป็นໄโอไดท์รอนซิสเตอร์, ໄโอไดคาร์บิลตัน, สวิตซ์สองทิศทางหรือไดแอคอะดีเจานะทำงานเมื่อมีแสงมากจะตื้น และ SCR ที่ถูกกระตุ้นด้วยแสงดังภาพประกอบ ข1 แสดงลักษณะตัวแยกทางแสงประเภทต่างๆ ที่ก่อร่องมา ถึงแม้ว่าจะมีหลายชนิดมากกว่านี้แต่สี่ประเภทนี้จะพบเห็นและใช้กันมาก



### ภาพประกอบ ข1 แสดงตัวแยกทางแสงที่ใช้กันมาก

- ก. เอตชุตเป็นไฟโคมไฟฟ้า
- ข. เอตชุตเป็นไฟโคมไฟฟ้ารั่วตัน
- ค. เอตชุตเป็นสวิตซ์สองทิศทางหรือไดอะก
- ง. เอตชุตเป็น SCR

สัญญาณจะถูกส่งระหว่างชิ้นส่วนทั้งสอง โดยอยู่ในรูปของสัญญาณแสงชิ้นส่วนทั้งสองนี้ ไม่สามารถลับหน้ากันได้และไม่มีการเชื่อมโดยทางไฟฟ้าระหว่างกัน สัญญาณที่ถูกส่งผ่านจึงมีเพียงทิศทางเดียวเท่านั้น

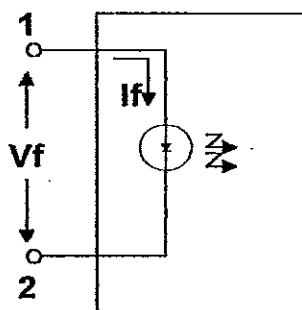
### ภาคผนวก ข2 คุณสมบัติต่างๆ ที่นำเสนอไป

การออกแบบโดยใช้ตัวแยกทางแสง ก่อนอื่นควรทำความเข้าใจกับตัวแปรต่างๆ ที่สำคัญ โดยเฉพาะใช้ในวงจรความถี่ต่ำ จะกล่าวเพียงเฉพาะตัวแปรทางค้านไฟฟ้ากระแสตรงของอุปกรณ์เหล่านี้เท่านั้น แบ่งเป็นตัวแปรค้านอินดัก ค้านเอตชุต และอัตราส่วนการส่งผ่านกระแส (CTR , Current Transfer Ratio)

อัตราส่วนการส่งผ่านกระแสหรือ CTR เป็นอัตราส่วนระหว่างกระแสอินพุตต่อกระแส เอตชุตของตัวแยกทางแสง หรือเรียกว่า การໄโนแอด ส่วนใหญ่จะแทนด้วยตัวอักษรกรีก คือ

อีด้า (T) ซึ่งคำนี้เขียนอยู่กับประดิษฐ์ภาพของ ไดโอดเปล่งแสงอินฟราเรด และซ่อนว่าระหว่างขั้นส่วนทางอินพุตกับเอาต์พุต โดยที่นี่ที่, ความไว และอัตราขยายของของตัวตรวจรับก็มีผลเช่นกัน

ตัวแปรอินพุตทางด้านไฟฟ้ากระแสตรง ซึ่งเป็นตัวกำหนดตัวแปรทางไฟฟ้าของไดโอดเปล่งแสงอินฟราเรด ได้แก่ กระแสของไดโอดเมื่อไดร์บินไออกซ์ตรอง ( $I_F$ ) , แรงดันตกคร่อมไดโอด เมื่อไดร์บินไออกซ์ตรอง ( $V_F$ ) และแรงดันสูงสุดที่ทันไดเมื่อไดร์บินไออกซ์ลัม (V\_R) ดังแสดงในภาพประกอบ ฯ2



ภาพประกอบ ฯ2 แสดงตัวแปรอินพุตของตัวแยกทางแสงซึ่งส่วนใหญ่เป็นไดโอดเปล่งแสงอินฟราเรดทำมาจากสารแกแลเลี่ยมอาเรียไซน์

ส่วนตัวแปรเอาต์พุตทางด้านไฟฟ้ากระแสตรงและตัวแปรสัมภัย (Transfer Parameter) จะแตกต่างกัน โดยขึ้นอยู่กับชนิดของขั้นส่วนตัวตรวจรับที่ใช้ในตัวแยกทางแสง

ตัวแยกทางแสงที่ใช้ไฟไดทรานซิสเทอร์หรือไฟโอลิคลิงค์น วิธลักษณะการทำงานเหมือนกัน รอยต่อระหว่างขาคอลเด็กเตอร์กับขาเบสสูกทำให้กรองขั้น แสงที่ตกกระทบรองรอยต่อทำให้เกิดคู่ของ อิเล็กตรอนและโพลาร์นิมา เกิดการนำกระแสไฟตัวแปรสำหรับตัวแยกทางแสงชนิดไฟโอลิคลิงค์น และไฟไดทรานซิสเทอร์ที่สำคัญนี้ดังนี้

- $I_C$  : เป็นกระแสสูงสุดที่ไฟล์ต่อเนื่องทางเอาต์พุตผ่านขาคอลเด็กเตอร์
- $V_{(BR)CEO}$  : เป็นแรงดันพังทลายสูงสุดจากขาคอลเด็กเตอร์ไปยังขาเบส
- $V_{(BR)CBO}$  : เป็นแรงดันพังทลายสูงสุด จากขาคอลเด็กเตอร์ไปยังขาอินิคเตอร์
- $V_{(BR)ECD}$  : เป็นแรงดันพังทลายสูงสุด จากขาอินิคเตอร์ไปยังขาคอลเด็กเตอร์

ตัวแยกทางแสงที่ภาคเอาต์พุต ใช้สวิตช์สองทิศทางซึ่งทำงานเมื่อมีแสงมากระดับ ถูกออกแบบมาสำหรับงานซึ่งต้องการแยกการทริกหรือกระตุ้นตัวแปรแยกเพื่อแยกการสวิตช์ทางด้านไฟกระแสลับที่มีขนาดกระแสต่ำ และการแยกกันทางไฟฟ้ากระแสสูง สำหรับอุปกรณ์เอาต์พุตชนิดนี้มีตัวแปรที่สำคัญดังนี้คือ

- $I_{T(RMS)}$  : เป็นค่ากระแสเฉลี่ยสูงสุด ขณะอยู่ในสถานะหยุดทำงาน

- $V_{TM}$  : เป็นแรงดันยอดสูงสุด ขณะอยู่ในสถานะทำงาน

ตัวแยกทางแสงที่ใช้อาต์พุตเป็น SCR ทำงานเมื่อถูกกระตุ้นด้วยแสงถูกออกแบบมาสำหรับใช้งานที่ต้องการการแยกกันทางไฟฟ้าที่ค่าสูง ระหว่างวงจรด้านแรงดันต่ำซึ่งใช้ไอซีกับวงจรไฟฟ้ากระแสสลับแรงดันสูง ตัวแปรที่สำคัญดังนี้คือ

- $I_{T(RMS)}$  : เป็นค่ากระแสเฉลี่ยสูงสุด ขณะอยู่ในสถานะทำงาน

- $V_{DRM}$  : เป็นค่าแรงดันขั้วๆ ระหว่างขั้วอาต์พุต ขณะอยู่ในสถานะหยุดทำงาน

- $V_{RM}$  : เป็นค่าแรงดันข้อมูลสูงสุด

ส่วนตัวแปรการส่งผ่านของตัวแยกทางแสง เป็นการวัดอัตราส่วนการส่งกระแสระหว่างชั้นส่วนอินพุตต่ออาต์พุต สำหรับตัวแยกทางแสงที่ใช้โนโตรานซิสเตอร์หรือโนโตรีเซอร์ มีค่าตัวแปรที่สำคัญคือ

- $CTR_{\eta}$  : อัตราส่วนเป็นเปอร์เซ็นต์ต่ำสุด ระหว่างกระแสอาต์พุตของกอลลีกเตอร์สูงสุดต่อกระแสไดโอดที่ค่า  $V_{CE}$  และ  $IF$  ที่กำหนดมา

- $V_{CE(sat)}$  : เป็นแรงดันอิ่มตัวระหว่างขา กอลลีกเตอร์และขา อินิจิเตอร์สำหรับตัวแยกทางแสงที่ใช้สวิตซ์สองทิศทางหรือแบบที่ใช้ SCR นั้น มีตัวแปรการส่งผ่านที่สำคัญดังนี้

- $I_{FT}$  : เป็นค่ากระแสกระตุ้นไดโอดเปล่งแสงอินฟราเรดสูงสุด ซึ่งต้องการใช้เพื่อกำหนดสถานะให้อาต์พุตถูกต้องไว้

- $I_H$  : เป็นค่ากระแสไฮด์ริดต์ทางอาต์พุต เพื่อที่จะยังคงสถานะถูกต้องไว้

ตัวแยกทางแสงที่ใช้งานวิธีนี้ คือ เบอร์ 4N26 ของ Motorola ซึ่งมีคุณสมบัติดังนี้

ตาราง ข1. คุณสมบัติของตัวแยกรหัส แบบ 4N26

		ค่าต่ำสุด	ค่าปกติ	ค่าสูงสุด	หน่วย
อินพุต	$I_F$			60	mA
	$V_F (I_F=10 \text{ mA})$		1.15	1.5	V
	$V_R$			3	V
เอาต์พุต	$I_C$				mA
	$V_{(BR)CBO}$	70	100	150	V
	$V_{(BR)CEO}$	30	45		V
ตัวแปร เชื่อมโยง	$V_{(BR)ECO}$	7	7.8		V
	CTR ( $I_F=10 \text{ mA}, V_{CE}=10 \text{ V}$ )	20		0.15	%
	$V_{CE(sat)} (I_F=50 \text{ mA}, I_C=2 \text{ mA})$				

### ภาคผนวก ค คุณสมบัติและรายละเอียดของкар์ด Lab-PC-1200

วงจรแปลงสัญญาณอนาคตเป็นดิจิตอลและวงจรแปลงสัญญาณดิจิตอลเป็นอนาคต  
สำหรับการควบคุมความเร็วของเตอร์กรร戴上ต์และ การควบคุมแรงดันเงินเนอเรเตอร์ รวมอยู่  
บนการ์ด Lab-PC-1200 ของบริษัท National Instrument ซึ่งสามารถเสียบบนสล็อตของไมโคร  
คอมพิวเตอร์ ขั้วต่อของการ์ด Lab-PC-1200 แสดงอยู่ในภาพประกอบ ค1

ACH0	1	2	ACH1
ACH2	3	4	ACH3
ACH4	5	6	ACH5
ACH6	7	8	ACH7
AISENSE/AIGND	9	10	DAC0OUT
ANALOG GROUND	11	12	DAC1OUT
DIGITALGROUND	13	14	PA0
PA1	15	16	PA2
PA3	17	18	PA4
PA5	19	20	PA6
PA7	21	22	PB0
PB1	23	24	PB2
PB3	25	26	PB4
PB5	27	28	PB6
PB7	29	30	PC0
PC1	31	32	PC2
PC3	33	34	PC4
PC5	35	36	PC6
PC7	37	38	EXTTRIG
EXTUPDATE*	39	40	EXTCONV*
OUTB0	41	42	GATB0
OUTB1	43	44	GATB1
CLKB1	45	46	OUTB2
GATB2	47	48	CLKB2
+5V	49	50	DIGITAL GROUND

### ภาพประกอบ ค1 แสดงตำแหน่งของขั้วต่อบนการ์ด Lab-PC-1200

ในงานวิจัยนี้ใช้สล็อตต่อบนการ์ด Lab-PC-1200 ทั้งหมด 5 สล็อต ดังนี้

- สล็อตหมายเลข 1 และ 9 ใช้ในการรับสัญญาณอนาคตอินพุต เพื่อหาค่าแรงดันและ

ความถี่

- สตีอฟหมายเลข 10 , 11 และ 12 ใช้ในการส่งสัญญาณอนาลอกออกไปปัจจุบันแยกทางเสียงเพื่อใช้ในการควบคุมความเร็วของเครื่องและแรงดันเงินแนวเครื่องกระแสลับ

Lab-PC-1200 จะมีคุณลักษณะทางเทคโนโลยีดังนี้ ( National Instruments Corporation , 1996 )

### 1. การรับสัญญาณอนาลอกอินพุต

#### 1.1 Input Characteristics

จำนวนของช่องสัญญาณ	Eight single-ended, eight pseudodifferential or four differential, software selectable
ชนิดของ A/D Converter	Successive approximation
Resolution	12 bits, 1 in 4,096
อัตรา Sampling สูงสุด	100 kS/s single channel
ช่วงของสัญญาณอินพุต	

Board Gain (Software- Selectable)	Board Range (Software-Selectable)	
	$\pm 5$ V	0 to 10 V
1	$\pm 5$ V	0 to 10 V
2	$\pm 2.5$ V	0 to 5 V
5	$\pm 1$ V	0 to 2 V
10	$\pm 500$ mV	0 to 1 V
20	$\pm 250$ mV	0 to 500 mV
50	$\pm 100$ mV	0 to 200 mV
100	$\pm 50$ mV	0 to 100 mV

Input coupling	DC
Voltage สูงสุดที่ใช้งาน	
(signal + common mode)	ถ้าเป็น Negative Input ให้ $\pm 5$ V (Bipolar input range) หรือ -5 ถึง +2 V (Unipolar input range)

ของ AGND ถ้าเป็น Positive Input ใช้ -5 ถึง +10 V

ของ AGND

Overvoltage protection	$\pm 35$ V powered on, $\pm 25$ V powered off
Inputs protected	Analog channel 0 through 7 signals
การถ่ายข้อมูล	DMA, interrupts, programmed I/O

#### 1.2 Transfer Characteristics

DNL	$\pm 1$ LSB max
No missing codes	12 bits, guaranteed
Offset error	
Pregain error after calibration	10 $\mu$ V max
Pregain error before calibration	$\pm 20$ mV max
Postgain error after calibration	1 mV max
Postgain error before calibration	$\pm 200$ mV max
Gain error (relative to calibration reference)	
After calibration	0.02% of reading max
Before calibration	$\pm 2\%$ of reading max

#### 1.3 Amplifier Characteristics

Input impedance	
Normal powered on	100 G $\Omega$ in parallel with 50 pF
Powered off	4.7 k $\Omega$ min
Overload	4.7 k $\Omega$ min
Input bias current	$\pm 100$ pA
Input offset current	$\pm 100$ pA

#### 1.4 Dynamic Characteristics

Bandwidth

## Small signal (-3 dB)

Gain	Bandwidth
1-10	250 kHz
20	150 kHz
50	60 kHz
100	30 kHz

## Settling time for full-scale step

Gain	Settling Time (Accuracy $\pm 0.024\%$ ( $\pm 1$ LSB))
1	10 $\mu$ s typ, 14 $\mu$ s max
2-10	13 $\mu$ s typ, 16 $\mu$ s max
20	15 $\mu$ s typ, 19 $\mu$ s max
50	27 $\mu$ s typ, 34 $\mu$ s max
100	60 $\mu$ s typ, 80 $\mu$ s max

## 1.5 Stability

Recommended warm-up time	15 min
Offset temperature coefficient	
Pregain	$\pm 15 \mu V/^{\circ}C$
Postgain	$\pm 100 \mu V/^{\circ}C$

## 1.6 Bus Interface

Type	Slave
------	-------

## 1.7 Power Requirement

Power consumption	
Lab-PC-1200AI	150 mA at $\pm 5$ VDC ( $\pm 5\%$ )
Power available at I/O connector	+4.65 to +5.25 V fused at 1 A

### 1.8 Physical

Dimensions	17.45 by 10.56 cm (6.87 by 4.16 in.)
I/O connector	50-pin male

### 1.9 Environment

Operating temperature	0° to 50° C
Storage temperature	-55° to 150° C
Relative humidity	5% to 90% noncondensing

## 2. การส่งสัญญาโนนาลอกเข้าชุด

### 2.1 Output characteristics

Number of channels	Two voltage
Resolution	12 bits, 1 in 4,096
Typical update rate	1 kS/s, system dependent
Type of D/A Converter	Double buffered
Data transfers	Interrupts, programmed I/O

### 2.2 Transfer characteristics

Relative accuracy (INL)	±0.25 LSB typ, ±0.50 LSB max
DNL	±0.25 LSB typ, ±0.75 LSB max
Monotonicity	12 bits, guaranteed
Offset error	
After calibration	±0.2 mV max
Before calibration	±50 mV max
Gain error (relative to internal reference)	
After calibration	0.004% of reading max
Before calibration	±1% of reading max

### 2.3 Voltage output

Ranges	0 to 10 V, $\pm 5$ V, software selectable
Output coupling	DC
Output impedance	0.2 $\Omega$ typ
Current drive	$\pm 2$ mA
Protection	Short circuit to ground
Power-on state	0 V

### 2.4. Dynamic characteristics

Settling time to full-scale range (FSR)	5 $\mu$ s
--	-----------

### 2.5. Stability

Offset temperature coefficient	$\pm 50$ $\mu$ V/ $^{\circ}$ C
Gain temperature coefficient	$\pm 30$ ppm/ $^{\circ}$ C

## ประวัติผู้เขียน

ชื่อ นายวชรพงศ์ ราชวงศ์

วัน เดือน ปีเกิด 13 มีนาคม 2518

### วุฒิการศึกษา

วุฒิ	ชื่อสถาบัน	ปีที่สำเร็จการศึกษา
วิศวกรรมศาสตรบัณฑิต (ไฟฟ้า) (เกียรตินิยม)	สถาบันเทคโนโลยีพระจอมเกล้า เจ้าคุณทหารลาดกระบัง	2540

### ทุนการศึกษา (ที่ได้รับในระหว่างการศึกษา)

ทุนการศึกษาสำหรับนักศึกษานักศึกษาปัจจุบันที่ต้องการเรียนต่อในมหาวิทยาลัย  
สงขลานครินทร์